

Calcolo degli sforzi in * con forze baricentriche essendo * il punto E di DE

Rappresentare sul foglio, in scala: G, assi u,v, ellisse d'inertia, C.T.

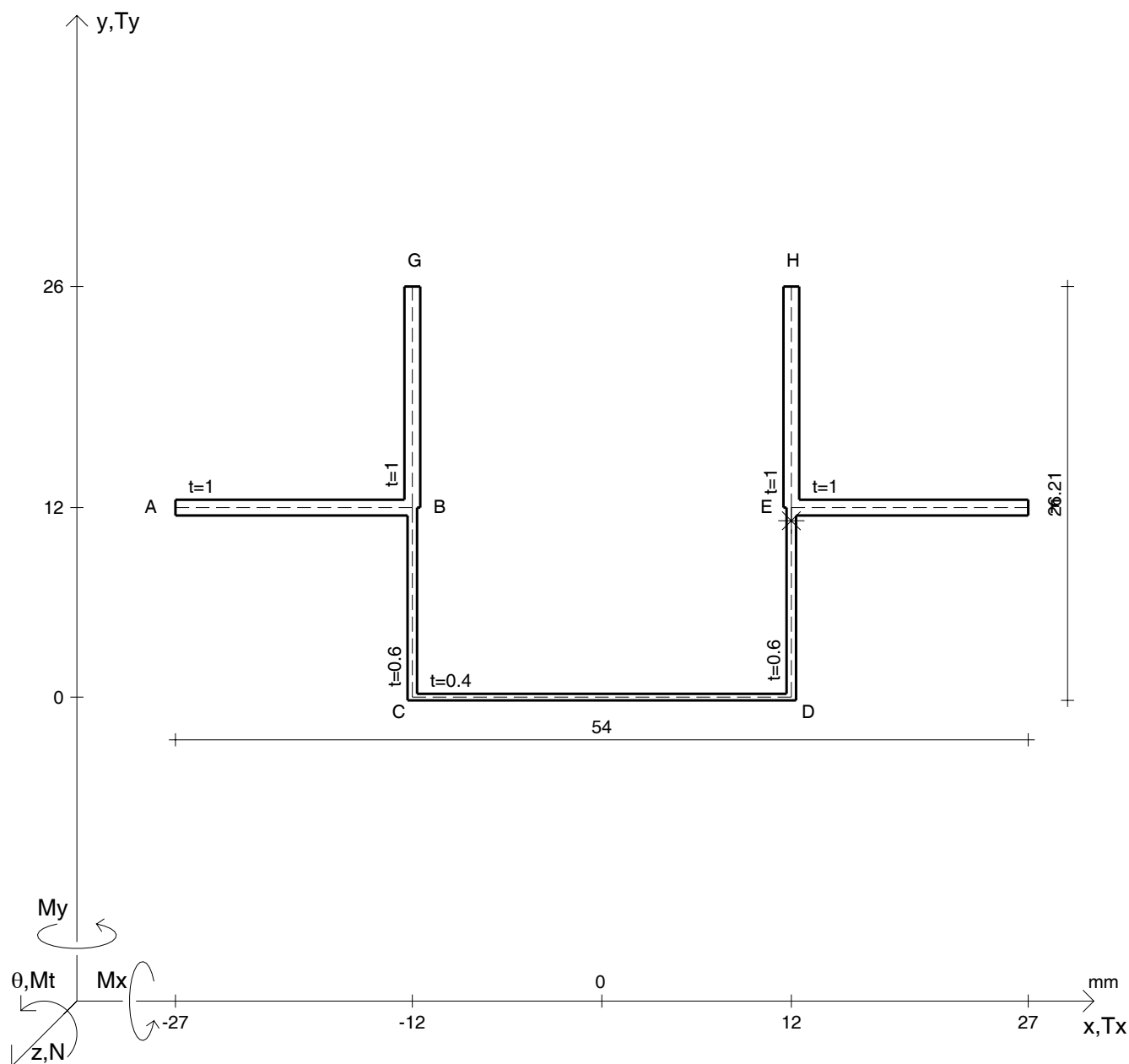
Rappresentare il cerchio di Mohr

Operare le conclusioni sulla verifica di resistenza in *

Facoltativo: rappresentare l'asse neutro e l'andamento delle tens. normali.

Facoltativo: rappresentare l'andamento delle tens. tangenziali.

N	$= 6730 \text{ N}$	M_x	$= 25700 \text{ Nmm}$	G	$= 75000 \text{ N/mm}^2$
T_y	$= 1490 \text{ N}$	σ_a	$= 240 \text{ N/mm}^2$	σ_{ld}	$=$
M_t	$= 1440 \text{ Nmm}$	E	$= 200000 \text{ N/mm}^2$	σ_{lld}	$=$
y_G	$=$	$\tau(M_t)_d$	$=$	σ_{tresca}	$=$
u_o	$=$	$\tau(T_{yc})$	$=$	σ_{mises}	$=$
v_o	$=$	$\tau(T_{yb})_d$	$=$	$\sigma_{st.ven}$	$=$
A	$=$	$\tau(T_y)_s$	$=$	θ_t	$=$
C_w	$=$	$\tau(T_y)_d$	$=$	r_u	$=$
J_u	$=$	σ	$=$	r_v	$=$
J_v	$=$	τ_s	$=$	r_o	$=$
J_t	$=$	τ_d	$=$	J_p	$=$
$\sigma(N)$	$=$	σ_{ls}	$=$		
$\sigma(M_x)$	$=$	σ_{lls}	$=$		



Calcolo degli sforzi in * con forze baricentriche essendo * il punto E di DE

Rappresentare sul foglio, in scala: G, assi u,v, ellisse d'inertia, C.T.

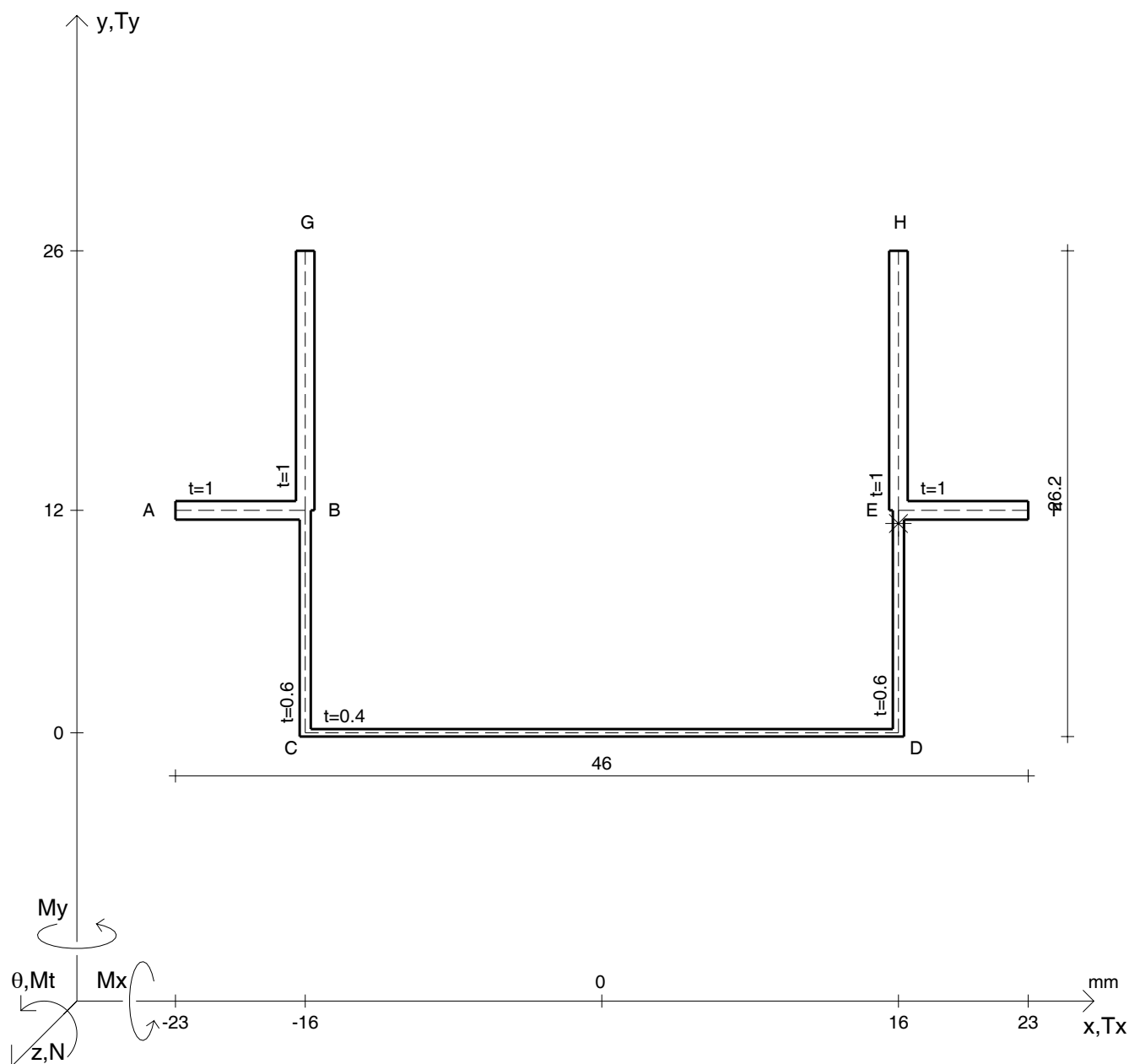
Rappresentare il cerchio di Mohr

Operare le conclusioni sulla verifica di resistenza in *

Facoltativo: rappresentare l'asse neutro e l'andamento delle tens. normali.

Facoltativo: rappresentare l'andamento delle tens. tangenziali.

N	= 5840 N	M_x	= 20800 Nmm	G	= 75000 N/mm ²
T_y	= 1840 N	σ_a	= 240 N/mm ²		
M_t	= -1860 Nmm	E	= 200000 N/mm ²		
y_G	=	$\tau(M_t)_d$	=	σ_{ld}	=
u_o	=	$\tau(T_{yc})$	=	σ_{lld}	=
v_o	=	$\tau(T_{yb})_d$	=	σ_{tresca}	=
A	=	$\tau(T_y)_s$	=	σ_{mises}	=
C_w	=	$\tau(T_y)_d$	=	$\sigma_{st.ven}$	=
J_u	=	σ	=	θ_t	=
J_v	=	τ_s	=	r_u	=
J_t	=	τ_d	=	r_v	=
$\sigma(N)$	=	σ_{ls}	=	r_o	=
$\sigma(M_x)$	=	σ_{lls}	=	J_p	=



Calcolo degli sforzi in * con forze baricentriche essendo * il punto E di DE

Rappresentare sul foglio, in scala: G, assi u,v, ellisse d'inertia, C.T.

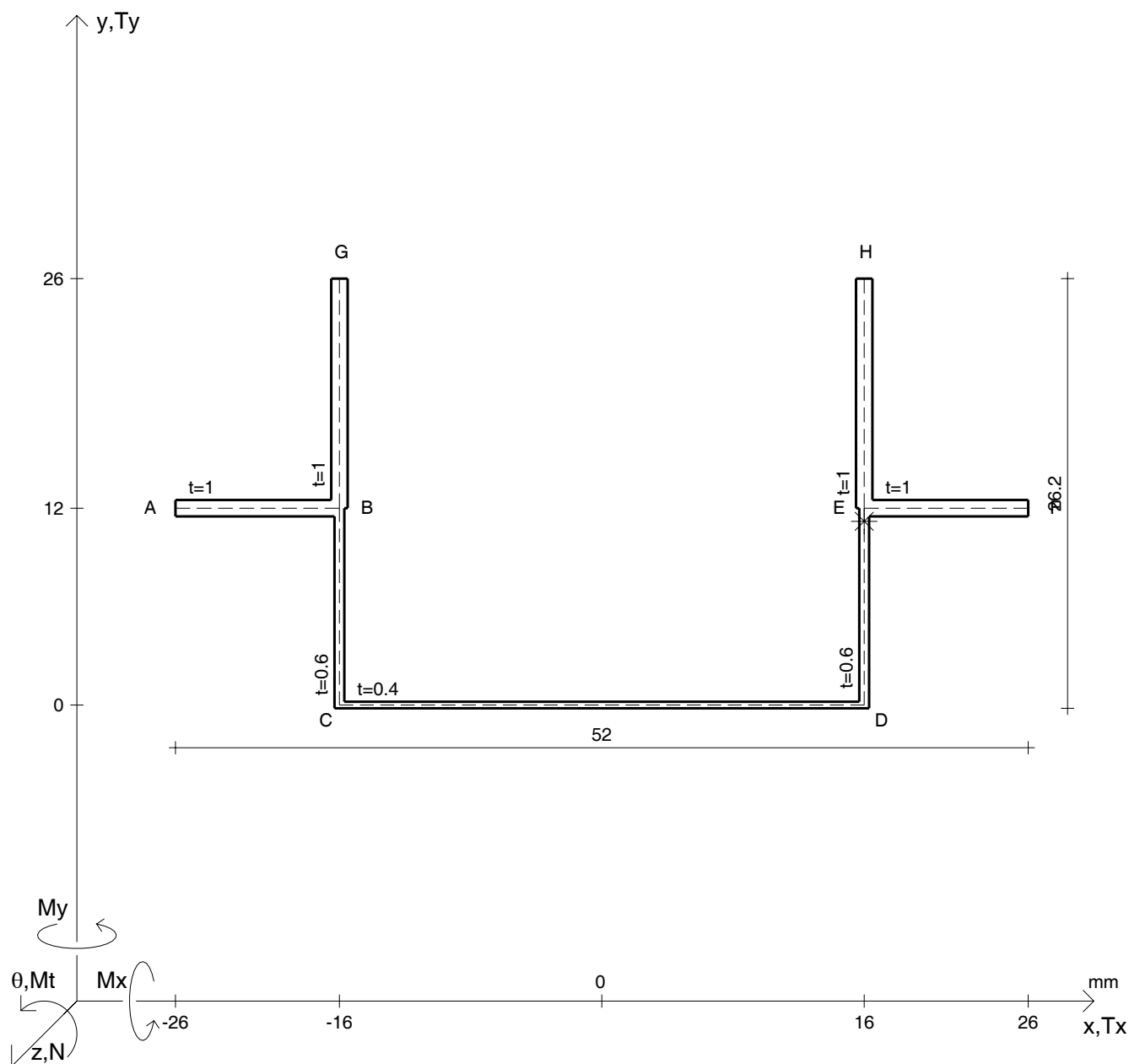
Rappresentare il cerchio di Mohr

Operare le conclusioni sulla verifica di resistenza in *

Facoltativo: rappresentare l'asse neutro e l'andamento delle tens. normali.

Facoltativo: rappresentare l'andamento delle tens. tangenziali.

N	$= 5380 \text{ N}$	M_x	$= 26800 \text{ Nmm}$	G	$= 75000 \text{ N/mm}^2$
T_y	$= 1990 \text{ N}$	σ_a	$= 240 \text{ N/mm}^2$	σ_{ld}	$=$
M_t	$= 1030 \text{ Nmm}$	E	$= 200000 \text{ N/mm}^2$	σ_{lld}	$=$
y_G	$=$	$\tau(M_t)_d$	$=$	σ_{tresca}	$=$
u_o	$=$	$\tau(T_{yc})$	$=$	σ_{mises}	$=$
v_o	$=$	$\tau(T_{yb})_d$	$=$	$\sigma_{st.ven}$	$=$
A	$=$	$\tau(T_y)_s$	$=$	θ_t	$=$
C_w	$=$	$\tau(T_y)_d$	$=$	r_u	$=$
J_u	$=$	σ	$=$	r_v	$=$
J_v	$=$	τ_s	$=$	r_o	$=$
J_t	$=$	τ_d	$=$	J_p	$=$
$\sigma(N)$	$=$	σ_{ls}	$=$		
$\sigma(M_x)$	$=$	σ_{lls}	$=$		



Calcolo degli sforzi in * con forze baricentriche essendo * il punto E di DE

Rappresentare sul foglio, in scala: G, assi u,v, ellisse d'inertia, C.T.

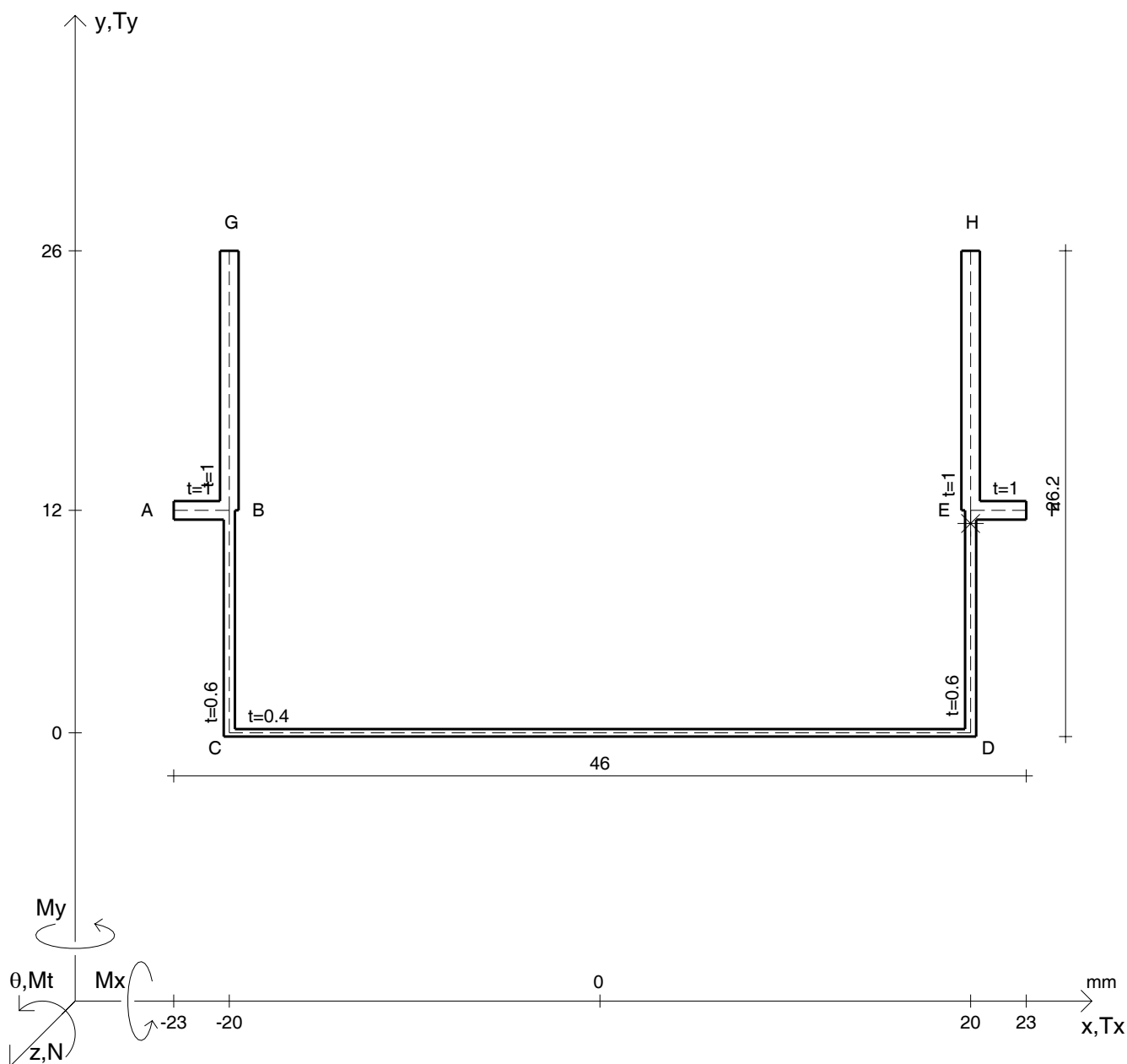
Rappresentare il cerchio di Mohr

Operare le conclusioni sulla verifica di resistenza in *

Facoltativo: rappresentare l'asse neutro e l'andamento delle tens. normali.

Facoltativo: rappresentare l'andamento delle tens. tangenziali.

N	$= 5300 \text{ N}$	M_x	$= 23900 \text{ Nmm}$	G	$= 75000 \text{ N/mm}^2$
T_y	$= 1810 \text{ N}$	σ_a	$= 240 \text{ N/mm}^2$	σ_{ld}	$=$
M_t	$= -1570 \text{ Nmm}$	E	$= 200000 \text{ N/mm}^2$	σ_{lld}	$=$
y_G	$=$	$\tau(M_t)_d$	$=$	σ_{tresca}	$=$
u_o	$=$	$\tau(T_{yc})$	$=$	σ_{mises}	$=$
v_o	$=$	$\tau(T_{yb})_d$	$=$	$\sigma_{st.ven}$	$=$
A	$=$	$\tau(T_y)_s$	$=$	θ_t	$=$
C_w	$=$	$\tau(T_y)_d$	$=$	r_u	$=$
J_u	$=$	σ	$=$	r_v	$=$
J_v	$=$	τ_s	$=$	r_o	$=$
J_t	$=$	τ_d	$=$	J_p	$=$
$\sigma(N)$	$=$	σ_{ls}	$=$		
$\sigma(M_x)$	$=$	σ_{lls}	$=$		



Calcolo degli sforzi in * con forze baricentriche essendo * il punto E di DE

Rappresentare sul foglio, in scala: G, assi u,v, ellisse d'inertia, C.T.

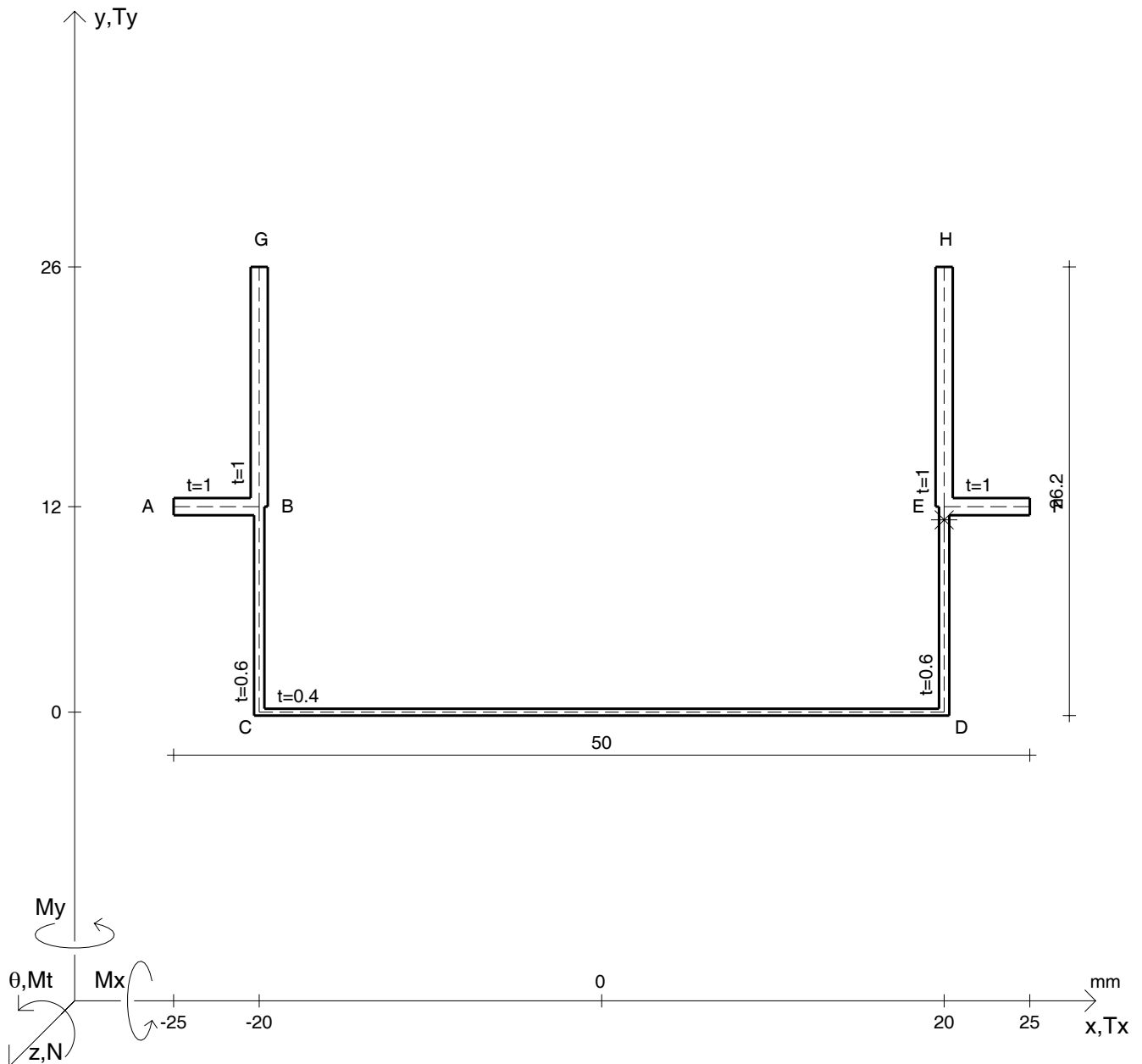
Rappresentare il cerchio di Mohr

Operare le conclusioni sulla verifica di resistenza in *

Facoltativo: rappresentare l'asse neutro e l'andamento delle tens. normali.

Facoltativo: rappresentare l'andamento delle tens. tangenziali.

N	$= 5570 \text{ N}$	M_x	$= 34700 \text{ Nmm}$	G	$= 75000 \text{ N/mm}^2$
T_y	$= 1400 \text{ N}$	σ_a	$= 240 \text{ N/mm}^2$	σ_{ld}	$=$
M_t	$= -994 \text{ Nmm}$	E	$= 200000 \text{ N/mm}^2$	σ_{lld}	$=$
y_G	$=$	$\tau(M_t)_d$	$=$	σ_{tresca}	$=$
u_o	$=$	$\tau(T_{yc})$	$=$	σ_{mises}	$=$
v_o	$=$	$\tau(T_{yb})_d$	$=$	$\sigma_{st.ven}$	$=$
A	$=$	$\tau(T_y)_s$	$=$	θ_t	$=$
C_w	$=$	$\tau(T_y)_d$	$=$	r_u	$=$
J_u	$=$	σ	$=$	r_v	$=$
J_v	$=$	τ_s	$=$	r_o	$=$
J_t	$=$	τ_d	$=$	J_p	$=$
$\sigma(N)$	$=$	σ_{ls}	$=$		
$\sigma(M_x)$	$=$	σ_{lls}	$=$		



Calcolo degli sforzi in * con forze baricentriche essendo * il punto E di DE

Rappresentare sul foglio, in scala: G, assi u,v, ellisse d'inertia, C.T.

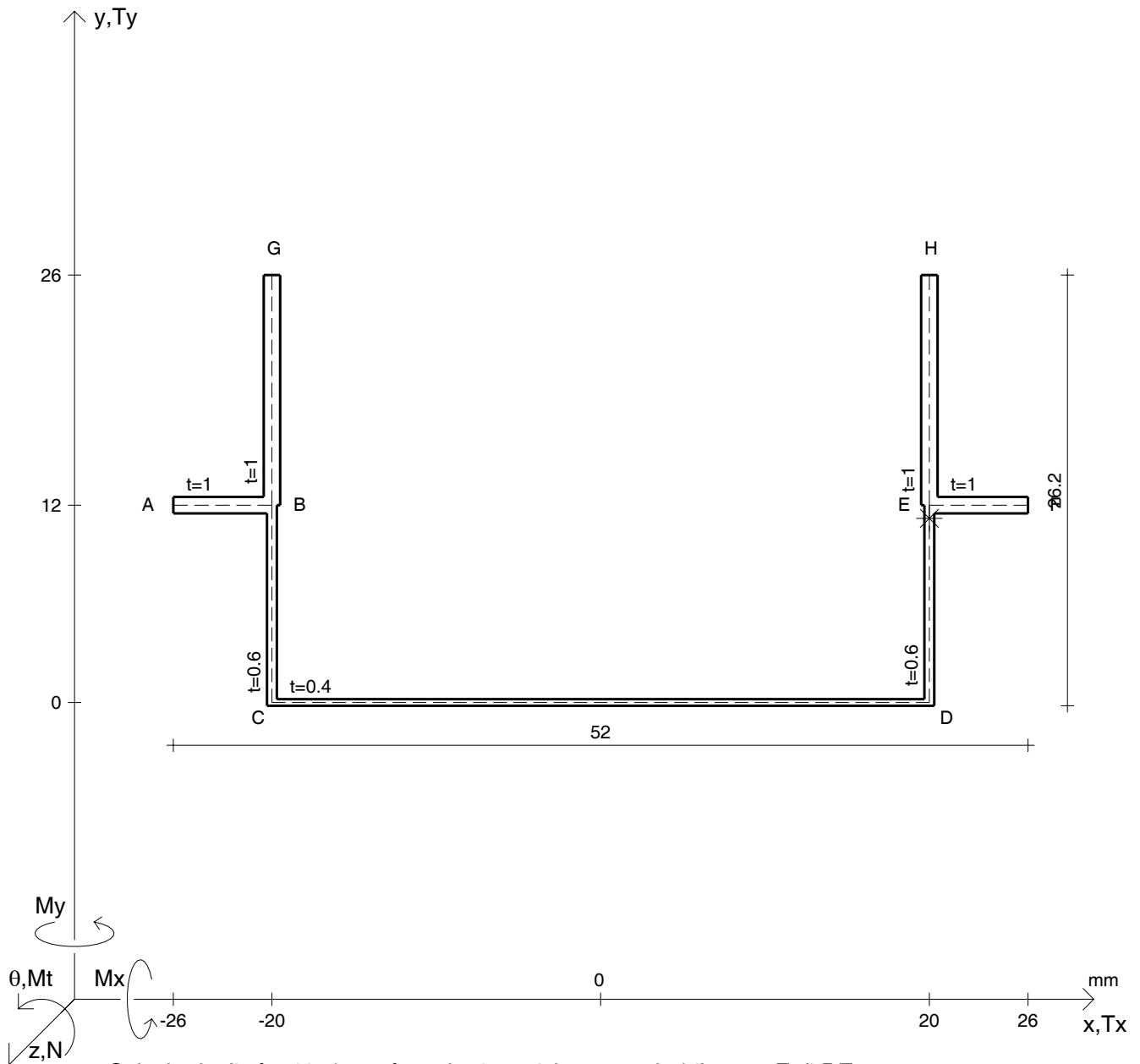
Rappresentare il cerchio di Mohr

Operare le conclusioni sulla verifica di resistenza in *

Facoltativo: rappresentare l'asse neutro e l'andamento delle tens. normali.

Facoltativo: rappresentare l'andamento delle tens. tangenziali.

N	$= 4890 \text{ N}$	M_x	$= 28000 \text{ Nmm}$	G	$= 75000 \text{ N/mm}^2$
T_y	$= 1730 \text{ N}$	σ_a	$= 240 \text{ N/mm}^2$	σ_{ld}	$=$
M_t	$= 1320 \text{ Nmm}$	E	$= 200000 \text{ N/mm}^2$	σ_{lld}	$=$
y_G	$=$	$\tau(M_t)_d$	$=$	σ_{tresca}	$=$
u_o	$=$	$\tau(T_{yc})$	$=$	σ_{mises}	$=$
v_o	$=$	$\tau(T_{yb})_d$	$=$	$\sigma_{st.ven}$	$=$
A	$=$	$\tau(T_y)_s$	$=$	θ_t	$=$
C_w	$=$	$\tau(T_y)_d$	$=$	r_u	$=$
J_u	$=$	σ	$=$	r_v	$=$
J_v	$=$	τ_s	$=$	r_o	$=$
J_t	$=$	τ_d	$=$	J_p	$=$
$\sigma(N)$	$=$	σ_{ls}	$=$		
$\sigma(M_x)$	$=$	σ_{lls}	$=$		



Calcolo degli sforzi in * con forze baricentriche essendo * il punto E di DE

Rappresentare sul foglio, in scala: G, assi u,v, ellisse d'inerzia, C.T.

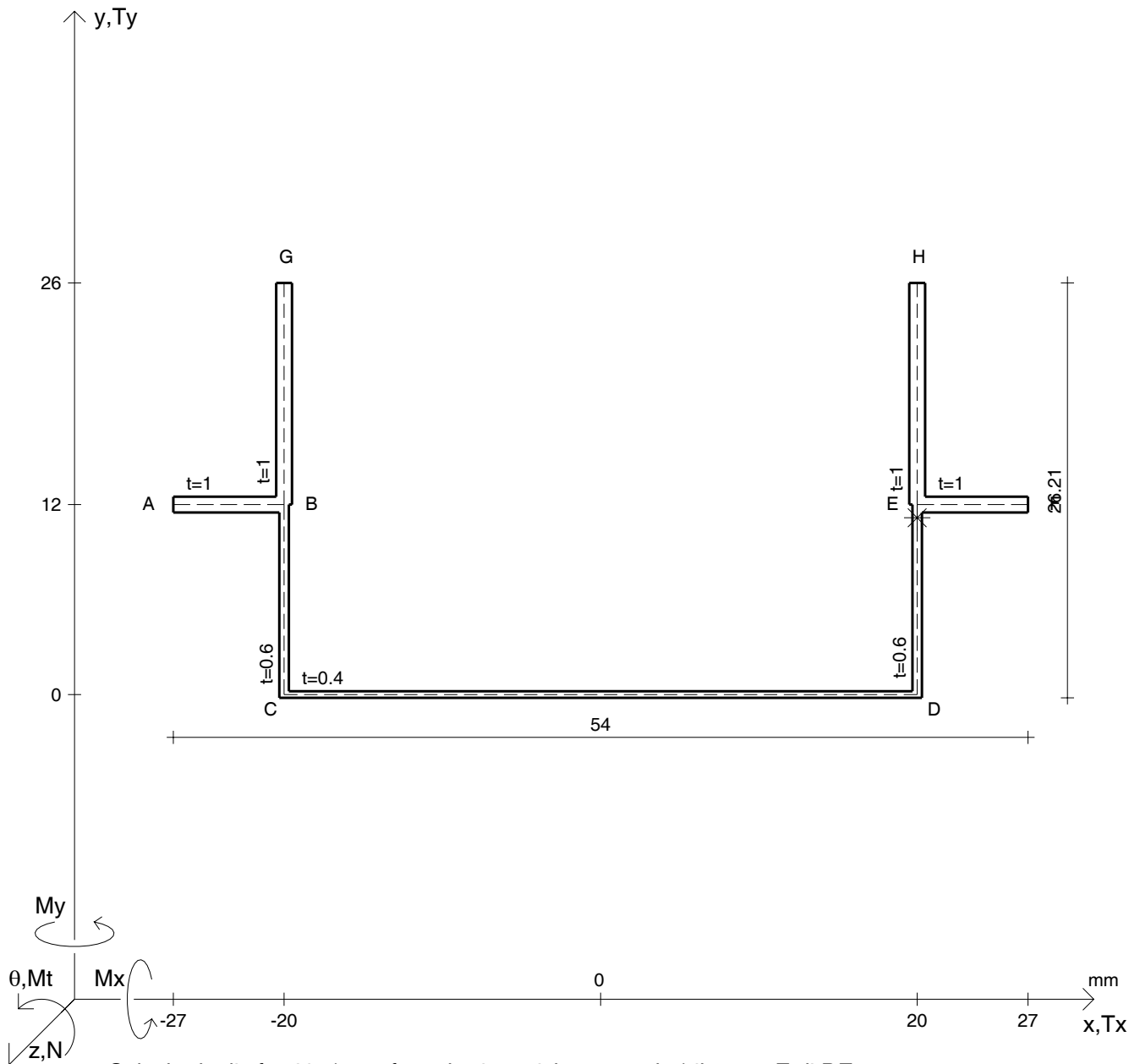
Rappresentare il cerchio di Mohr

Operare le conclusioni sulla verifica di resistenza in *

Facoltativo: rappresentare l'asse neutro e l'andamento delle tens. normali.

Facoltativo: rappresentare l'andamento delle tens. tangenziali.

N	$= 5570 \text{ N}$	M_x	$= 31200 \text{ Nmm}$	G	$= 75000 \text{ N/mm}^2$
T_y	$= 1890 \text{ N}$	σ_a	$= 240 \text{ N/mm}^2$	σ_{ld}	$=$
M_t	$= 1010 \text{ Nmm}$	E	$= 200000 \text{ N/mm}^2$	σ_{lld}	$=$
y_G	$=$	$\tau(M_t)_d$	$=$	σ_{tresca}	$=$
u_o	$=$	$\tau(T_{yc})$	$=$	σ_{mises}	$=$
v_o	$=$	$\tau(T_{yb})_d$	$=$	$\sigma_{st.ven}$	$=$
A	$=$	$\tau(T_y)_s$	$=$	θ_t	$=$
C_w	$=$	$\tau(T_y)_d$	$=$	r_u	$=$
J_u	$=$	σ	$=$	r_v	$=$
J_v	$=$	τ_s	$=$	r_o	$=$
J_t	$=$	τ_d	$=$	J_p	$=$
$\sigma(N)$	$=$	σ_{ls}	$=$		
$\sigma(M_x)$	$=$	σ_{lls}	$=$		



Calcolo degli sforzi in * con forze baricentriche essendo * il punto E di DE

Rappresentare sul foglio, in scala: G, assi u,v, ellisse d'inertia, C.T.

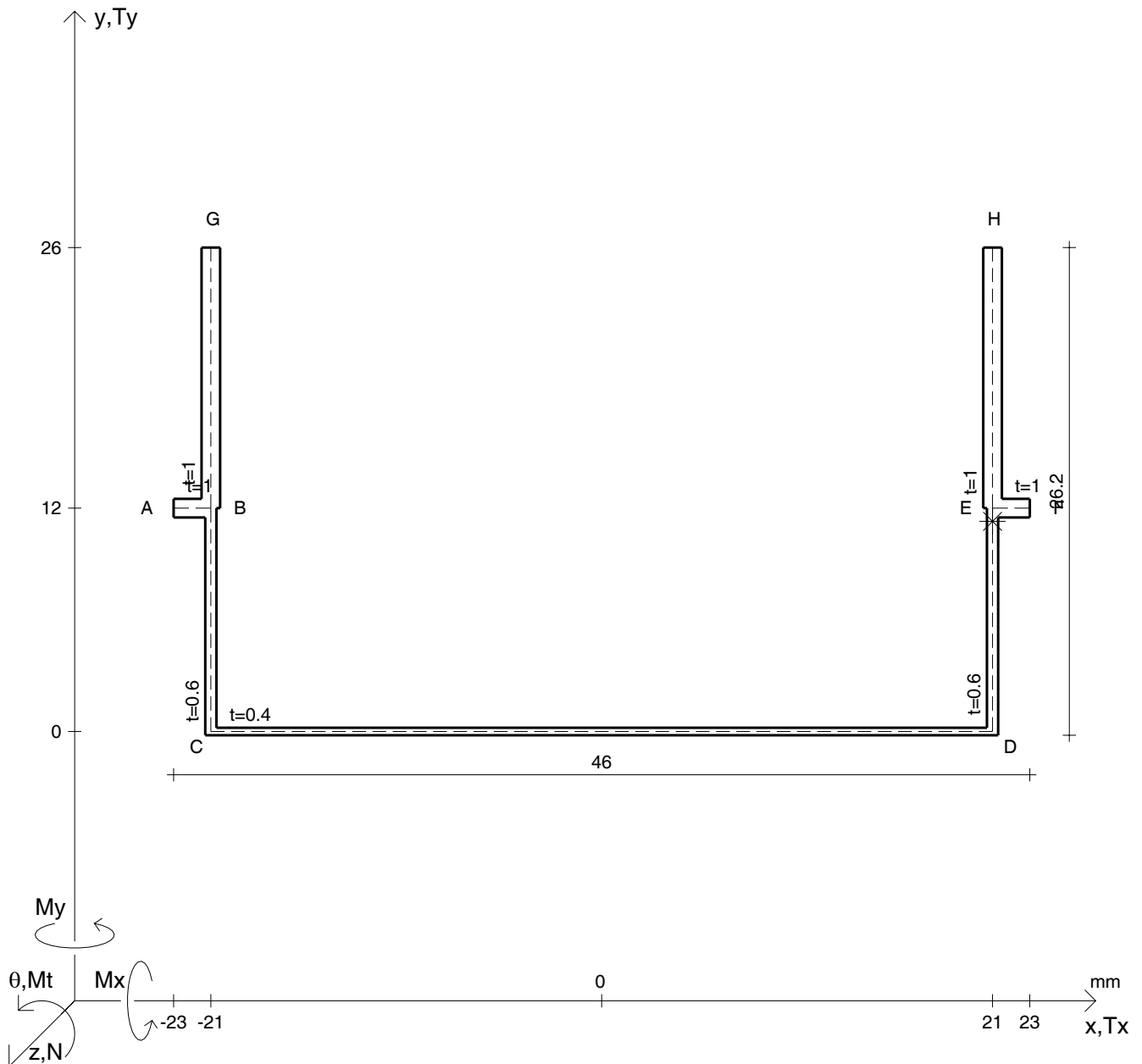
Rappresentare il cerchio di Mohr

Operare le conclusioni sulla verifica di resistenza in *

Facoltativo: rappresentare l'asse neutro e l'andamento delle tens. normali.

Facoltativo: rappresentare l'andamento delle tens. tangenziali.

N	$= 6270 \text{ N}$	M_x	$= 34400 \text{ Nmm}$	G	$= 75000 \text{ N/mm}^2$
T_y	$= 1390 \text{ N}$	σ_a	$= 240 \text{ N/mm}^2$	σ_{ld}	$=$
M_t	$= -1180 \text{ Nmm}$	E	$= 200000 \text{ N/mm}^2$	σ_{lld}	$=$
y_G	$=$	$\tau(M_t)_d$	$=$	σ_{tresca}	$=$
u_o	$=$	$\tau(T_{yc})$	$=$	σ_{mises}	$=$
v_o	$=$	$\tau(T_{yb})_d$	$=$	$\sigma_{st.ven}$	$=$
A	$=$	$\tau(T_y)_s$	$=$	θ_t	$=$
C_w	$=$	$\tau(T_y)_d$	$=$	r_u	$=$
J_u	$=$	σ	$=$	r_v	$=$
J_v	$=$	τ_s	$=$	r_o	$=$
J_t	$=$	τ_d	$=$	J_p	$=$
$\sigma(N)$	$=$	σ_{ls}	$=$		
$\sigma(M_x)$	$=$	σ_{lls}	$=$		



Calcolo degli sforzi in * con forze baricentriche essendo * il punto E di DE

Rappresentare sul foglio, in scala: G, assi u,v, ellisse d'inertia, C.T.

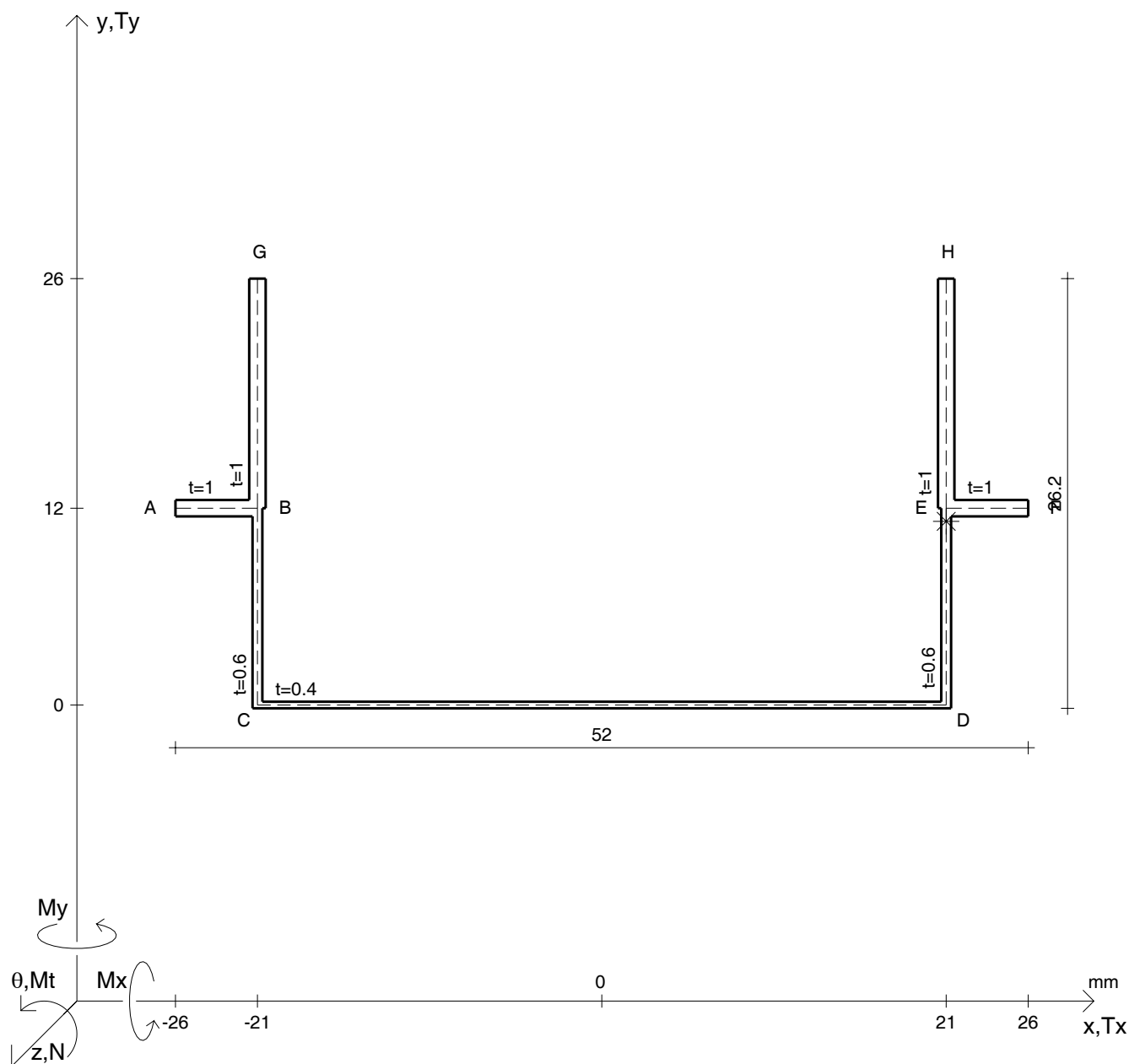
Rappresentare il cerchio di Mohr

Operare le conclusioni sulla verifica di resistenza in *

Facoltativo: rappresentare l'asse neutro e l'andamento delle tens. normali.

Facoltativo: rappresentare l'andamento delle tens. tangenziali.

N	$= 4050 \text{ N}$	M_x	$= 39500 \text{ Nmm}$	G	$= 75000 \text{ N/mm}^2$
T_y	$= 1550 \text{ N}$	σ_a	$= 240 \text{ N/mm}^2$	σ_{ld}	$=$
M_t	$= 1050 \text{ Nmm}$	E	$= 200000 \text{ N/mm}^2$	σ_{lld}	$=$
y_G	$=$	$\tau(M_t)_d$	$=$	σ_{tresca}	$=$
u_o	$=$	$\tau(T_{yc})$	$=$	σ_{mises}	$=$
v_o	$=$	$\tau(T_{yb})_d$	$=$	$\sigma_{st.ven}$	$=$
A	$=$	$\tau(T_y)_s$	$=$	θ_t	$=$
C_w	$=$	$\tau(T_y)_d$	$=$	r_u	$=$
J_u	$=$	σ	$=$	r_v	$=$
J_v	$=$	τ_s	$=$	r_o	$=$
J_t	$=$	τ_d	$=$	J_p	$=$
$\sigma(N)$	$=$	σ_{ls}	$=$		
$\sigma(M_x)$	$=$	σ_{lls}	$=$		



Calcolo degli sforzi in * con forze baricentriche essendo * il punto E di DE

Rappresentare sul foglio, in scala: G, assi u,v, ellisse d'inertia, C.T.

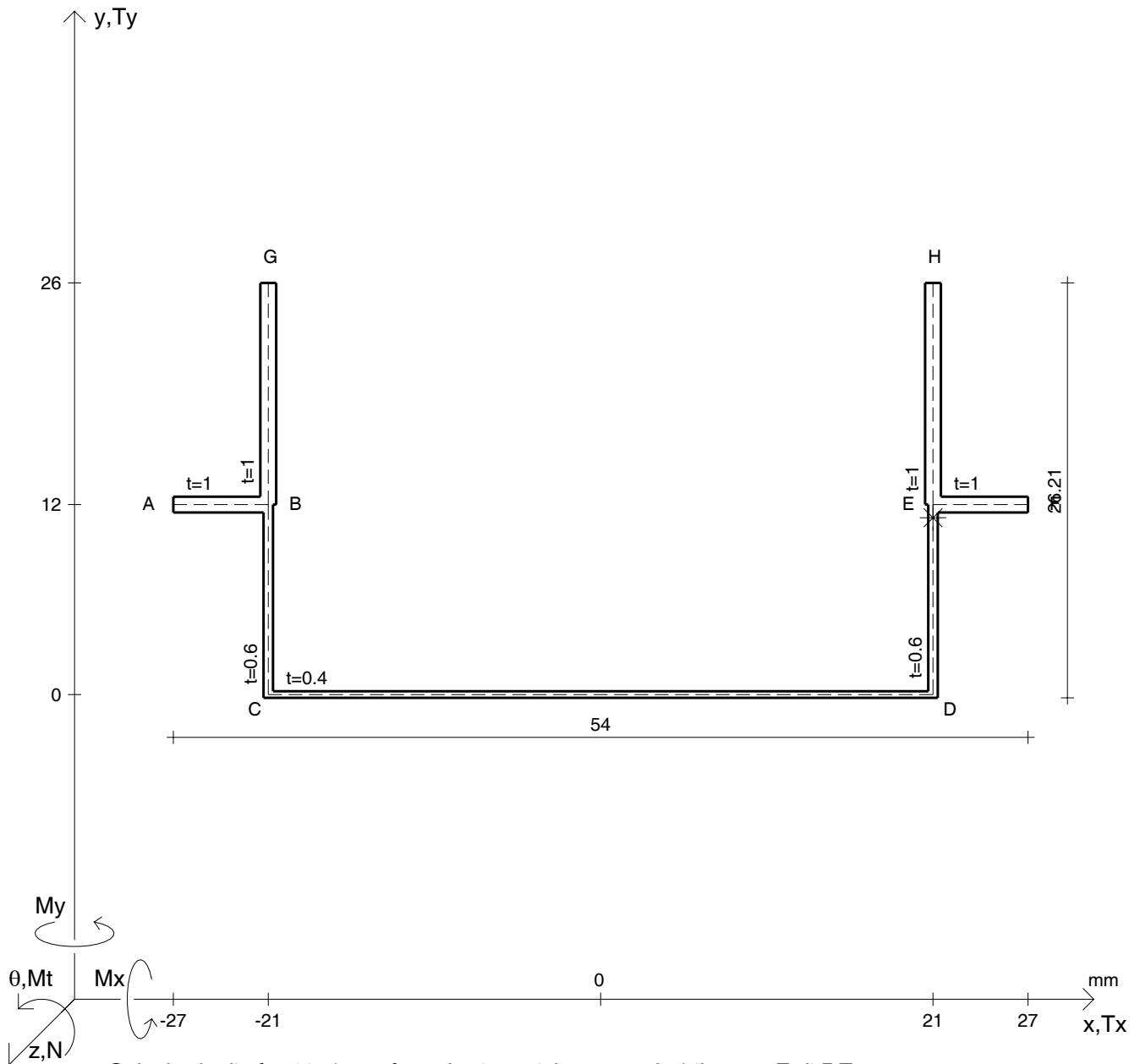
Rappresentare il cerchio di Mohr

Operare le conclusioni sulla verifica di resistenza in *

Facoltativo: rappresentare l'asse neutro e l'andamento delle tens. normali.

Facoltativo: rappresentare l'andamento delle tens. tangenziali.

N	$= 6010 \text{ N}$	M_x	$= 35800 \text{ Nmm}$	G	$= 75000 \text{ N/mm}^2$
T_y	$= 1380 \text{ N}$	σ_a	$= 240 \text{ N/mm}^2$	σ_{ld}	$=$
M_t	$= 1090 \text{ Nmm}$	E	$= 200000 \text{ N/mm}^2$	σ_{lld}	$=$
y_G	$=$	$\tau(M_t)_d$	$=$	σ_{tresca}	$=$
u_o	$=$	$\tau(T_{yc})$	$=$	σ_{mises}	$=$
v_o	$=$	$\tau(T_{yb})_d$	$=$	$\sigma_{st.ven}$	$=$
A	$=$	$\tau(T_y)_s$	$=$	θ_t	$=$
C_w	$=$	$\tau(T_y)_d$	$=$	r_u	$=$
J_u	$=$	σ	$=$	r_v	$=$
J_v	$=$	τ_s	$=$	r_o	$=$
J_t	$=$	τ_d	$=$	J_p	$=$
$\sigma(N)$	$=$	σ_{ls}	$=$		
$\sigma(M_x)$	$=$	σ_{lls}	$=$		



Calcolo degli sforzi in * con forze baricentriche essendo * il punto E di DE

Rappresentare sul foglio, in scala: G, assi u,v, ellisse d'inertia, C.T.

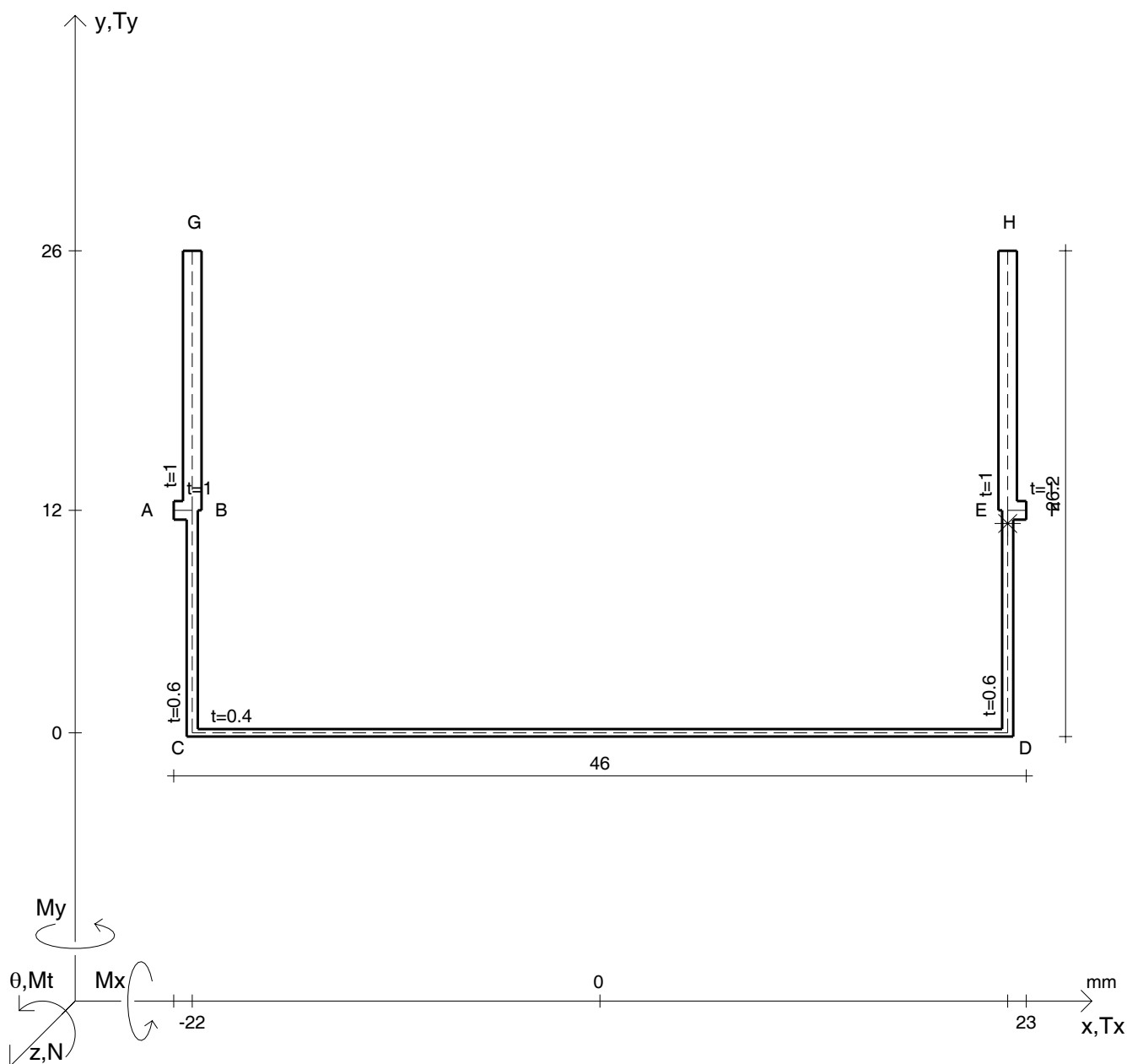
Rappresentare il cerchio di Mohr

Operare le conclusioni sulla verifica di resistenza in *

Facoltativo: rappresentare l'asse neutro e l'andamento delle tens. normali.

Facoltativo: rappresentare l'andamento delle tens. tangenziali.

N	$= 4570 \text{ N}$	M_x	$= 39100 \text{ Nmm}$	G	$= 75000 \text{ N/mm}^2$
T_y	$= 1540 \text{ N}$	σ_a	$= 240 \text{ N/mm}^2$	σ_{ld}	$=$
M_t	$= 1260 \text{ Nmm}$	E	$= 200000 \text{ N/mm}^2$	σ_{lld}	$=$
y_G	$=$	$\tau(M_t)_d$	$=$	σ_{tresca}	$=$
u_o	$=$	$\tau(T_{yc})$	$=$	σ_{mises}	$=$
v_o	$=$	$\tau(T_{yb})_d$	$=$	$\sigma_{st.ven}$	$=$
A	$=$	$\tau(T_y)_s$	$=$	θ_t	$=$
C_w	$=$	$\tau(T_y)_d$	$=$	r_u	$=$
J_u	$=$	σ	$=$	r_v	$=$
J_v	$=$	τ_s	$=$	r_o	$=$
J_t	$=$	τ_d	$=$	J_p	$=$
$\sigma(N)$	$=$	σ_{ls}	$=$		
$\sigma(M_x)$	$=$	σ_{lls}	$=$		



Calcolo degli sforzi in * con forze baricentriche essendo * il punto E di DE

Rappresentare sul foglio, in scala: G, assi u,v, ellisse d'inertia, C.T.

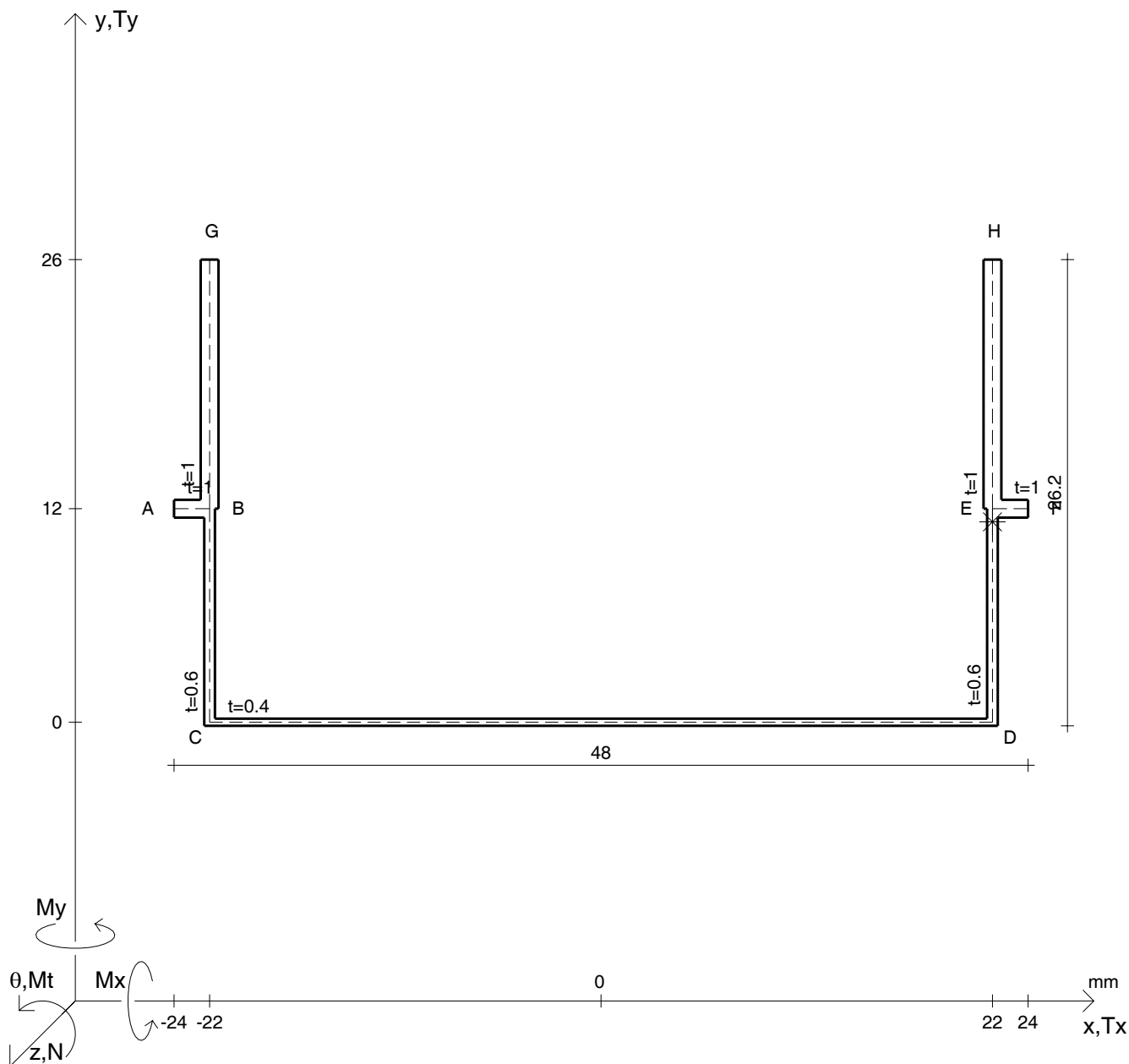
Rappresentare il cerchio di Mohr

Operare le conclusioni sulla verifica di resistenza in *

Facoltativo: rappresentare l'asse neutro e l'andamento delle tens. normali.

Facoltativo: rappresentare l'andamento delle tens. tangenziali.

N	$= 4450 \text{ N}$	M_x	$= 30300 \text{ Nmm}$	G	$= 75000 \text{ N/mm}^2$
T_y	$= 1700 \text{ N}$	σ_a	$= 240 \text{ N/mm}^2$	σ_{ld}	$=$
M_t	$= -1100 \text{ Nmm}$	E	$= 200000 \text{ N/mm}^2$	σ_{lld}	$=$
y_G	$=$	$\tau(M_t)_d$	$=$	σ_{tresca}	$=$
u_o	$=$	$\tau(T_{yc})$	$=$	σ_{mises}	$=$
v_o	$=$	$\tau(T_{yb})_d$	$=$	$\sigma_{st.ven}$	$=$
A	$=$	$\tau(T_y)_s$	$=$	θ_t	$=$
C_w	$=$	$\tau(T_y)_d$	$=$	r_u	$=$
J_u	$=$	σ	$=$	r_v	$=$
J_v	$=$	τ_s	$=$	r_o	$=$
J_t	$=$	τ_d	$=$	J_p	$=$
$\sigma(N)$	$=$	σ_{ls}	$=$		
$\sigma(M_x)$	$=$	σ_{lls}	$=$		



Calcolo degli sforzi in * con forze baricentriche essendo * il punto E di DE

Rappresentare sul foglio, in scala: G, assi u,v, ellisse d'inerzia, C.T.

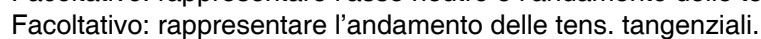
Rappresentare il cerchio di Mohr

Operare le conclusioni sulla verifica di resistenza in *

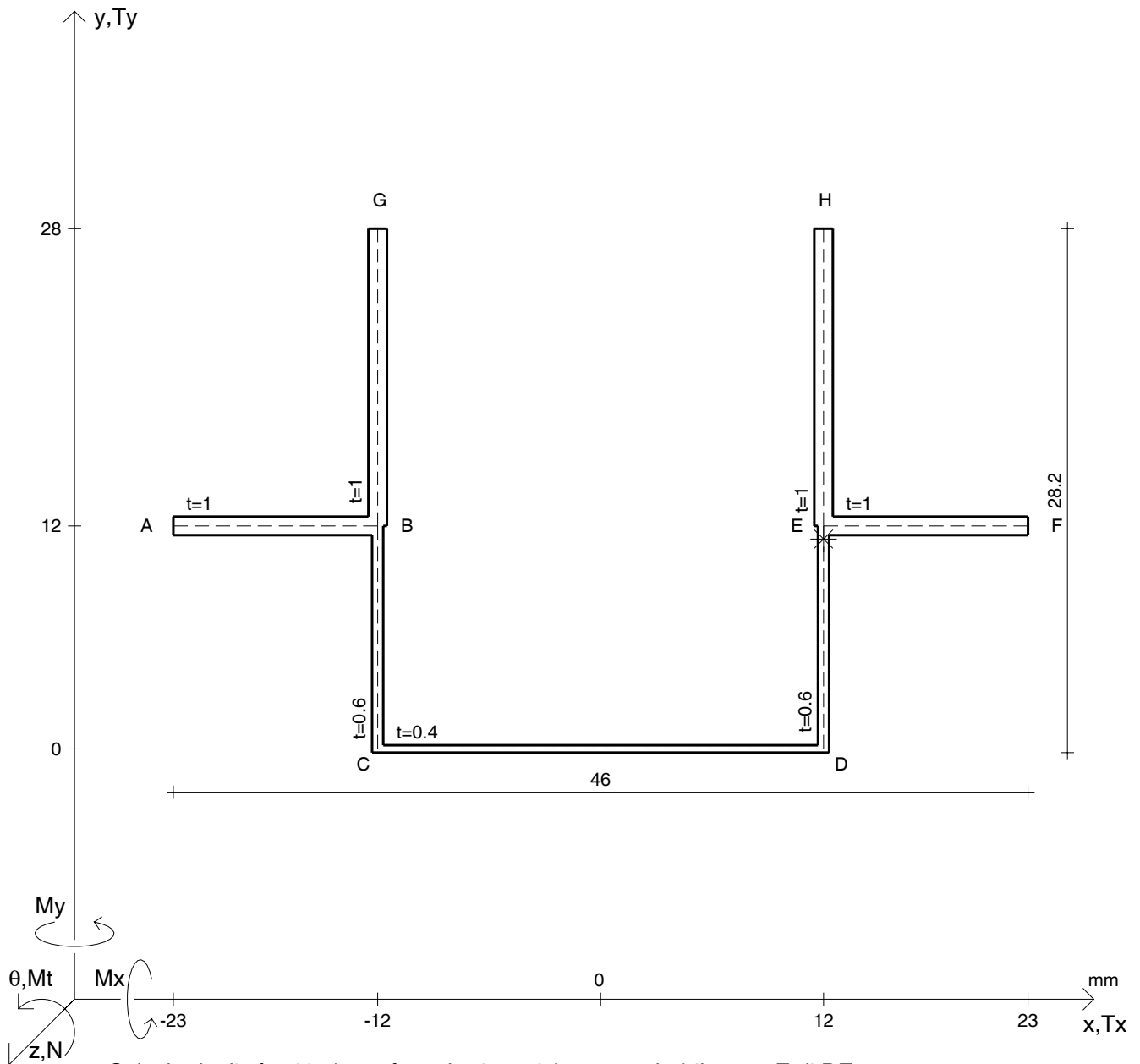
Facoltativo: rappresentare l'asse neutro e l'andamento delle tens. normali.

Facoltativo: rappresentare l'andamento delle tens. tangenziali.

N	= 5080 N	M_x	= 33700 Nmm	G	= 75000 N/mm ²
T_y	= 1850 N	σ_a	= 240 N/mm ²		
M_t	= 857 Nmm	E	= 200000 N/mm ²		
y_G	=	$\tau(M_t)_d$	=	σ_{ld}	=
u_o	=	$\tau(T_{yc})$	=	σ_{lld}	=
v_o	=	$\tau(T_{yb})_d$	=	σ_{tresca}	=
A	=	$\tau(T_y)_s$	=	σ_{mises}	=
C_w	=	$\tau(T_y)_d$	=	$\sigma_{st.ven}$	=
J_u	=	σ	=	θ_t	=
J_v	=	τ_s	=	r_u	=
J_t	=	τ_d	=	r_v	=
$\sigma(N)$	=	σ_{ls}	=	r_o	=
$\sigma(M_x)$	=	σ_{lls}	=	J_p	=



@ Adolfo Zavelani Rossi, Politecnico di Milano, vers.24.05.07



Calcolo degli sforzi in * con forze baricentriche essendo * il punto E di DE

Rappresentare sul foglio, in scala: G, assi u,v, ellisse d'inerzia, C.T.

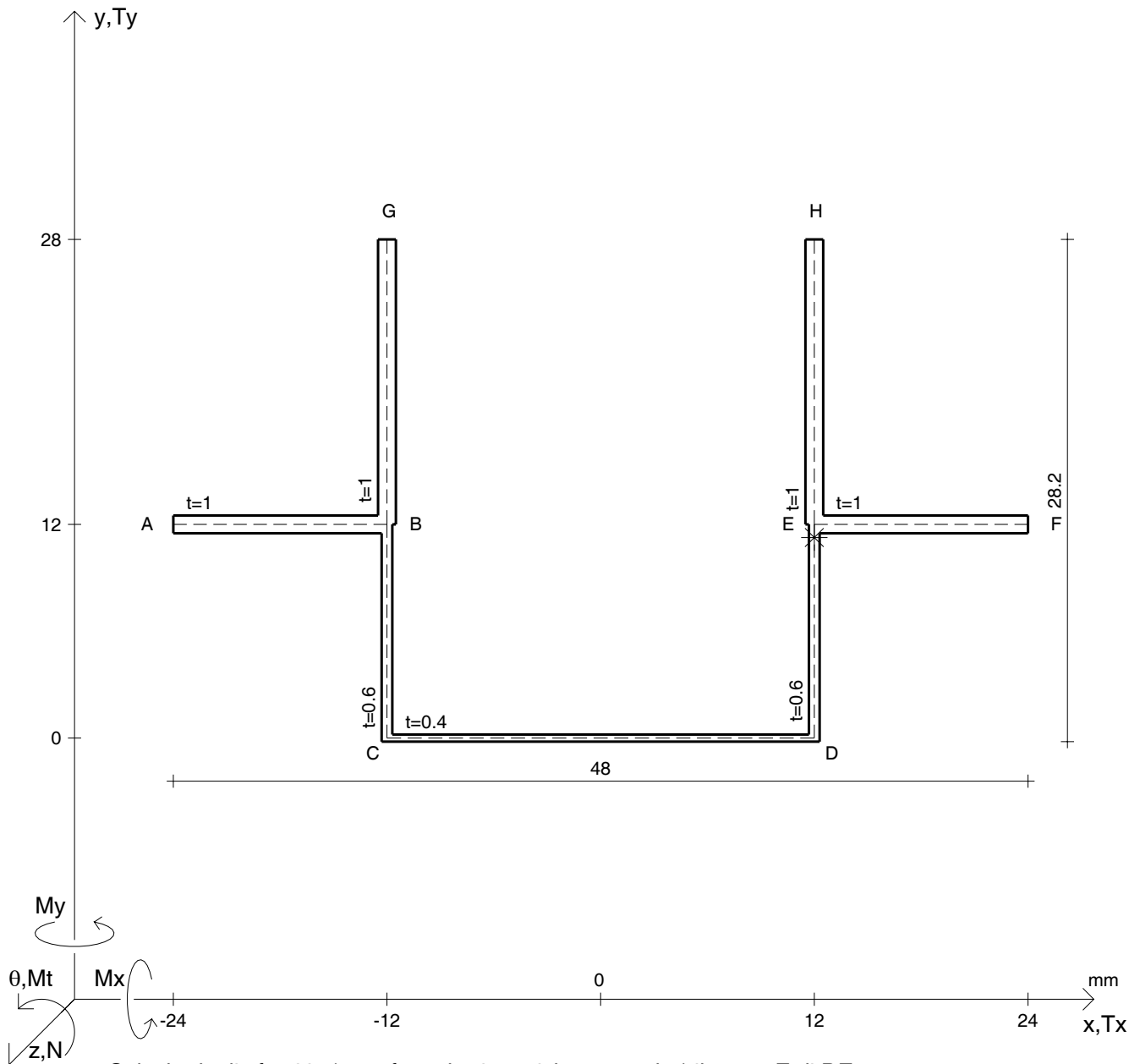
Rappresentare il cerchio di Mohr

Operare le conclusioni sulla verifica di resistenza in *

Facoltativo: rappresentare l'asse neutro e l'andamento delle tens. normali.

Facoltativo: rappresentare l'andamento delle tens. tangenziali.

N	$= 6160 \text{ N}$	M_x	$= 26800 \text{ Nmm}$	G	$= 75000 \text{ N/mm}^2$
T_y	$= 2260 \text{ N}$	σ_a	$= 240 \text{ N/mm}^2$		
M_t	$= 1290 \text{ Nmm}$	E	$= 200000 \text{ N/mm}^2$		
y_G	$=$	$\tau(M_t)_d$	$=$	σ_{ld}	$=$
u_o	$=$	$\tau(T_{yc})$	$=$	σ_{lld}	$=$
v_o	$=$	$\tau(T_{yb})_d$	$=$	σ_{tresca}	$=$
A	$=$	$\tau(T_y)_s$	$=$	σ_{mises}	$=$
C_w	$=$	$\tau(T_y)_d$	$=$	$\sigma_{st.ven}$	$=$
J_u	$=$	σ	$=$	θ_t	$=$
J_v	$=$	τ_s	$=$	r_u	$=$
J_t	$=$	τ_d	$=$	r_v	$=$
$\sigma(N)$	$=$	σ_{ls}	$=$	r_o	$=$
$\sigma(M_x)$	$=$	σ_{lls}	$=$	J_p	$=$



Calcolo degli sforzi in * con forze baricentriche essendo * il punto E di DE

Rappresentare sul foglio, in scala: G, assi u,v, ellisse d'inertia, C.T.

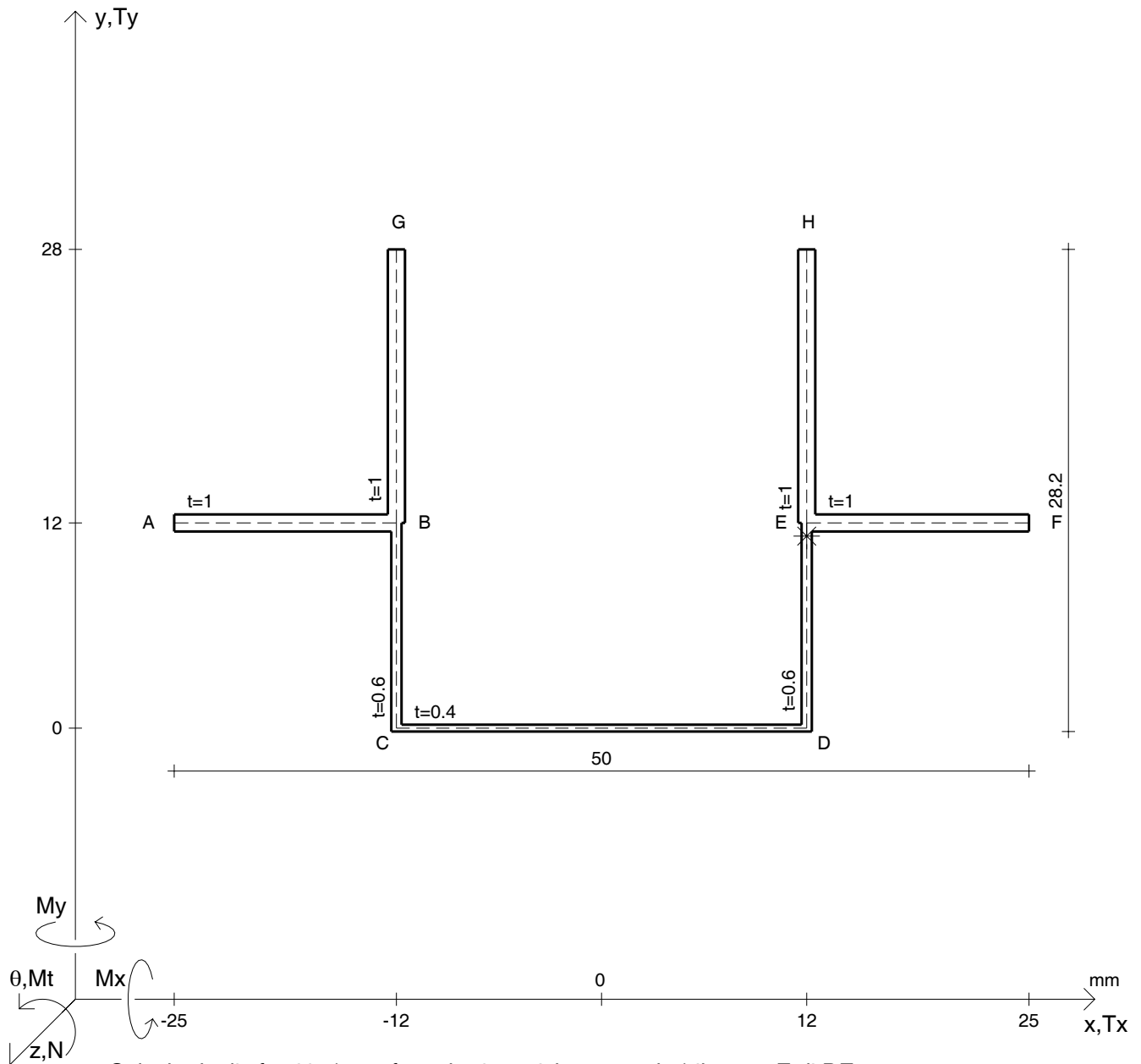
Rappresentare il cerchio di Mohr

Operare le conclusioni sulla verifica di resistenza in *

Facoltativo: rappresentare l'asse neutro e l'andamento delle tens. normali.

Facoltativo: rappresentare l'andamento delle tens. tangenziali.

N	= 6920 N	M_x	= 29700 Nmm	G	= 75000 N/mm ²
T_y	= 1670 N	σ_a	= 240 N/mm ²		
M_t	= 1490 Nmm	E	= 200000 N/mm ²		
y_G	=	$\tau(M_t)_d$	=	σ_{ld}	=
u_o	=	$\tau(T_{yc})$	=	σ_{lld}	=
v_o	=	$\tau(T_{yb})_d$	=	σ_{tresca}	=
A	=	$\tau(T_y)_s$	=	σ_{mises}	=
C_w	=	$\tau(T_y)_d$	=	$\sigma_{st.ven}$	=
J_u	=	σ	=	θ_t	=
J_v	=	τ_s	=	r_u	=
J_t	=	τ_d	=	r_v	=
$\sigma(N)$	=	σ_{ls}	=	r_o	=
$\sigma(M_x)$	=	σ_{lls}	=	J_p	=



Calcolo degli sforzi in * con forze baricentriche essendo * il punto E di DE

Rappresentare sul foglio, in scala: G, assi u,v, ellisse d'inertia, C.T.

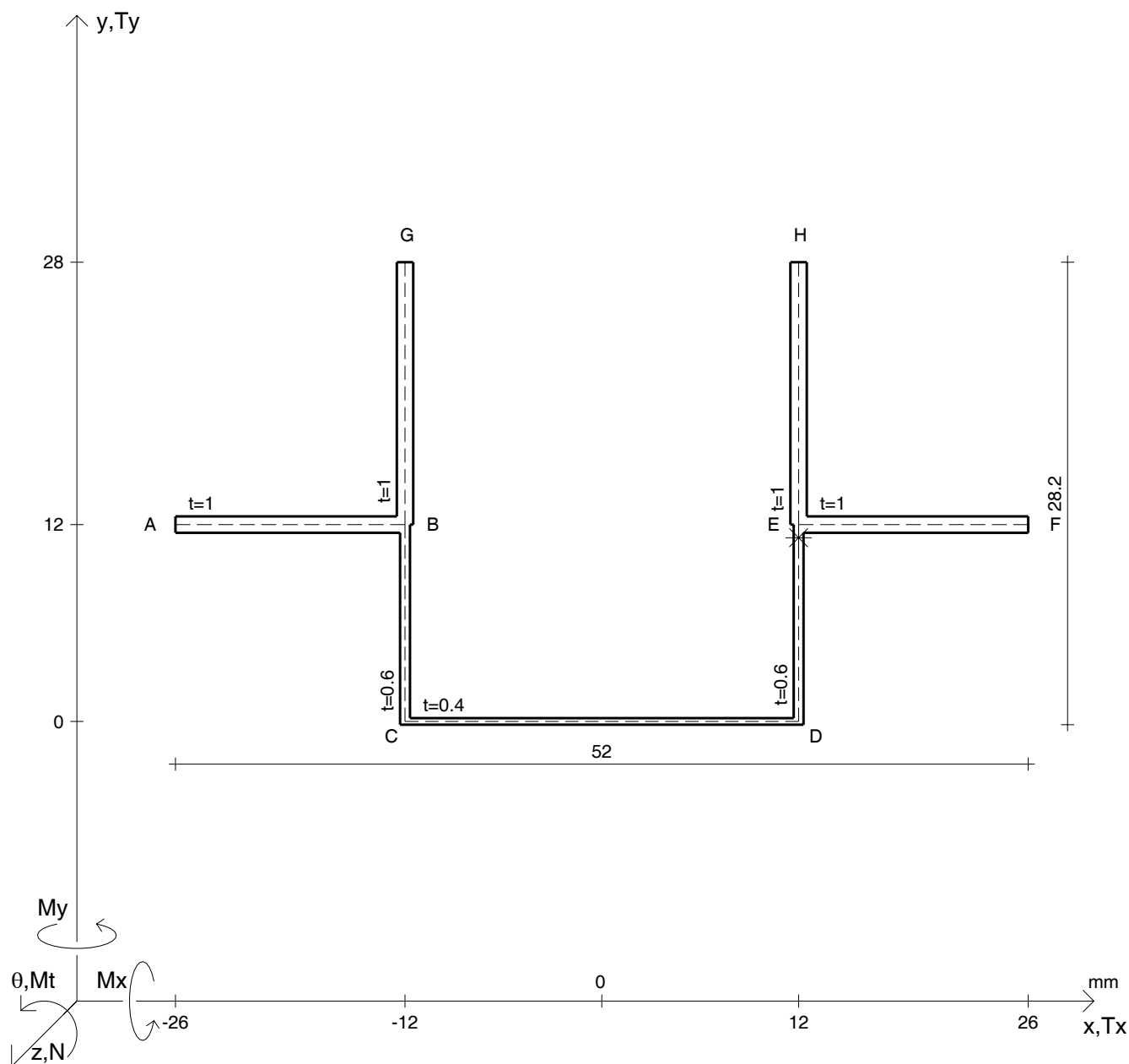
Rappresentare il cerchio di Mohr

Operare le conclusioni sulla verifica di resistenza in *

Facoltativo: rappresentare l'asse neutro e l'andamento delle tens. normali.

Facoltativo: rappresentare l'andamento delle tens. tangenziali.

N	= 5240 N	M_x	= 32500 Nmm	G	= 75000 N/mm ²
T_y	= 1880 N	σ_a	= 240 N/mm ²		
M_t	= 1700 Nmm	E	= 200000 N/mm ²		
y_G	=	$\tau(M_t)_d$	=	σ_{ld}	=
u_o	=	$\tau(T_{yc})$	=	σ_{lld}	=
v_o	=	$\tau(T_{yb})_d$	=	σ_{tresca}	=
A	=	$\tau(T_y)_s$	=	σ_{mises}	=
C_w	=	$\tau(T_y)_d$	=	$\sigma_{st.ven}$	=
J_u	=	σ	=	θ_t	=
J_v	=	τ_s	=	r_u	=
J_t	=	τ_d	=	r_v	=
$\sigma(N)$	=	σ_{ls}	=	r_o	=
$\sigma(M_x)$	=	σ_{lls}	=	J_p	=



Calcolo degli sforzi in * con forze baricentriche essendo * il punto E di DE

Rappresentare sul foglio, in scala: G, assi u,v, ellisse d'inerzia, C.T.

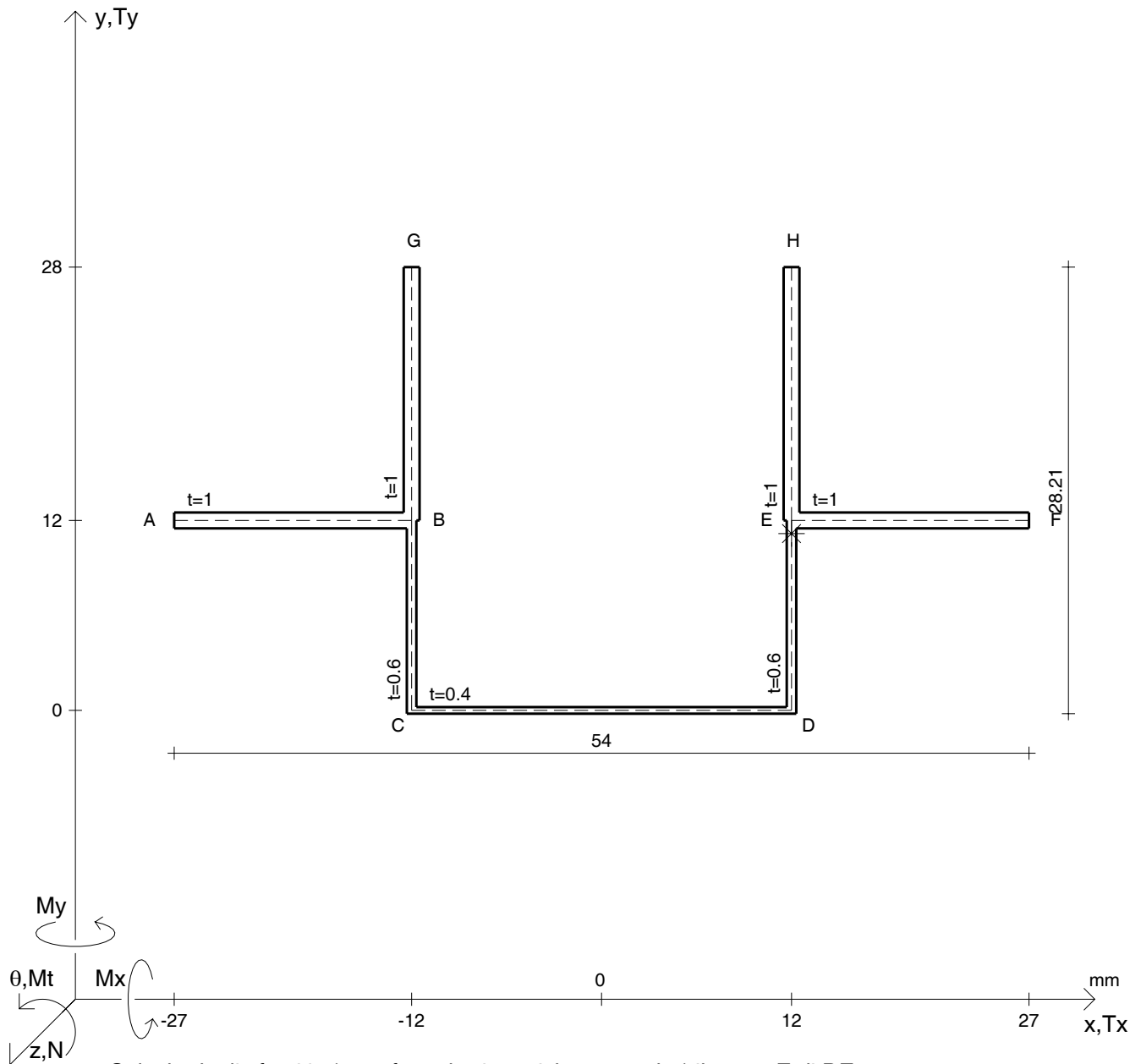
Rappresentare il cerchio di Mohr

Operare le conclusioni sulla verifica di resistenza in *

Facoltativo: rappresentare l'asse neutro e l'andamento delle tens. normali.

Facoltativo: rappresentare l'andamento delle tens. tangenziali.

N	$= 6000 \text{ N}$	M_x	$= 24100 \text{ Nmm}$	G	$= 75000 \text{ N/mm}^2$
T_y	$= 2080 \text{ N}$	σ_a	$= 240 \text{ N/mm}^2$	σ_{ld}	$=$
M_t	$= 1920 \text{ Nmm}$	E	$= 200000 \text{ N/mm}^2$	σ_{lld}	$=$
y_G	$=$	$\tau(M_t)_d$	$=$	σ_{tresca}	$=$
u_o	$=$	$\tau(T_{yc})$	$=$	σ_{mises}	$=$
v_o	$=$	$\tau(T_{yb})_d$	$=$	$\sigma_{st.ven}$	$=$
A	$=$	$\tau(T_y)_s$	$=$	θ_t	$=$
C_w	$=$	$\tau(T_y)_d$	$=$	r_u	$=$
J_u	$=$	σ	$=$	r_v	$=$
J_v	$=$	τ_s	$=$	r_o	$=$
J_t	$=$	τ_d	$=$	J_p	$=$
$\sigma(N)$	$=$	σ_{ls}	$=$		
$\sigma(M_x)$	$=$	σ_{lls}	$=$		



Calcolo degli sforzi in * con forze baricentriche essendo * il punto E di DE

Rappresentare sul foglio, in scala: G, assi u,v, ellisse d'inertia, C.T.

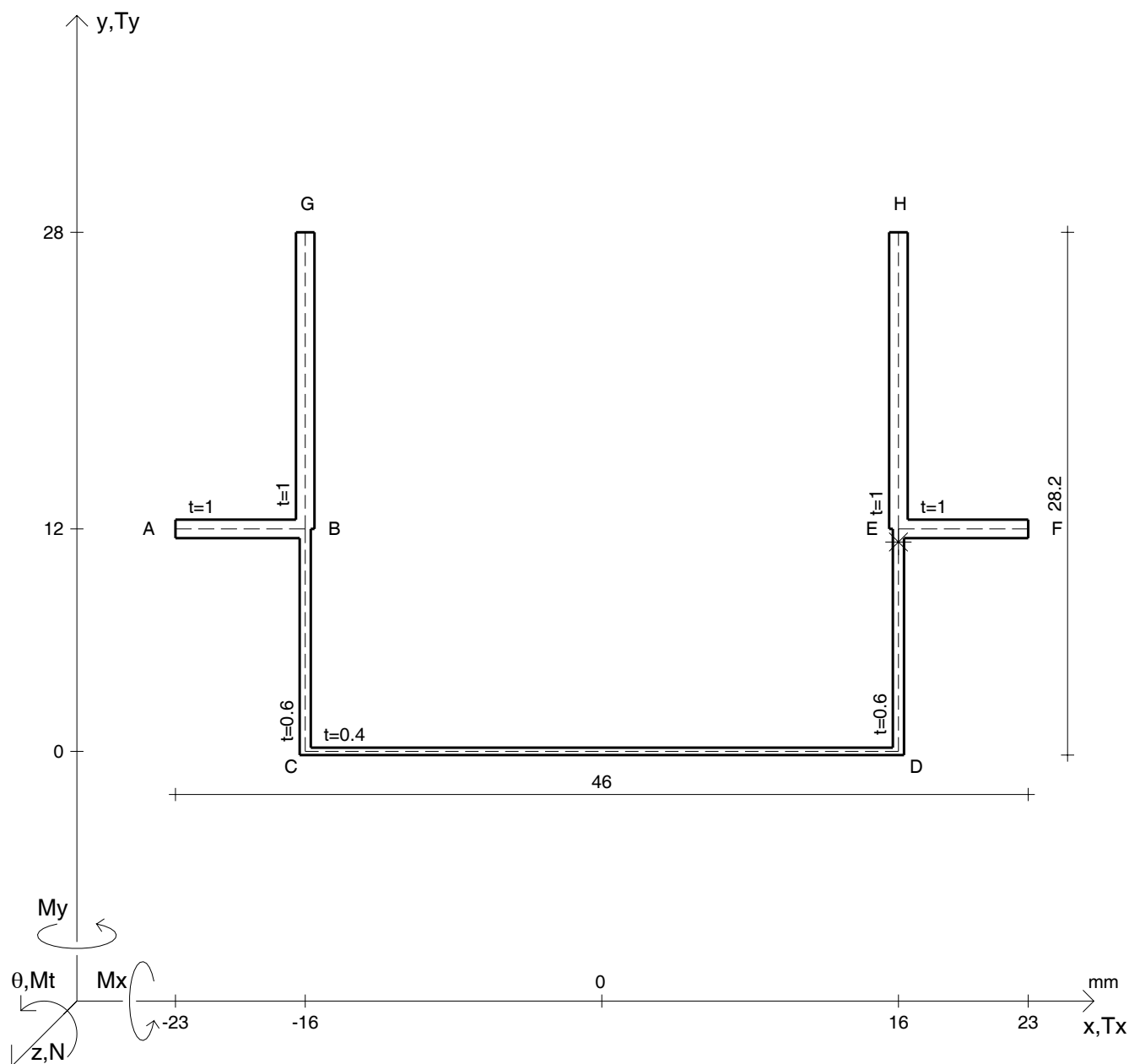
Rappresentare il cerchio di Mohr

Operare le conclusioni sulla verifica di resistenza in *

Facoltativo: rappresentare l'asse neutro e l'andamento delle tens. normali.

Facoltativo: rappresentare l'andamento delle tens. tangenziali.

N	$= 6790 \text{ N}$	M_x	$= 26900 \text{ Nmm}$	G	$= 75000 \text{ N/mm}^2$
T_y	$= 2280 \text{ N}$	σ_a	$= 240 \text{ N/mm}^2$	σ_{ld}	$=$
M_t	$= 1460 \text{ Nmm}$	E	$= 200000 \text{ N/mm}^2$	σ_{lld}	$=$
y_G	$=$	$\tau(M_t)_d$	$=$	σ_{tresca}	$=$
u_o	$=$	$\tau(T_{yc})$	$=$	σ_{mises}	$=$
v_o	$=$	$\tau(T_{yb})_d$	$=$	$\sigma_{st.ven}$	$=$
A	$=$	$\tau(T_y)_s$	$=$	θ_t	$=$
C_w	$=$	$\tau(T_y)_d$	$=$	r_u	$=$
J_u	$=$	σ	$=$	r_v	$=$
J_v	$=$	τ_s	$=$	r_o	$=$
J_t	$=$	τ_d	$=$	J_p	$=$
$\sigma(N)$	$=$	σ_{ls}	$=$		
$\sigma(M_x)$	$=$	σ_{lls}	$=$		



Calcolo degli sforzi in * con forze baricentriche essendo * il punto E di DE

Rappresentare sul foglio, in scala: G, assi u,v, ellisse d'inertia, C.T.

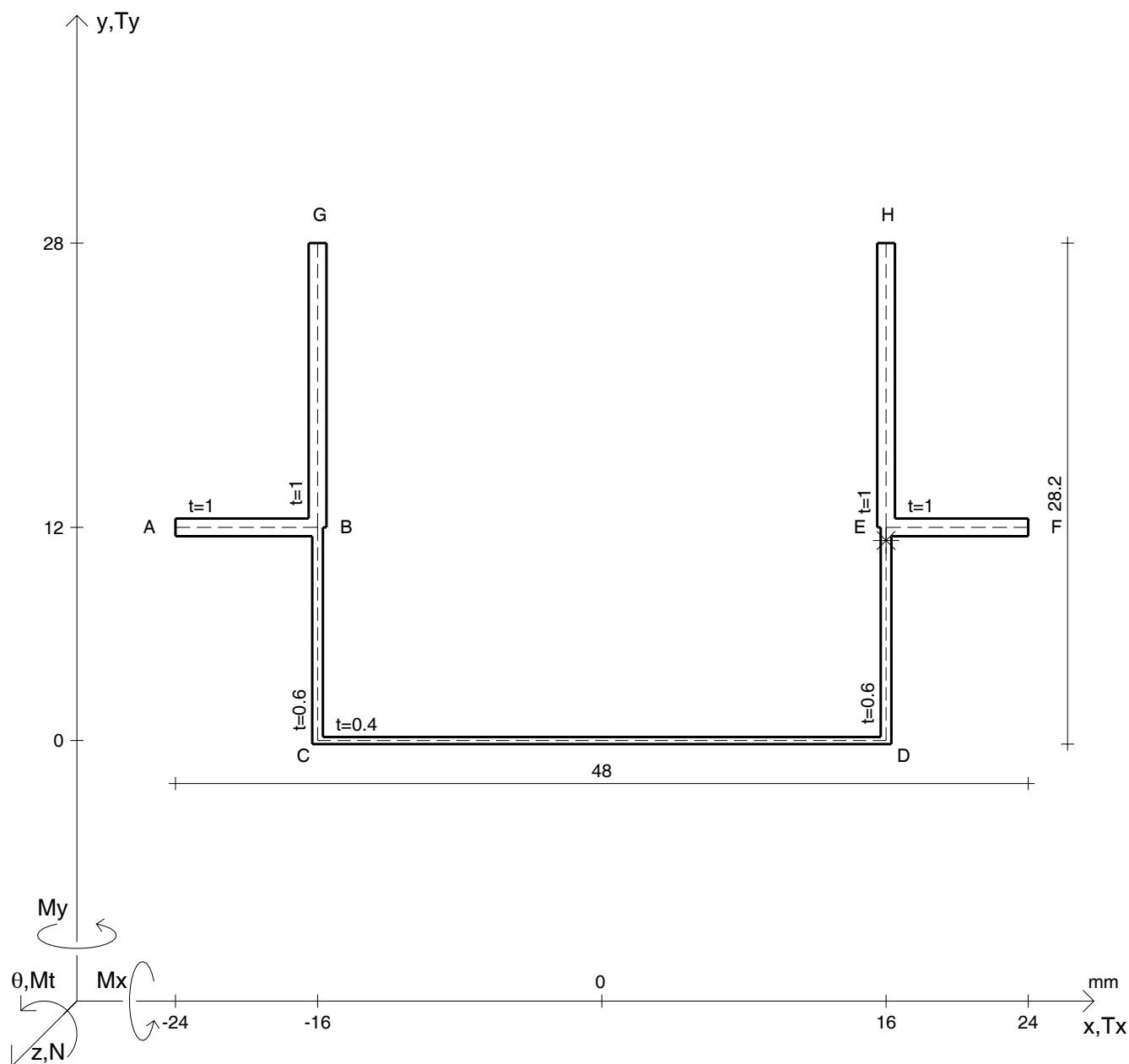
Rappresentare il cerchio di Mohr

Operare le conclusioni sulla verifica di resistenza in *

Facoltativo: rappresentare l'asse neutro e l'andamento delle tens. normali.

Facoltativo: rappresentare l'andamento delle tens. tangenziali.

N	$= 6270 \text{ N}$	M_x	$= 33700 \text{ Nmm}$	G	$= 75000 \text{ N/mm}^2$
T_y	$= 1620 \text{ N}$	σ_a	$= 240 \text{ N/mm}^2$	σ_{ld}	$=$
M_t	$= 1250 \text{ Nmm}$	E	$= 200000 \text{ N/mm}^2$	σ_{lld}	$=$
y_G	$=$	$\tau(M_t)_d$	$=$	σ_{tresca}	$=$
u_o	$=$	$\tau(T_{yc})$	$=$	σ_{mises}	$=$
v_o	$=$	$\tau(T_{yb})_d$	$=$	$\sigma_{st.ven}$	$=$
A	$=$	$\tau(T_y)_s$	$=$	θ_t	$=$
C_w	$=$	$\tau(T_y)_d$	$=$	r_u	$=$
J_u	$=$	σ	$=$	r_v	$=$
J_v	$=$	τ_s	$=$	r_o	$=$
J_t	$=$	τ_d	$=$	J_p	$=$
$\sigma(N)$	$=$	σ_{ls}	$=$		
$\sigma(M_x)$	$=$	σ_{lls}	$=$		



Calcolo degli sforzi in * con forze baricentriche essendo * il punto E di DE

Rappresentare sul foglio, in scala: G, assi u,v, ellisse d'inertia, C.T.

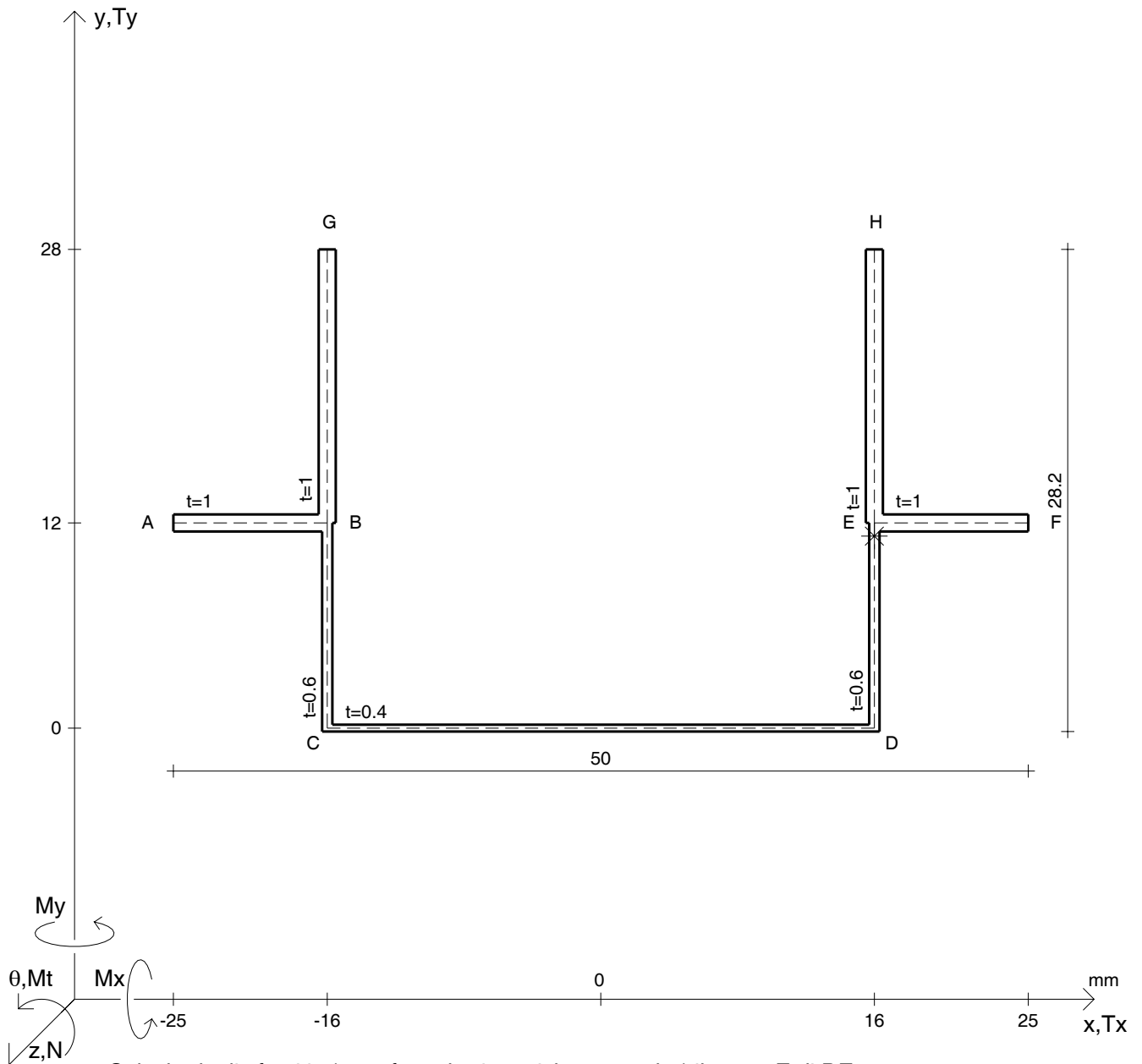
Rappresentare il cerchio di Mohr

Operare le conclusioni sulla verifica di resistenza in *

Facoltativo: rappresentare l'asse neutro e l'andamento delle tens. normali.

Facoltativo: rappresentare l'andamento delle tens. tangenziali.

N	$= 4760 \text{ N}$	M_x	$= 36900 \text{ Nmm}$	G	$= 75000 \text{ N/mm}^2$
T_y	$= 1810 \text{ N}$	σ_a	$= 240 \text{ N/mm}^2$	σ_{ld}	$=$
M_t	$= 1440 \text{ Nmm}$	E	$= 200000 \text{ N/mm}^2$	σ_{lld}	$=$
y_G	$=$	$\tau(M_t)_d$	$=$	σ_{tresca}	$=$
u_o	$=$	$\tau(T_{yc})$	$=$	σ_{mises}	$=$
v_o	$=$	$\tau(T_{yb})_d$	$=$	$\sigma_{st.ven}$	$=$
A	$=$	$\tau(T_y)_s$	$=$	θ_t	$=$
C_w	$=$	$\tau(T_y)_d$	$=$	r_u	$=$
J_u	$=$	σ	$=$	r_v	$=$
J_v	$=$	τ_s	$=$	r_o	$=$
J_t	$=$	τ_d	$=$	J_p	$=$
$\sigma(N)$	$=$	σ_{ls}	$=$		
$\sigma(M_x)$	$=$	σ_{lls}	$=$		



Calcolo degli sforzi in * con forze baricentriche essendo * il punto E di DE

Rappresentare sul foglio, in scala: G, assi u,v, ellisse d'inertia, C.T.

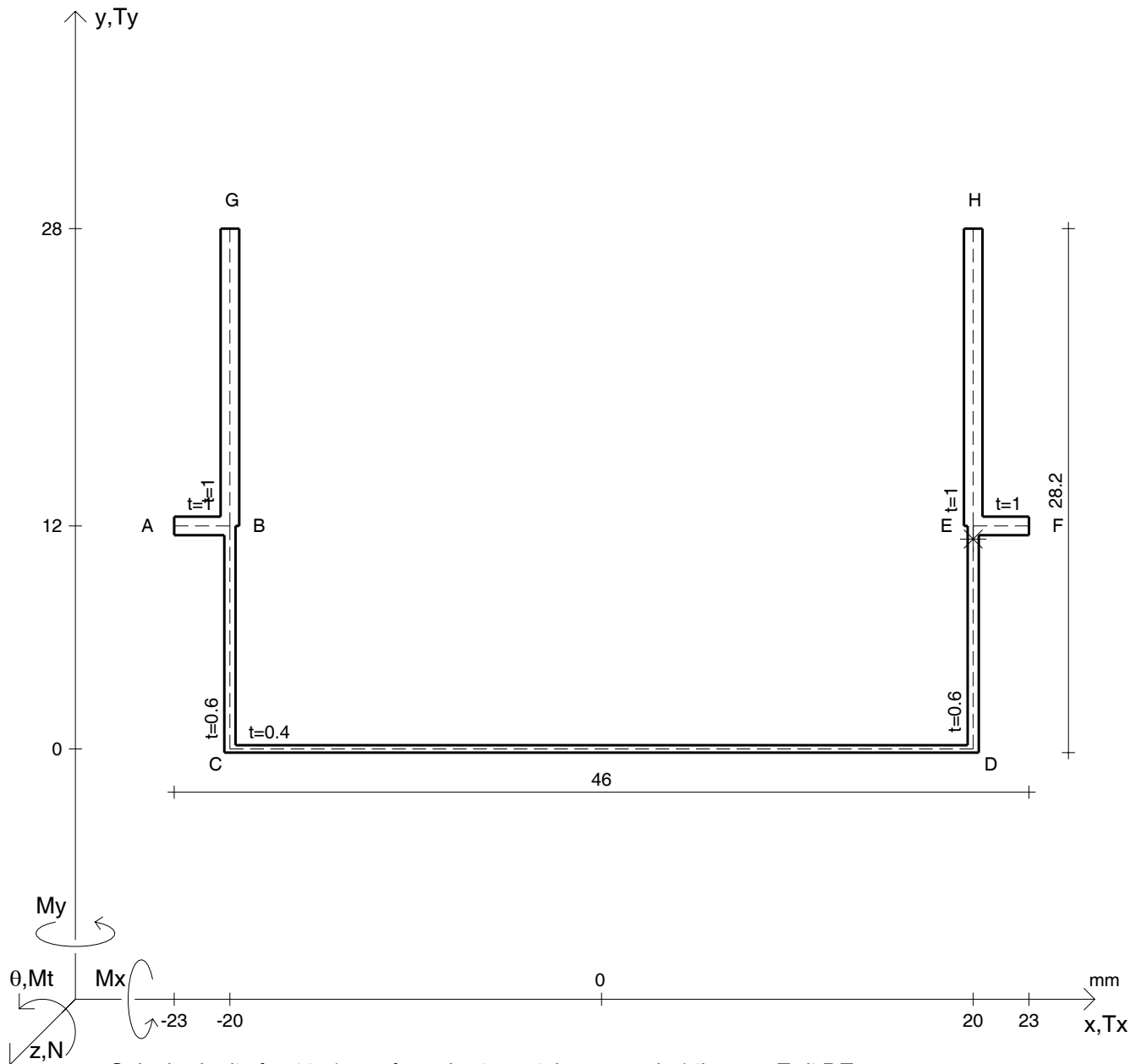
Rappresentare il cerchio di Mohr

Operare le conclusioni sulla verifica di resistenza in *

Facoltativo: rappresentare l'asse neutro e l'andamento delle tens. normali.

Facoltativo: rappresentare l'andamento delle tens. tangenziali.

N	$= 5460 \text{ N}$	M_x	$= 27300 \text{ Nmm}$	G	$= 75000 \text{ N/mm}^2$
T_y	$= 2010 \text{ N}$	σ_a	$= 240 \text{ N/mm}^2$	σ_{ld}	$=$
M_t	$= 1630 \text{ Nmm}$	E	$= 200000 \text{ N/mm}^2$	σ_{lld}	$=$
y_G	$=$	$\tau(M_t)_d$	$=$	σ_{tresca}	$=$
u_o	$=$	$\tau(T_{yc})$	$=$	σ_{mises}	$=$
v_o	$=$	$\tau(T_{yb})_d$	$=$	$\sigma_{st.ven}$	$=$
A	$=$	$\tau(T_y)_s$	$=$	θ_t	$=$
C_w	$=$	$\tau(T_y)_d$	$=$	r_u	$=$
J_u	$=$	σ	$=$	r_v	$=$
J_v	$=$	τ_s	$=$	r_o	$=$
J_t	$=$	τ_d	$=$	J_p	$=$
$\sigma(N)$	$=$	σ_{ls}	$=$		
$\sigma(M_x)$	$=$	σ_{lls}	$=$		



Calcolo degli sforzi in * con forze baricentriche essendo * il punto E di DE

Rappresentare sul foglio, in scala: G, assi u,v, ellisse d'inertia, C.T.

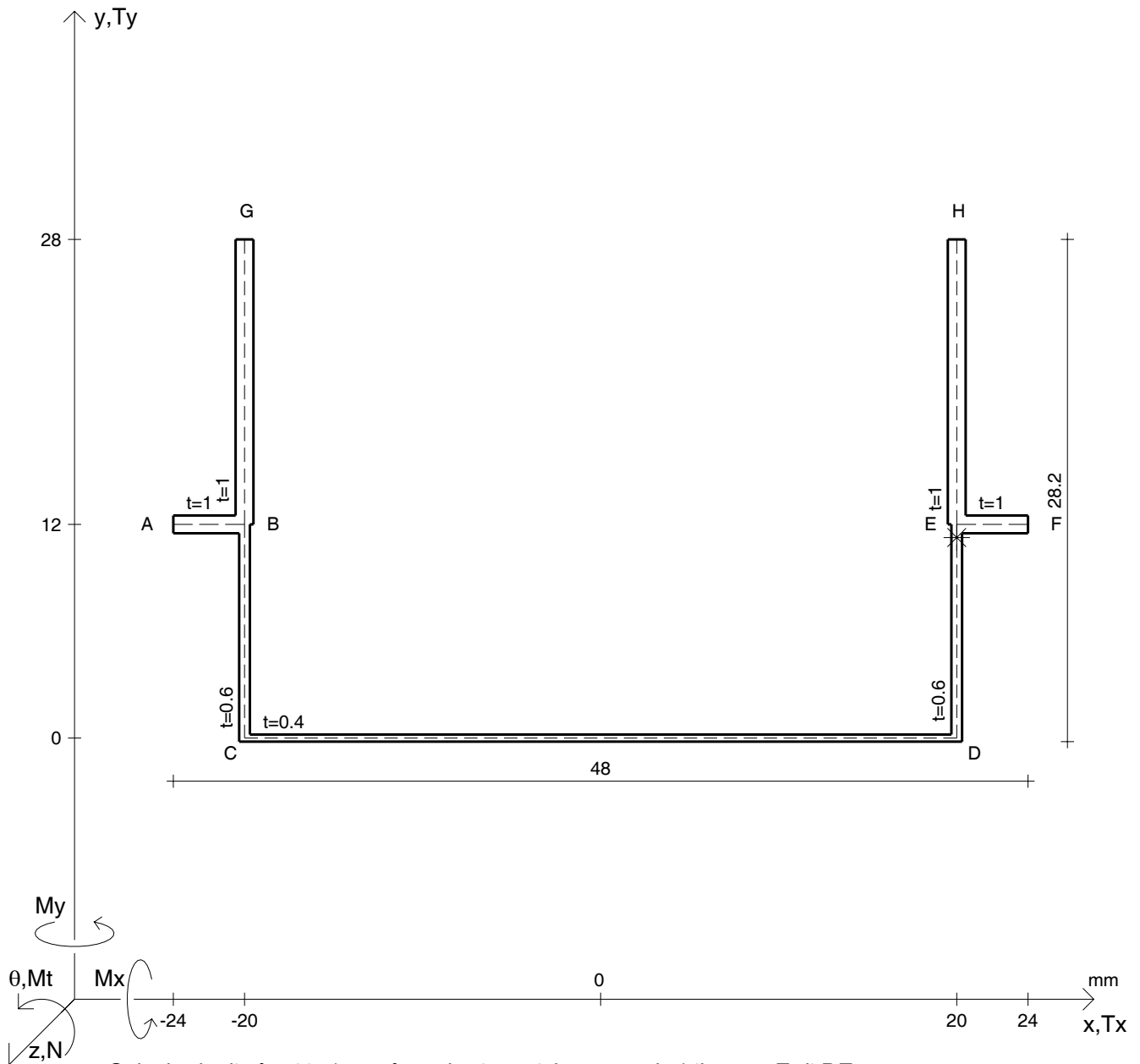
Rappresentare il cerchio di Mohr

Operare le conclusioni sulla verifica di resistenza in *

Facoltativo: rappresentare l'asse neutro e l'andamento delle tens. normali.

Facoltativo: rappresentare l'andamento delle tens. tangenziali.

N	$= 4360 \text{ N}$	M_x	$= 42200 \text{ Nmm}$	G	$= 75000 \text{ N/mm}^2$
T_y	$= 1740 \text{ N}$	σ_a	$= 240 \text{ N/mm}^2$	σ_{ld}	$=$
M_t	$= 1200 \text{ Nmm}$	E	$= 200000 \text{ N/mm}^2$	σ_{lld}	$=$
y_G	$=$	$\tau(M_t)_d$	$=$	σ_{tresca}	$=$
u_o	$=$	$\tau(T_{yc})$	$=$	σ_{mises}	$=$
v_o	$=$	$\tau(T_{yb})_d$	$=$	$\sigma_{st.ven}$	$=$
A	$=$	$\tau(T_y)_s$	$=$	θ_t	$=$
C_w	$=$	$\tau(T_y)_d$	$=$	r_u	$=$
J_u	$=$	σ	$=$	r_v	$=$
J_v	$=$	τ_s	$=$	r_o	$=$
J_t	$=$	τ_d	$=$	J_p	$=$
$\sigma(N)$	$=$	σ_{ls}	$=$		
$\sigma(M_x)$	$=$	σ_{lls}	$=$		



Calcolo degli sforzi in * con forze baricentriche essendo * il punto E di DE

Rappresentare sul foglio, in scala: G, assi u,v, ellisse d'inertia, C.T.

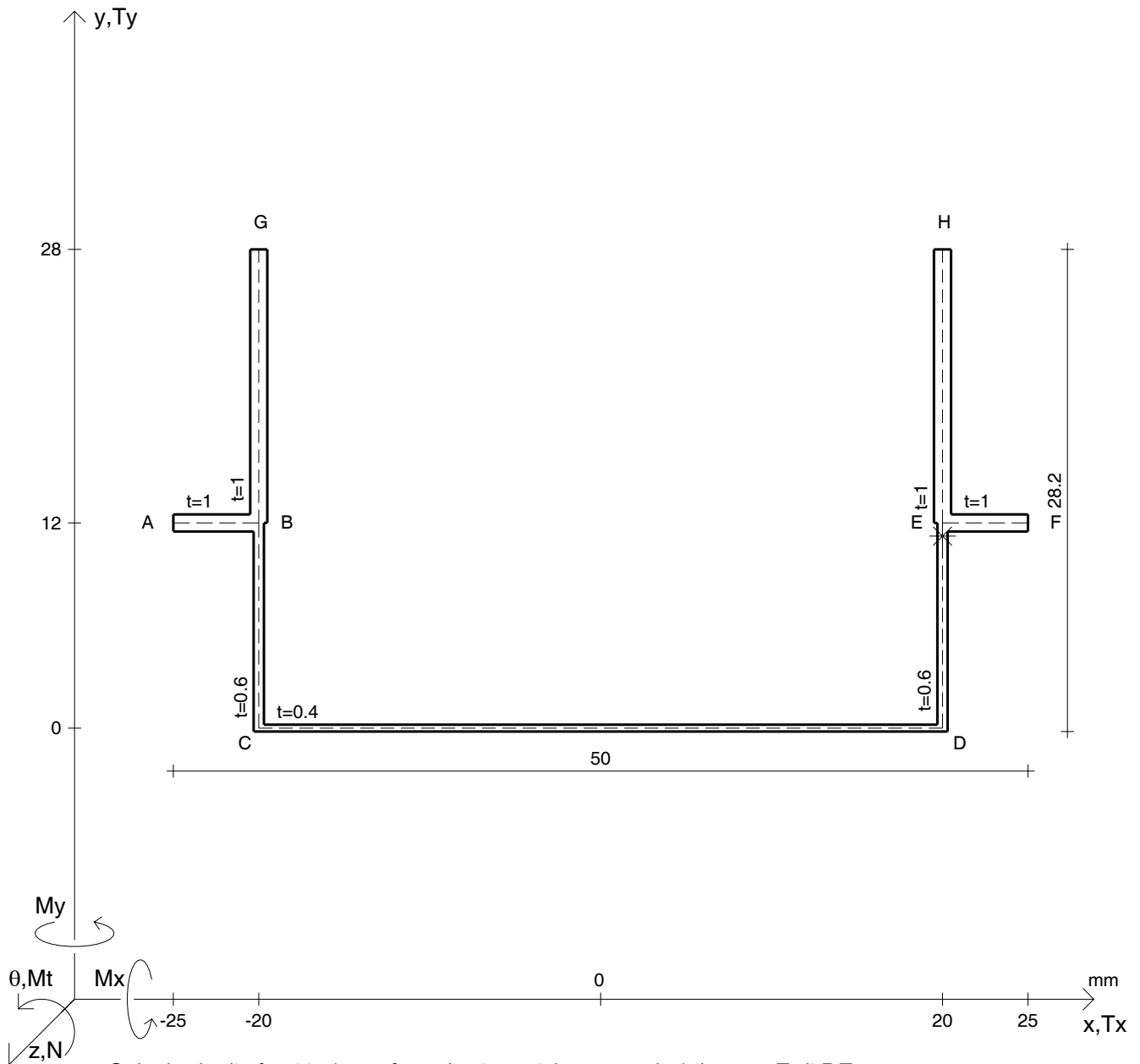
Rappresentare il cerchio di Mohr

Operare le conclusioni sulla verifica di resistenza in *

Facoltativo: rappresentare l'asse neutro e l'andamento delle tens. normali.

Facoltativo: rappresentare l'andamento delle tens. tangenziali.

N	$= 5020 \text{ N}$	M_x	$= 31200 \text{ Nmm}$	G	$= 75000 \text{ N/mm}^2$
T_y	$= 1920 \text{ N}$	σ_a	$= 240 \text{ N/mm}^2$	σ_{ld}	$=$
M_t	$= 1370 \text{ Nmm}$	E	$= 200000 \text{ N/mm}^2$	σ_{lld}	$=$
y_G	$=$	$\tau(M_t)_d$	$=$	σ_{tresca}	$=$
u_o	$=$	$\tau(T_{yc})$	$=$	σ_{mises}	$=$
v_o	$=$	$\tau(T_{yb})_d$	$=$	$\sigma_{st.ven}$	$=$
A	$=$	$\tau(T_y)_s$	$=$	θ_t	$=$
C_w	$=$	$\tau(T_y)_d$	$=$	r_u	$=$
J_u	$=$	σ	$=$	r_v	$=$
J_v	$=$	τ_s	$=$	r_o	$=$
J_t	$=$	τ_d	$=$	J_p	$=$
$\sigma(N)$	$=$	σ_{ls}	$=$		
$\sigma(M_x)$	$=$	σ_{lls}	$=$		



Calcolo degli sforzi in * con forze baricentriche essendo * il punto E di DE

Rappresentare sul foglio, in scala: G, assi u,v, ellisse d'inertia, C.T.

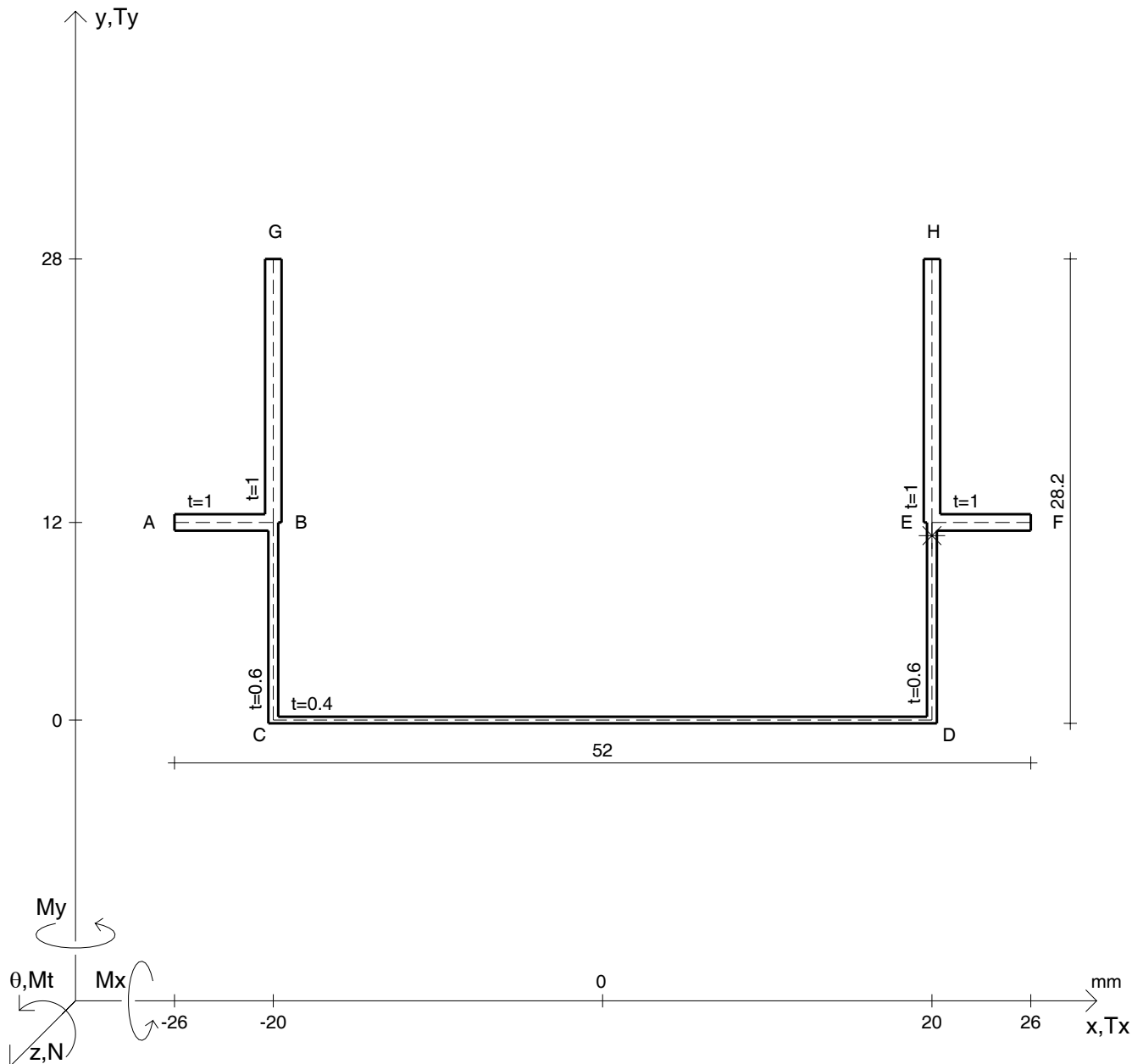
Rappresentare il cerchio di Mohr

Operare le conclusioni sulla verifica di resistenza in *

Facoltativo: rappresentare l'asse neutro e l'andamento delle tens. normali.

Facoltativo: rappresentare l'andamento delle tens. tangenziali.

N	$= 5700 \text{ N}$	M_x	$= 34800 \text{ Nmm}$	G	$= 75000 \text{ N/mm}^2$
T_y	$= 2110 \text{ N}$	σ_a	$= 240 \text{ N/mm}^2$	σ_{ld}	$=$
M_t	$= 1050 \text{ Nmm}$	E	$= 200000 \text{ N/mm}^2$	σ_{lld}	$=$
y_G	$=$	$\tau(M_t)_d$	$=$	σ_{tresca}	$=$
u_o	$=$	$\tau(T_{yc})$	$=$	σ_{mises}	$=$
v_o	$=$	$\tau(T_{yb})_d$	$=$	$\sigma_{st.ven}$	$=$
A	$=$	$\tau(T_y)_s$	$=$	θ_t	$=$
C_w	$=$	$\tau(T_y)_d$	$=$	r_u	$=$
J_u	$=$	σ	$=$	r_v	$=$
J_v	$=$	τ_s	$=$	r_o	$=$
J_t	$=$	τ_d	$=$	J_p	$=$
$\sigma(N)$	$=$	σ_{ls}	$=$		
$\sigma(M_x)$	$=$	σ_{lls}	$=$		



Calcolo degli sforzi in * con forze baricentriche essendo * il punto E di DE

Rappresentare sul foglio, in scala: G, assi u,v, ellisse d'inertia, C.T.

Rappresentare il cerchio di Mohr

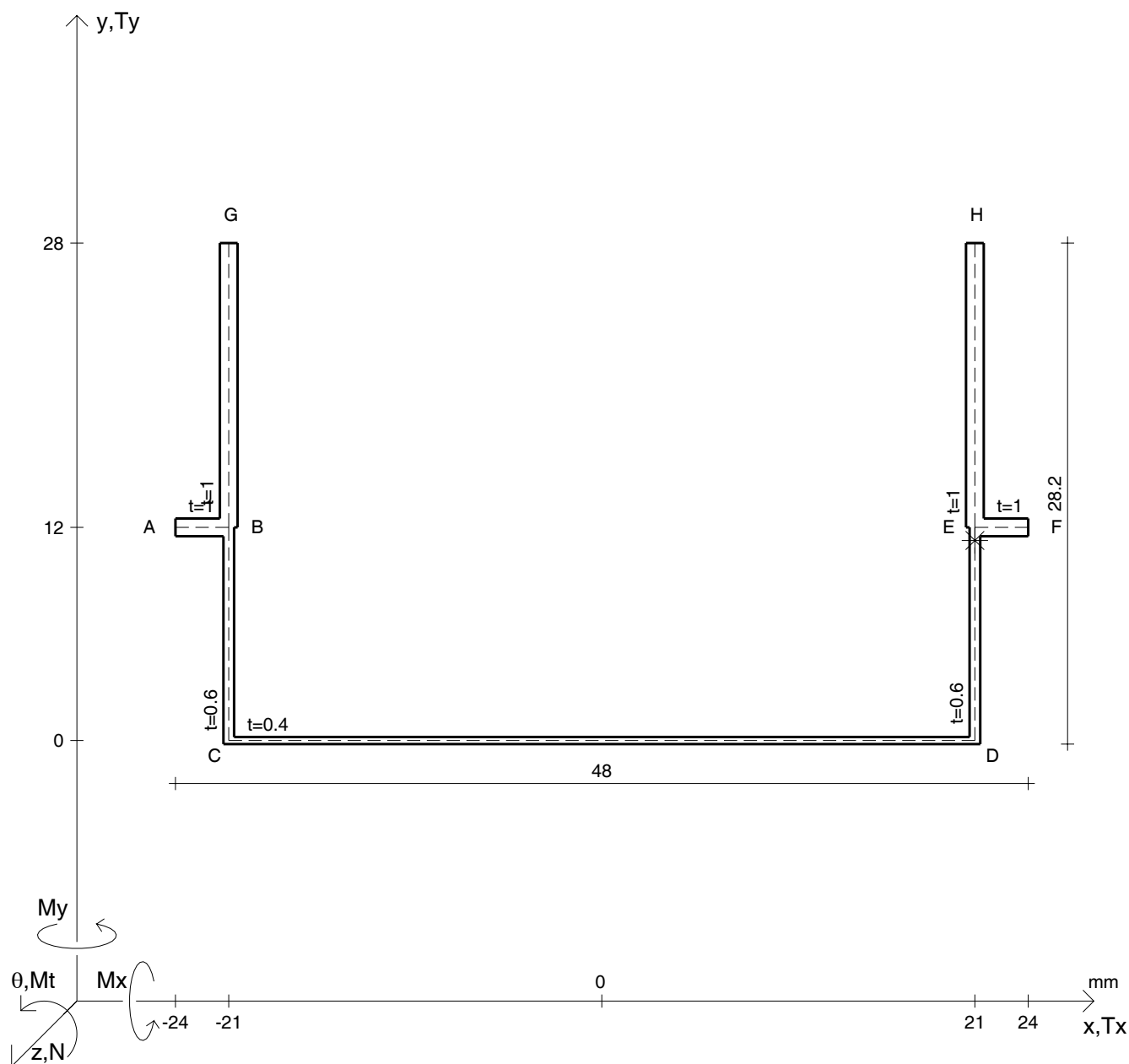
Operare le conclusioni sulla verifica di resistenza in *

Facoltativo: rappresentare l'asse neutro e l'andamento delle tens. normali.

Facoltativo: rappresentare l'andamento delle tens. tangenziali.

N	$= 6420 \text{ N}$	M_x	$= 38500 \text{ Nmm}$	G	$= 75000 \text{ N/mm}^2$
T_y	$= 1560 \text{ N}$	σ_a	$= 240 \text{ N/mm}^2$	σ_{ld}	$=$
M_t	$= 1230 \text{ Nmm}$	E	$= 200000 \text{ N/mm}^2$	σ_{lld}	$=$
y_G	$=$	$\tau(M_t)_d$	$=$	σ_{tresca}	$=$
u_o	$=$	$\tau(T_{yc})$	$=$	σ_{mises}	$=$
v_o	$=$	$\tau(T_{yb})_d$	$=$	$\sigma_{st.ven}$	$=$
A	$=$	$\tau(T_y)_s$	$=$	θ_t	$=$
C_w	$=$	$\tau(T_y)_d$	$=$	r_u	$=$
J_u	$=$	σ	$=$	r_v	$=$
J_v	$=$	τ_s	$=$	r_o	$=$
J_t	$=$	τ_d	$=$	J_p	$=$
$\sigma(N)$	$=$	σ_{ls}	$=$		
$\sigma(M_x)$	$=$	σ_{lls}	$=$		





Calcolo degli sforzi in * con forze baricentriche essendo * il punto E di DE

Rappresentare sul foglio, in scala: G, assi u,v, ellisse d'inertia, C.T.

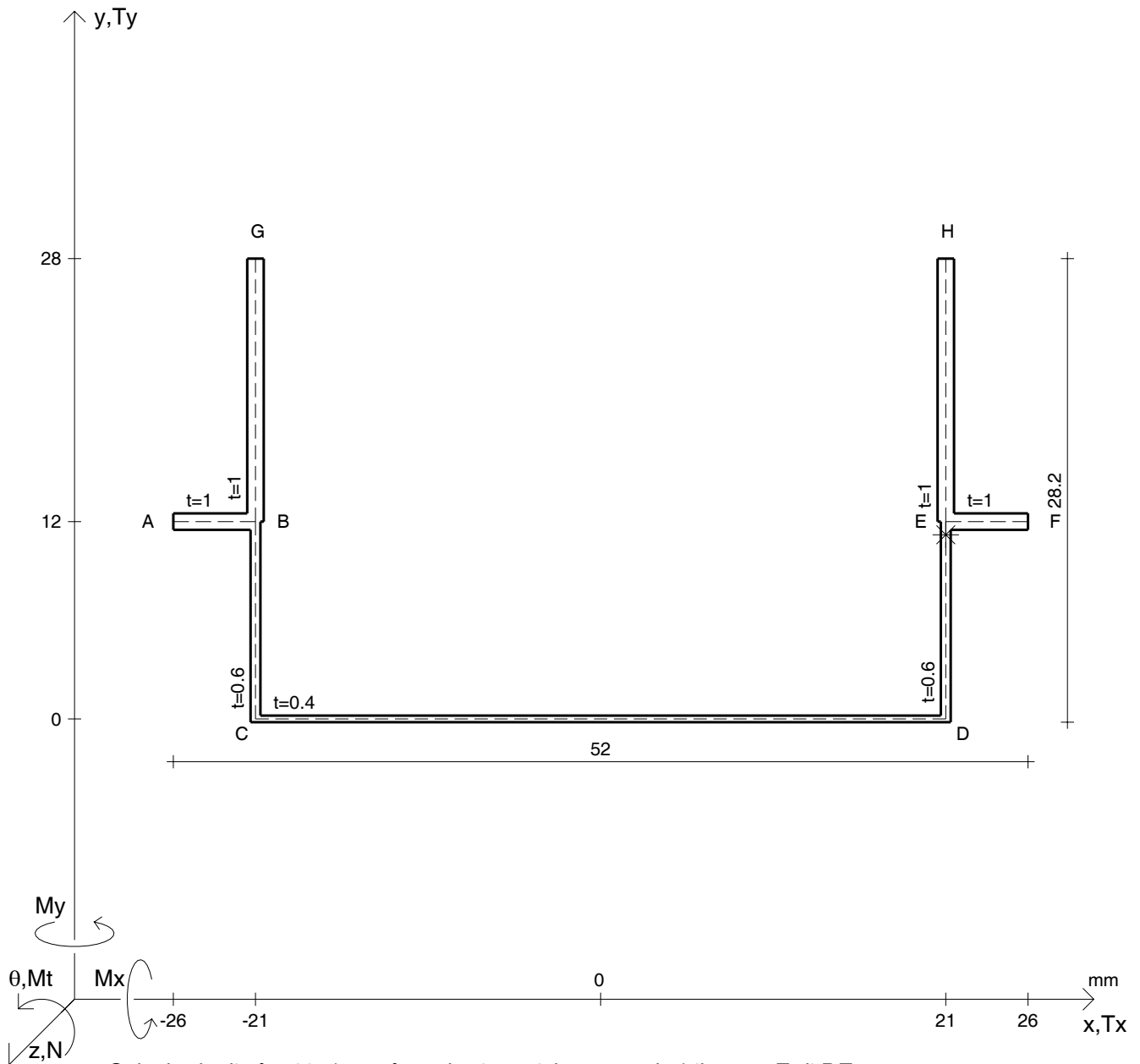
Rappresentare il cerchio di Mohr

Operare le conclusioni sulla verifica di resistenza in *

Facoltativo: rappresentare l'asse neutro e l'andamento delle tens. normali.

Facoltativo: rappresentare l'andamento delle tens. tangenziali.

N	$= 5470 \text{ N}$	M_x	$= 36100 \text{ Nmm}$	G	$= 75000 \text{ N/mm}^2$
T_y	$= 2080 \text{ N}$	σ_a	$= 240 \text{ N/mm}^2$		
M_t	$= 979 \text{ Nmm}$	E	$= 200000 \text{ N/mm}^2$		
y_G	$=$	$\tau(M_t)_d$	$=$	σ_{ld}	$=$
u_o	$=$	$\tau(T_{yc})$	$=$	σ_{lld}	$=$
v_o	$=$	$\tau(T_{yb})_d$	$=$	σ_{tresca}	$=$
A	$=$	$\tau(T_y)_s$	$=$	σ_{mises}	$=$
C_w	$=$	$\tau(T_y)_d$	$=$	$\sigma_{st.ven}$	$=$
J_u	$=$	σ	$=$	θ_t	$=$
J_v	$=$	τ_s	$=$	r_u	$=$
J_t	$=$	τ_d	$=$	r_v	$=$
$\sigma(N)$	$=$	σ_{ls}	$=$	r_o	$=$
$\sigma(M_x)$	$=$	σ_{lls}	$=$	J_p	$=$



Calcolo degli sforzi in * con forze baricentriche essendo * il punto E di DE

Rappresentare sul foglio, in scala: G, assi u,v, ellisse d'inertia, C.T.

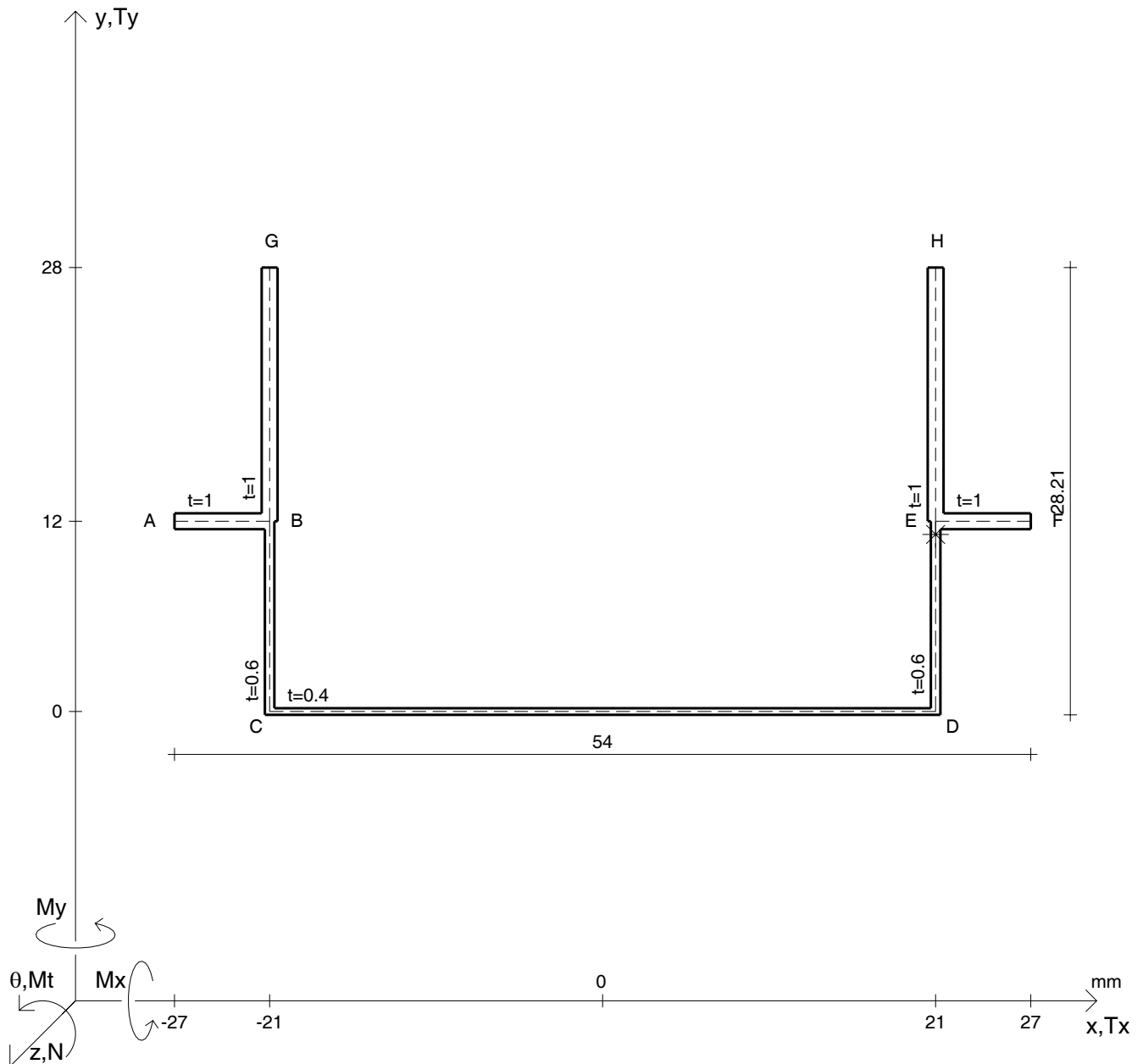
Rappresentare il cerchio di Mohr

Operare le conclusioni sulla verifica di resistenza in *

Facoltativo: rappresentare l'asse neutro e l'andamento delle tens. normali.

Facoltativo: rappresentare l'andamento delle tens. tangenziali.

N	$= 4690 \text{ N}$	M_x	$= 43700 \text{ Nmm}$	G	$= 75000 \text{ N/mm}^2$
T_y	$= 1710 \text{ N}$	σ_a	$= 240 \text{ N/mm}^2$	σ_{ld}	$=$
M_t	$= 1310 \text{ Nmm}$	E	$= 200000 \text{ N/mm}^2$	σ_{lld}	$=$
y_G	$=$	$\tau(M_t)_d$	$=$	σ_{tresca}	$=$
u_o	$=$	$\tau(T_{yc})$	$=$	σ_{mises}	$=$
v_o	$=$	$\tau(T_{yb})_d$	$=$	$\sigma_{st.ven}$	$=$
A	$=$	$\tau(T_y)_s$	$=$	θ_t	$=$
C_w	$=$	$\tau(T_y)_d$	$=$	r_u	$=$
J_u	$=$	σ	$=$	r_v	$=$
J_v	$=$	τ_s	$=$	r_o	$=$
J_t	$=$	τ_d	$=$	J_p	$=$
$\sigma(N)$	$=$	σ_{ls}	$=$		
$\sigma(M_x)$	$=$	σ_{lls}	$=$		



Calcolo degli sforzi in * con forze baricentriche essendo * il punto E di DE

Rappresentare sul foglio, in scala: G, assi u,v, ellisse d'inertia, C.T.

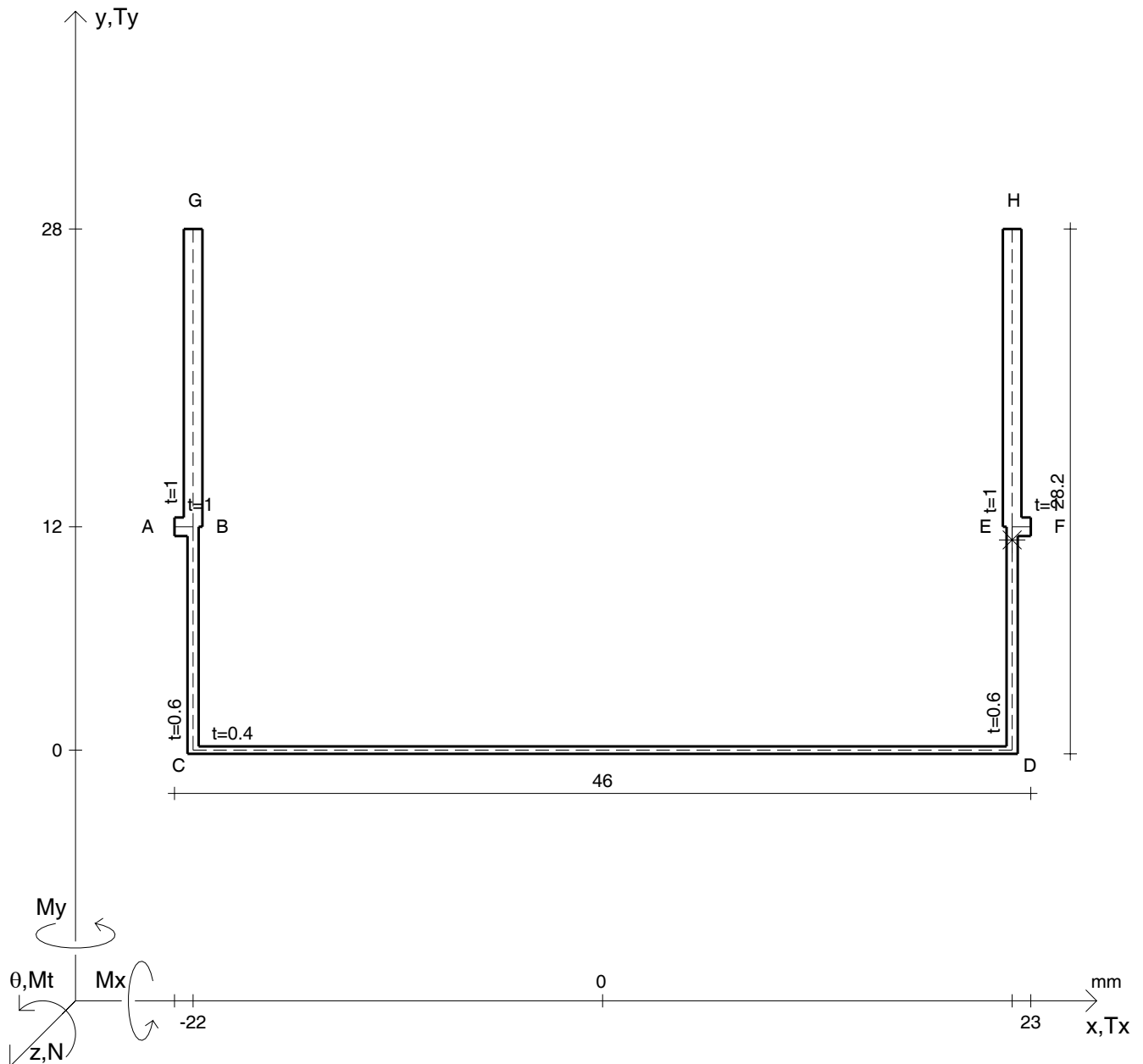
Rappresentare il cerchio di Mohr

Operare le conclusioni sulla verifica di resistenza in *

Facoltativo: rappresentare l'asse neutro e l'andamento delle tens. normali.

Facoltativo: rappresentare l'andamento delle tens. tangenziali.

N	$= 5390 \text{ N}$	M_x	$= 32200 \text{ Nmm}$	G	$= 75000 \text{ N/mm}^2$
T_y	$= 1890 \text{ N}$	σ_a	$= 240 \text{ N/mm}^2$	σ_{ld}	$=$
M_t	$= 1500 \text{ Nmm}$	E	$= 200000 \text{ N/mm}^2$	σ_{lld}	$=$
y_G	$=$	$\tau(M_t)_d$	$=$	σ_{tresca}	$=$
u_o	$=$	$\tau(T_{yc})$	$=$	σ_{mises}	$=$
v_o	$=$	$\tau(T_{yb})_d$	$=$	$\sigma_{st.ven}$	$=$
A	$=$	$\tau(T_y)_s$	$=$	θ_t	$=$
C_w	$=$	$\tau(T_y)_d$	$=$	r_u	$=$
J_u	$=$	σ	$=$	r_v	$=$
J_v	$=$	τ_s	$=$	r_o	$=$
J_t	$=$	τ_d	$=$	J_p	$=$
$\sigma(N)$	$=$	σ_{ls}	$=$		
$\sigma(M_x)$	$=$	σ_{lls}	$=$		



Calcolo degli sforzi in * con forze baricentriche essendo * il punto E di DE

Rappresentare sul foglio, in scala: G, assi u,v, ellisse d'inertia, C.T.

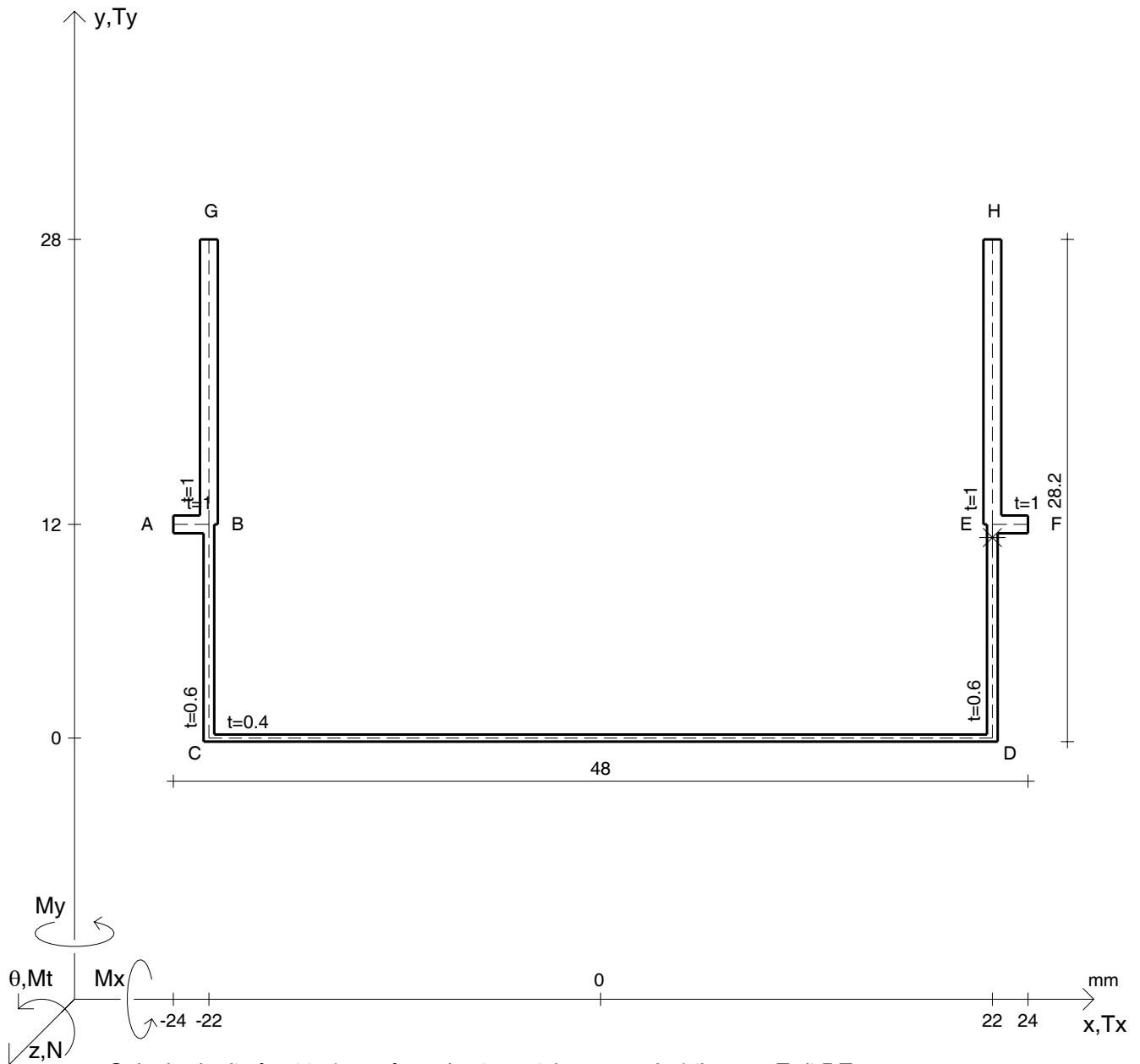
Rappresentare il cerchio di Mohr

Operare le conclusioni sulla verifica di resistenza in *

Facoltativo: rappresentare l'asse neutro e l'andamento delle tens. normali.

Facoltativo: rappresentare l'andamento delle tens. tangenziali.

N	$= 5240 \text{ N}$	M_x	$= 37400 \text{ Nmm}$	G	$= 75000 \text{ N/mm}^2$
T_y	$= 2060 \text{ N}$	σ_a	$= 240 \text{ N/mm}^2$		
M_t	$= 899 \text{ Nmm}$	E	$= 200000 \text{ N/mm}^2$		
y_G	$=$	$\tau(M_t)_d$	$=$	σ_{ld}	$=$
u_o	$=$	$\tau(T_{yc})$	$=$	σ_{lld}	$=$
v_o	$=$	$\tau(T_{yb})_d$	$=$	σ_{tresca}	$=$
A	$=$	$\tau(T_y)_s$	$=$	σ_{mises}	$=$
C_w	$=$	$\tau(T_y)_d$	$=$	$\sigma_{st.ven}$	$=$
J_u	$=$	σ	$=$	θ_t	$=$
J_v	$=$	τ_s	$=$	r_u	$=$
J_t	$=$	τ_d	$=$	r_v	$=$
$\sigma(N)$	$=$	σ_{ls}	$=$	r_o	$=$
$\sigma(M_x)$	$=$	σ_{lls}	$=$	J_p	$=$



Calcolo degli sforzi in * con forze baricentriche essendo * il punto E di DE

Rappresentare sul foglio, in scala: G, assi u,v, ellisse d'inertia, C.T.

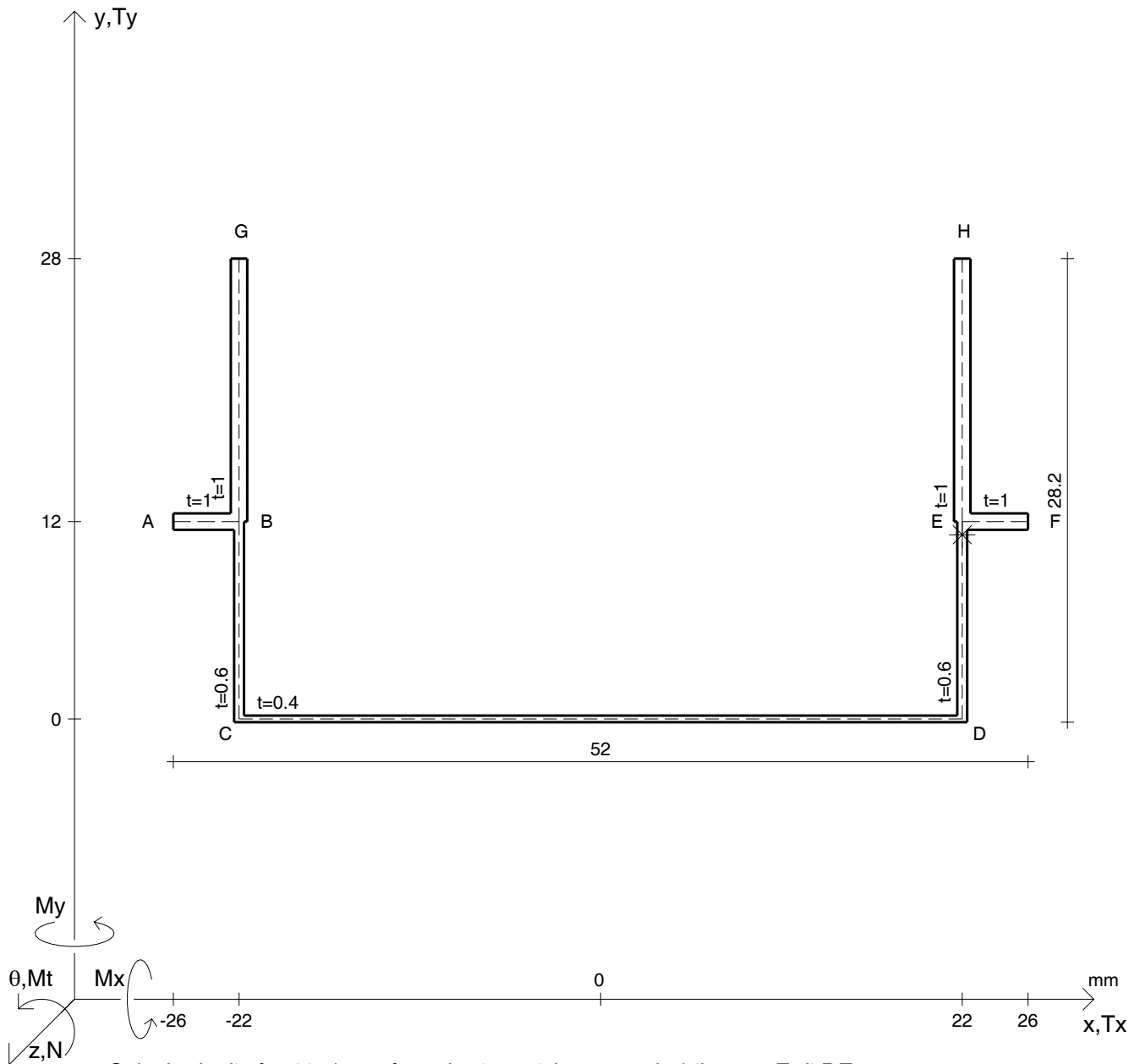
Rappresentare il cerchio di Mohr

Operare le conclusioni sulla verifica di resistenza in *

Facoltativo: rappresentare l'asse neutro e l'andamento delle tens. normali.

Facoltativo: rappresentare l'andamento delle tens. tangenziali.

N	$= 5910 \text{ N}$	M_x	$= 41300 \text{ Nmm}$	G	$= 75000 \text{ N/mm}^2$
T_y	$= 1520 \text{ N}$	σ_a	$= 240 \text{ N/mm}^2$	σ_{ld}	$=$
M_t	$= 1050 \text{ Nmm}$	E	$= 200000 \text{ N/mm}^2$	σ_{lld}	$=$
y_G	$=$	$\tau(M_t)_d$	$=$	σ_{tresca}	$=$
u_o	$=$	$\tau(T_{yc})$	$=$	σ_{mises}	$=$
v_o	$=$	$\tau(T_{yb})_d$	$=$	$\sigma_{st.ven}$	$=$
A	$=$	$\tau(T_y)_s$	$=$	θ_t	$=$
C_w	$=$	$\tau(T_y)_d$	$=$	r_u	$=$
J_u	$=$	σ	$=$	r_v	$=$
J_v	$=$	τ_s	$=$	r_o	$=$
J_t	$=$	τ_d	$=$	J_p	$=$
$\sigma(N)$	$=$	σ_{ls}	$=$		
$\sigma(M_x)$	$=$	σ_{lls}	$=$		



Calcolo degli sforzi in * con forze baricentriche essendo * il punto E di DE

Rappresentare sul foglio, in scala: G, assi u,v, ellisse d'inertia, C.T.

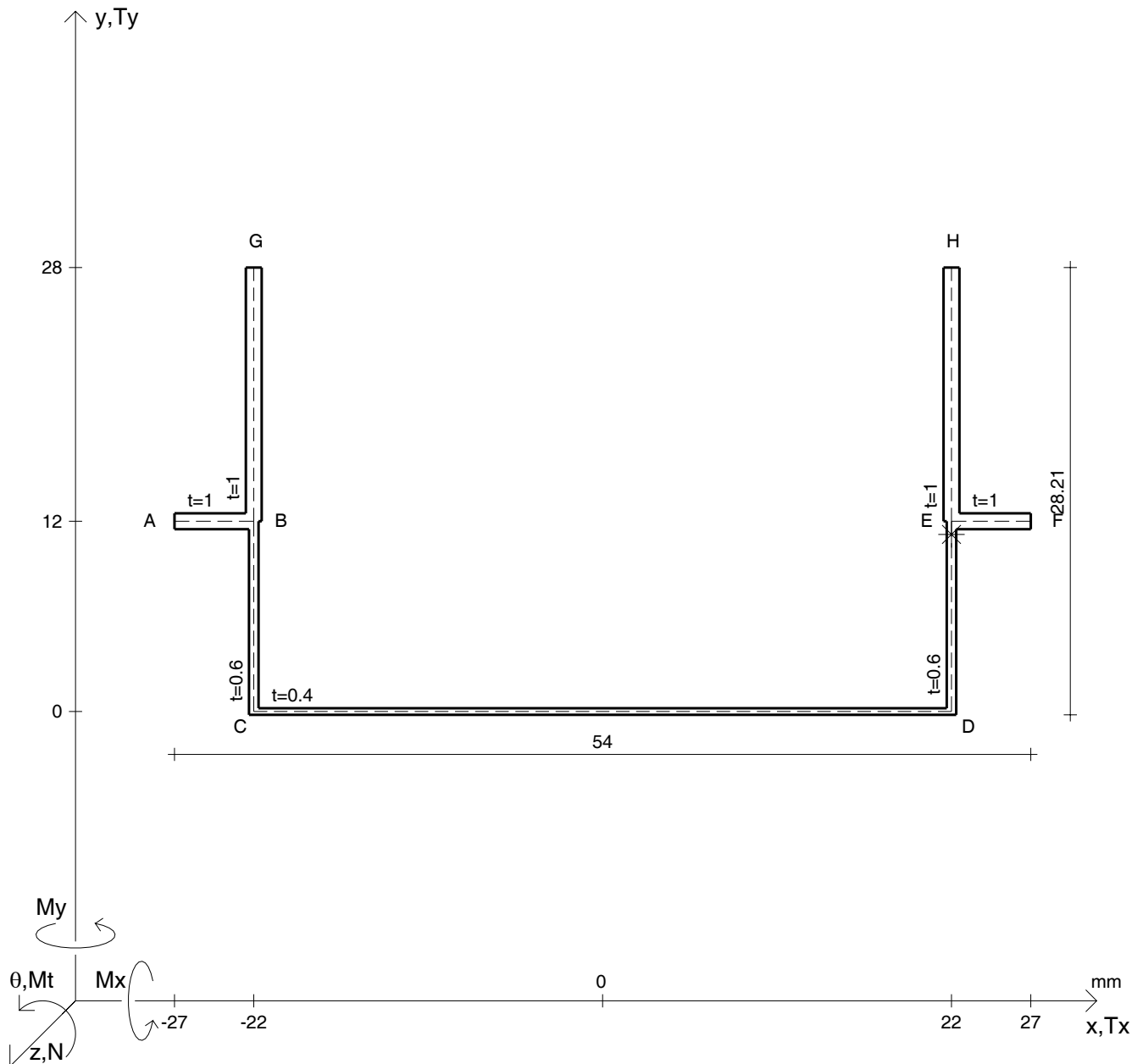
Rappresentare il cerchio di Mohr

Operare le conclusioni sulla verifica di resistenza in *

Facoltativo: rappresentare l'asse neutro e l'andamento delle tens. normali.

Facoltativo: rappresentare l'andamento delle tens. tangenziali.

N	$= 5170 \text{ N}$	M_x	$= 33400 \text{ Nmm}$	G	$= 75000 \text{ N/mm}^2$
T_y	$= 1870 \text{ N}$	σ_a	$= 240 \text{ N/mm}^2$	σ_{ld}	$=$
M_t	$= -1390 \text{ Nmm}$	E	$= 200000 \text{ N/mm}^2$	σ_{lld}	$=$
y_G	$=$	$\tau(M_t)_d$	$=$	σ_{tresca}	$=$
u_o	$=$	$\tau(T_{yc})$	$=$	σ_{mises}	$=$
v_o	$=$	$\tau(T_{yb})_d$	$=$	$\sigma_{st.ven}$	$=$
A	$=$	$\tau(T_y)_s$	$=$	θ_t	$=$
C_w	$=$	$\tau(T_y)_d$	$=$	r_u	$=$
J_u	$=$	σ	$=$	r_v	$=$
J_v	$=$	τ_s	$=$	r_o	$=$
J_t	$=$	τ_d	$=$	J_p	$=$
$\sigma(N)$	$=$	σ_{ls}	$=$		
$\sigma(M_x)$	$=$	σ_{lls}	$=$		



Calcolo degli sforzi in * con forze baricentriche essendo * il punto E di DE

Rappresentare sul foglio, in scala: G, assi u,v, ellisse d'inertia, C.T.

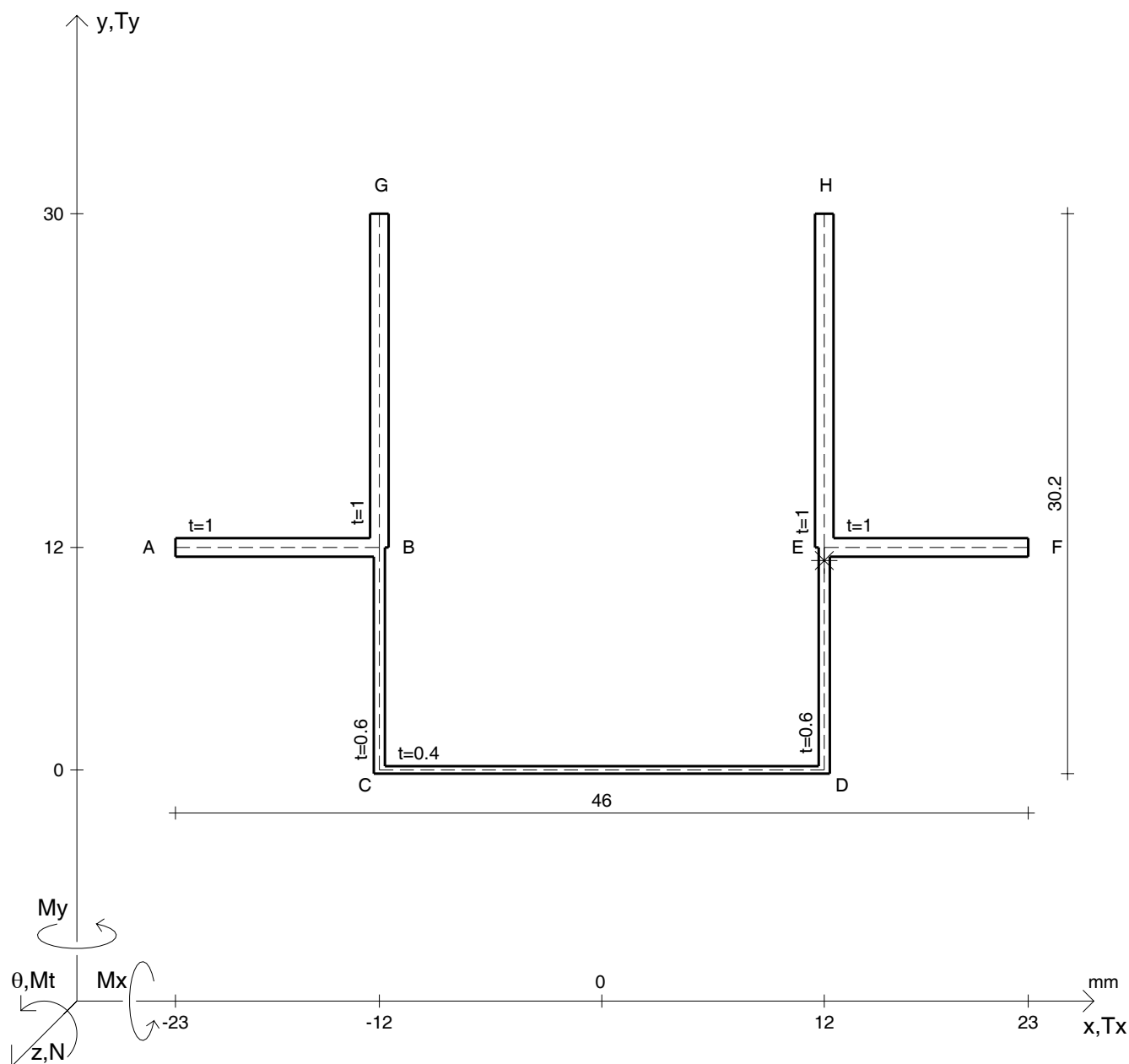
Rappresentare il cerchio di Mohr

Operare le conclusioni sulla verifica di resistenza in *

Facoltativo: rappresentare l'asse neutro e l'andamento delle tens. normali.

Facoltativo: rappresentare l'andamento delle tens. tangenziali.

N	$= 5880 \text{ N}$	M_x	$= 37300 \text{ Nmm}$	G	$= 75000 \text{ N/mm}^2$
T_y	$= 2050 \text{ N}$	σ_a	$= 240 \text{ N/mm}^2$	σ_{ld}	$=$
M_t	$= 1070 \text{ Nmm}$	E	$= 200000 \text{ N/mm}^2$	σ_{lld}	$=$
y_G	$=$	$\tau(M_t)_d$	$=$	σ_{tresca}	$=$
u_o	$=$	$\tau(T_{yc})$	$=$	σ_{mises}	$=$
v_o	$=$	$\tau(T_{yb})_d$	$=$	$\sigma_{st.ven}$	$=$
A	$=$	$\tau(T_y)_s$	$=$	θ_t	$=$
C_w	$=$	$\tau(T_y)_d$	$=$	r_u	$=$
J_u	$=$	σ	$=$	r_v	$=$
J_v	$=$	τ_s	$=$	r_o	$=$
J_t	$=$	τ_d	$=$	J_p	$=$
$\sigma(N)$	$=$	σ_{ls}	$=$		
$\sigma(M_x)$	$=$	σ_{lls}	$=$		



Calcolo degli sforzi in * con forze baricentriche essendo * il punto E di DE

Rappresentare sul foglio, in scala: G, assi u,v, ellisse d'inertia, C.T.

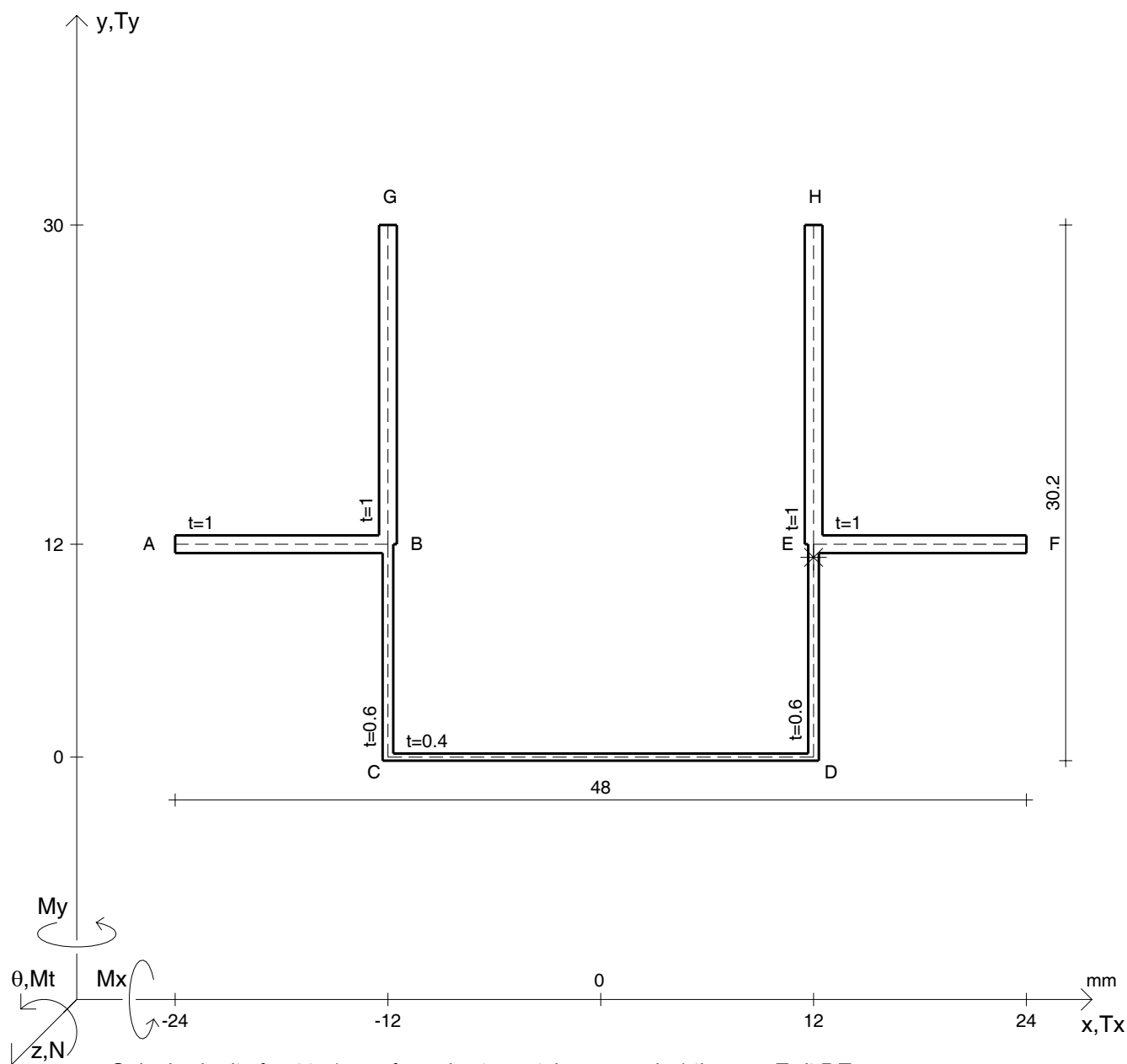
Rappresentare il cerchio di Mohr

Operare le conclusioni sulla verifica di resistenza in *

Facoltativo: rappresentare l'asse neutro e l'andamento delle tens. normali.

Facoltativo: rappresentare l'andamento delle tens. tangenziali.

N	$= 7120 \text{ N}$	M_x	$= 33900 \text{ Nmm}$	G	$= 75000 \text{ N/mm}^2$
T_y	$= 1870 \text{ N}$	σ_a	$= 240 \text{ N/mm}^2$	σ_{ld}	$=$
M_t	$= 1540 \text{ Nmm}$	E	$= 200000 \text{ N/mm}^2$	σ_{lld}	$=$
y_G	$=$	$\tau(M_t)_d$	$=$	σ_{tresca}	$=$
u_o	$=$	$\tau(T_{yc})$	$=$	σ_{mises}	$=$
v_o	$=$	$\tau(T_{yb})_d$	$=$	$\sigma_{st.ven}$	$=$
A	$=$	$\tau(T_y)_s$	$=$	θ_t	$=$
C_w	$=$	$\tau(T_y)_d$	$=$	r_u	$=$
J_u	$=$	σ	$=$	r_v	$=$
J_v	$=$	τ_s	$=$	r_o	$=$
J_t	$=$	τ_d	$=$	J_p	$=$
$\sigma(N)$	$=$	σ_{ls}	$=$		
$\sigma(M_x)$	$=$	σ_{lls}	$=$		



Calcolo degli sforzi in * con forze baricentriche essendo * il punto E di DE

Rappresentare sul foglio, in scala: G, assi u,v, ellisse d'inertia, C.T.

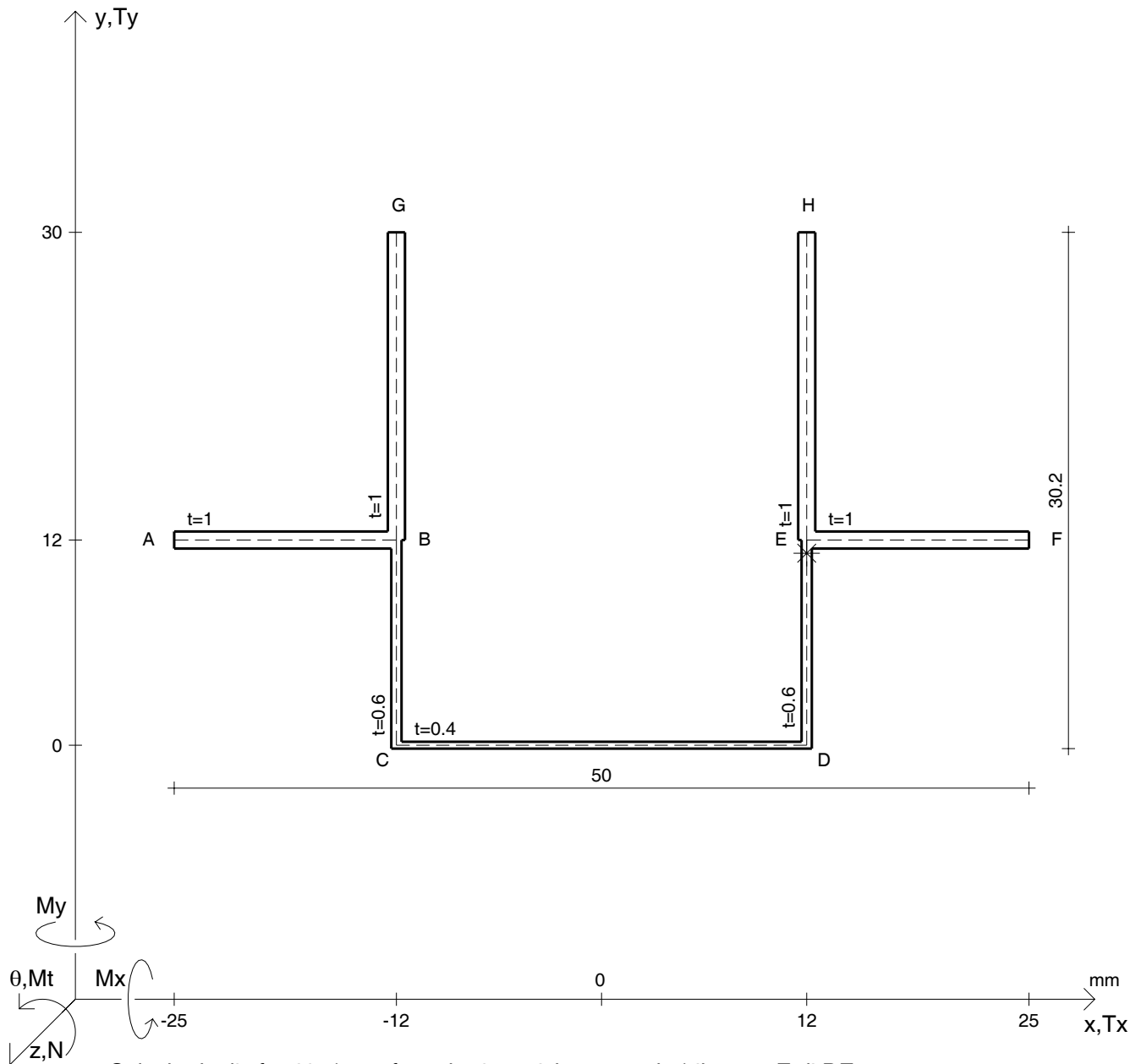
Rappresentare il cerchio di Mohr

Operare le conclusioni sulla verifica di resistenza in *

Facoltativo: rappresentare l'asse neutro e l'andamento delle tens. normali.

Facoltativo: rappresentare l'andamento delle tens. tangenziali.

N	= 5380 N	M_x	= 37200 Nmm	G	= 75000 N/mm ²
T_y	= 2100 N	σ_a	= 240 N/mm ²		
M_t	= 1760 Nmm	E	= 200000 N/mm ²		
y_G	=	$\tau(M_t)_d$	=	σ_{ld}	=
u_o	=	$\tau(T_{yc})$	=	σ_{lld}	=
v_o	=	$\tau(T_{yb})_d$	=	σ_{tresca}	=
A	=	$\tau(T_y)_s$	=	σ_{mises}	=
C_w	=	$\tau(T_y)_d$	=	$\sigma_{st.ven}$	=
J_u	=	σ	=	θ_t	=
J_v	=	τ_s	=	r_u	=
J_t	=	τ_d	=	r_v	=
$\sigma(N)$	=	σ_{ls}	=	r_o	=
$\sigma(M_x)$	=	σ_{lls}	=	J_p	=



Calcolo degli sforzi in * con forze baricentriche essendo * il punto E di DE

Rappresentare sul foglio, in scala: G, assi u,v, ellisse d'inertia, C.T.

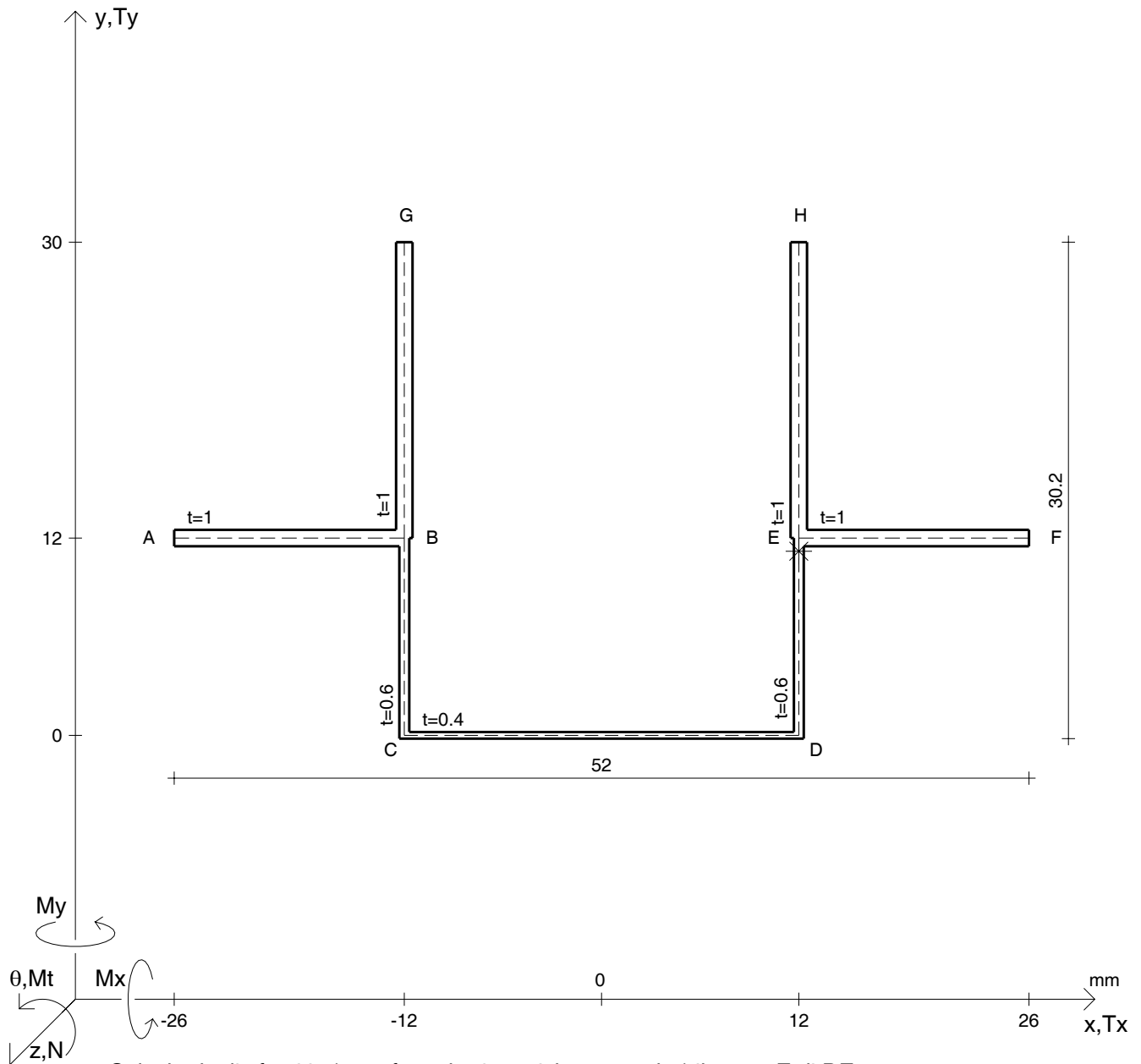
Rappresentare il cerchio di Mohr

Operare le conclusioni sulla verifica di resistenza in *

Facoltativo: rappresentare l'asse neutro e l'andamento delle tens. normali.

Facoltativo: rappresentare l'andamento delle tens. tangenziali.

N	$= 6160 \text{ N}$	M_x	$= 27600 \text{ Nmm}$	G	$= 75000 \text{ N/mm}^2$
T_y	$= 2330 \text{ N}$	σ_a	$= 240 \text{ N/mm}^2$	σ_{ld}	$=$
M_t	$= 1980 \text{ Nmm}$	E	$= 200000 \text{ N/mm}^2$	σ_{lld}	$=$
y_G	$=$	$\tau(M_t)_d$	$=$	σ_{tresca}	$=$
u_o	$=$	$\tau(T_{yc})$	$=$	σ_{mises}	$=$
v_o	$=$	$\tau(T_{yb})_d$	$=$	$\sigma_{st.ven}$	$=$
A	$=$	$\tau(T_y)_s$	$=$	θ_t	$=$
C_w	$=$	$\tau(T_y)_d$	$=$	r_u	$=$
J_u	$=$	σ	$=$	r_v	$=$
J_v	$=$	τ_s	$=$	r_o	$=$
J_t	$=$	τ_d	$=$	J_p	$=$
$\sigma(N)$	$=$	σ_{ls}	$=$		
$\sigma(M_x)$	$=$	σ_{lls}	$=$		



Calcolo degli sforzi in * con forze baricentriche essendo * il punto E di DE

Rappresentare sul foglio, in scala: G, assi u,v, ellisse d'inertia, C.T.

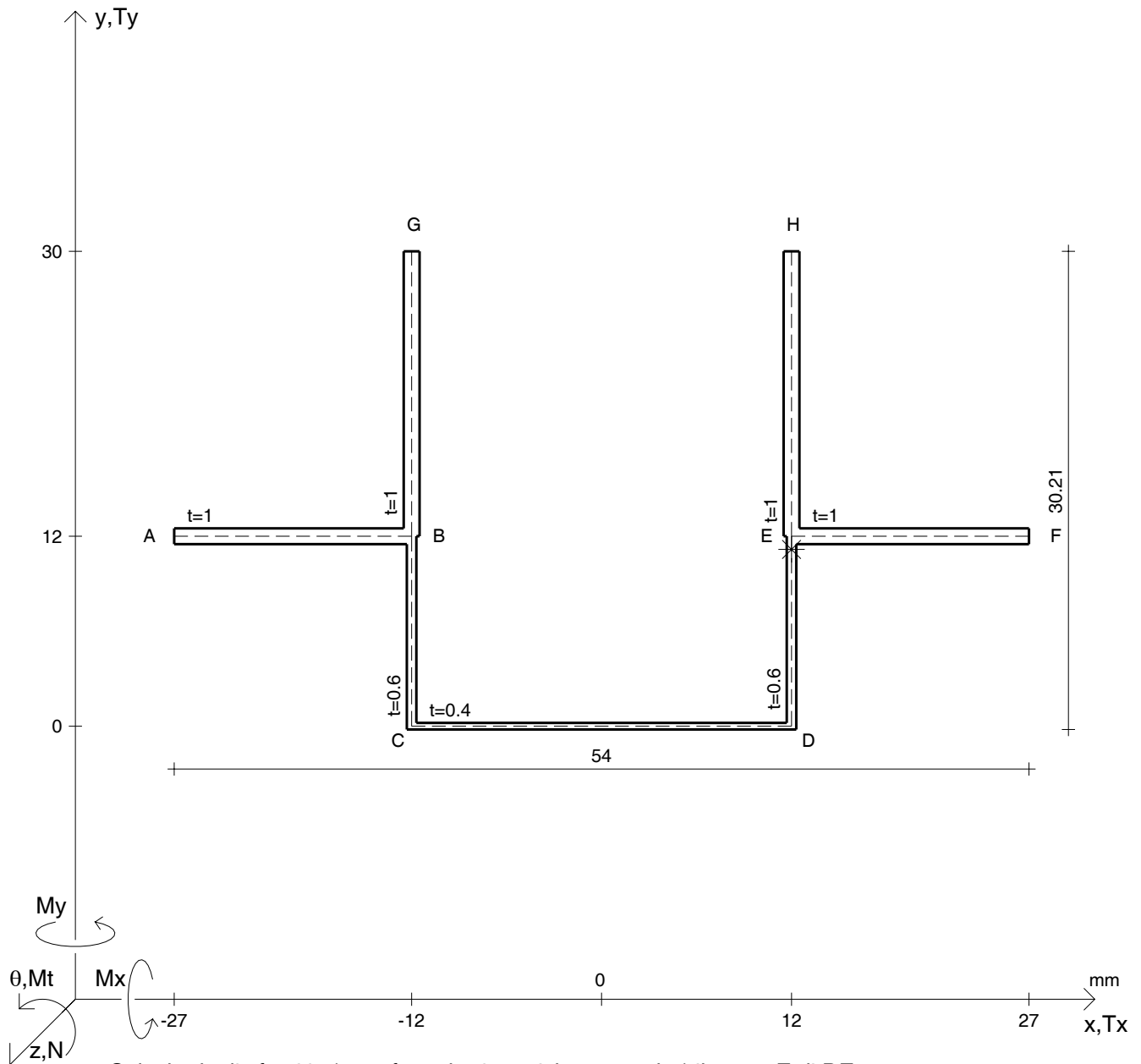
Rappresentare il cerchio di Mohr

Operare le conclusioni sulla verifica di resistenza in *

Facoltativo: rappresentare l'asse neutro e l'andamento delle tens. normali.

Facoltativo: rappresentare l'andamento delle tens. tangenziali.

N	$= 6960 \text{ N}$	M_x	$= 30900 \text{ Nmm}$	G	$= 75000 \text{ N/mm}^2$
T_y	$= 2560 \text{ N}$	σ_a	$= 240 \text{ N/mm}^2$	σ_{ld}	$=$
M_t	$= 1510 \text{ Nmm}$	E	$= 200000 \text{ N/mm}^2$	σ_{lld}	$=$
y_G	$=$	$\tau(M_t)_d$	$=$	σ_{tresca}	$=$
u_o	$=$	$\tau(T_{yc})$	$=$	σ_{mises}	$=$
v_o	$=$	$\tau(T_{yb})_d$	$=$	$\sigma_{st.ven}$	$=$
A	$=$	$\tau(T_y)_s$	$=$	θ_t	$=$
C_w	$=$	$\tau(T_y)_d$	$=$	r_u	$=$
J_u	$=$	σ	$=$	r_v	$=$
J_v	$=$	τ_s	$=$	r_o	$=$
J_t	$=$	τ_d	$=$	J_p	$=$
$\sigma(N)$	$=$	σ_{ls}	$=$		
$\sigma(M_x)$	$=$	σ_{lls}	$=$		



Calcolo degli sforzi in * con forze baricentriche essendo * il punto E di DE

Rappresentare sul foglio, in scala: G, assi u,v, ellisse d'inertia, C.T.

Rappresentare il cerchio di Mohr

Operare le conclusioni sulla verifica di resistenza in *

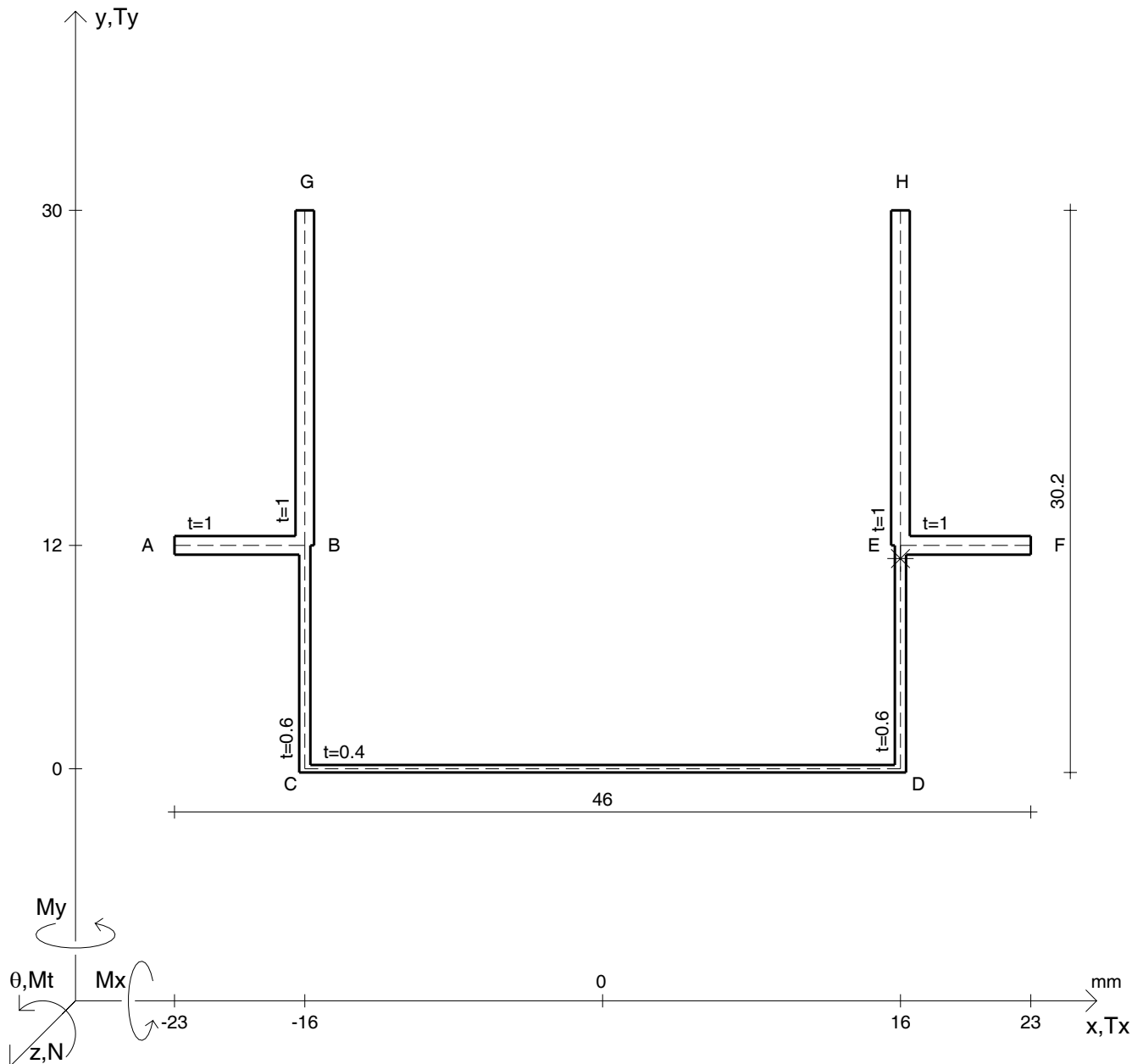
Facoltativo: rappresentare l'asse neutro e l'andamento delle tens. normali.

Facoltativo: rappresentare l'andamento delle tens. tangenziali.

$N = 7790 \text{ N}$
 $T_y = 1900 \text{ N}$
 $M_t = 1730 \text{ Nmm}$
 $y_G =$
 $u_o =$
 $v_o =$
 $A =$
 $C_w =$
 $J_u =$
 $J_v =$
 $J_t =$
 $\sigma(N) =$
 $\sigma(M_x) =$

$M_x = 34300 \text{ Nmm}$
 $\sigma_a = 240 \text{ N/mm}^2$
 $E = 200000 \text{ N/mm}^2$
 $\tau(M_t)_d =$
 $\tau(T_{yc}) =$
 $\tau(T_{yb})_d =$
 $\tau(T_y)_s =$
 $\tau(T_y)_d =$
 $\sigma =$
 $\tau_s =$
 $\tau_d =$
 $\sigma_{ls} =$
 $\sigma_{lls} =$

$G = 75000 \text{ N/mm}^2$
 $\sigma_{ld} =$
 $\sigma_{lld} =$
 $\sigma_{tresca} =$
 $\sigma_{mises} =$
 $\sigma_{st.ven} =$
 $\theta_t =$
 $r_u =$
 $r_v =$
 $r_o =$
 $J_p =$



Calcolo degli sforzi in * con forze baricentriche essendo * il punto E di DE

Rappresentare sul foglio, in scala: G, assi u,v, ellisse d'inerzia, C.T.

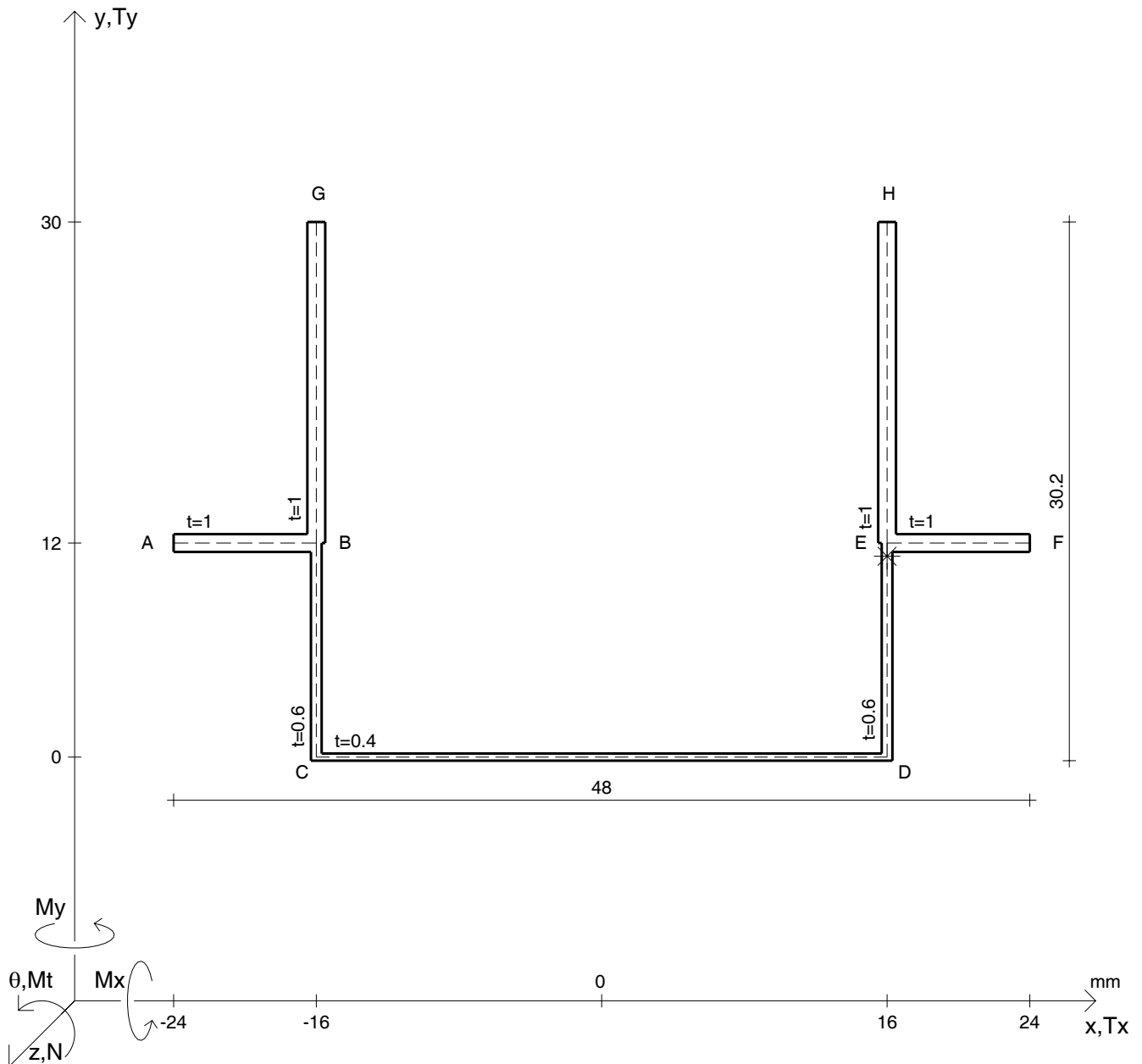
Rappresentare il cerchio di Mohr

Operare le conclusioni sulla verifica di resistenza in *

Facoltativo: rappresentare l'asse neutro e l'andamento delle tens. normali.

Facoltativo: rappresentare l'andamento delle tens. tangenziali.

N	$= 4910 \text{ N}$	M_x	$= 41600 \text{ Nmm}$	G	$= 75000 \text{ N/mm}^2$
T_y	$= 2000 \text{ N}$	σ_a	$= 240 \text{ N/mm}^2$	σ_{ld}	$=$
M_t	$= 1500 \text{ Nmm}$	E	$= 200000 \text{ N/mm}^2$	σ_{lld}	$=$
y_G	$=$	$\tau(M_t)_d$	$=$	σ_{tresca}	$=$
u_o	$=$	$\tau(T_{yc})$	$=$	σ_{mises}	$=$
v_o	$=$	$\tau(T_{yb})_d$	$=$	$\sigma_{st.ven}$	$=$
A	$=$	$\tau(T_y)_s$	$=$	θ_t	$=$
C_w	$=$	$\tau(T_y)_d$	$=$	r_u	$=$
J_u	$=$	σ	$=$	r_v	$=$
J_v	$=$	τ_s	$=$	r_o	$=$
J_t	$=$	τ_d	$=$	J_p	$=$
$\sigma(N)$	$=$	σ_{ls}	$=$		
$\sigma(M_x)$	$=$	σ_{lls}	$=$		



Calcolo degli sforzi in * con forze baricentriche essendo * il punto E di DE

Rappresentare sul foglio, in scala: G, assi u,v, ellisse d'inertia, C.T.

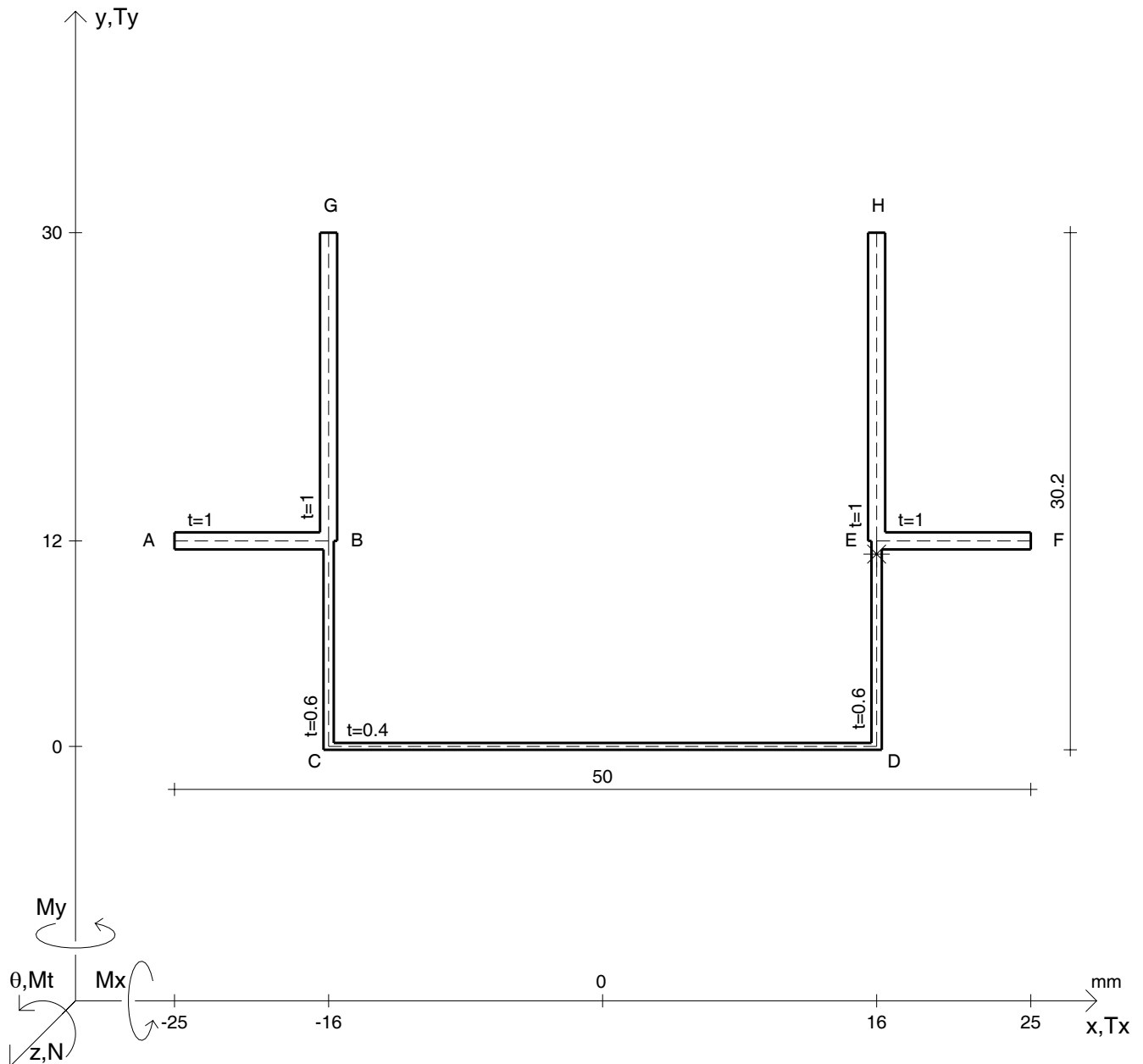
Rappresentare il cerchio di Mohr

Operare le conclusioni sulla verifica di resistenza in *

Facoltativo: rappresentare l'asse neutro e l'andamento delle tens. normali.

Facoltativo: rappresentare l'andamento delle tens. tangenziali.

N	$= 5630 \text{ N}$	M_x	$= 30800 \text{ Nmm}$	G	$= 75000 \text{ N/mm}^2$
T_y	$= 2220 \text{ N}$	σ_a	$= 240 \text{ N/mm}^2$	σ_{ld}	$=$
M_t	$= 1700 \text{ Nmm}$	E	$= 200000 \text{ N/mm}^2$	σ_{lld}	$=$
y_G	$=$	$\tau(M_t)_d$	$=$	σ_{tresca}	$=$
u_o	$=$	$\tau(T_{yc})$	$=$	σ_{mises}	$=$
v_o	$=$	$\tau(T_{yb})_d$	$=$	$\sigma_{st.ven}$	$=$
A	$=$	$\tau(T_y)_s$	$=$	θ_t	$=$
C_w	$=$	$\tau(T_y)_d$	$=$	r_u	$=$
J_u	$=$	σ	$=$	r_v	$=$
J_v	$=$	τ_s	$=$	r_o	$=$
J_t	$=$	τ_d	$=$	J_p	$=$
$\sigma(N)$	$=$	σ_{ls}	$=$		
$\sigma(M_x)$	$=$	σ_{lls}	$=$		



Calcolo degli sforzi in * con forze baricentriche essendo * il punto E di DE

Rappresentare sul foglio, in scala: G, assi u,v, ellisse d'inertia, C.T.

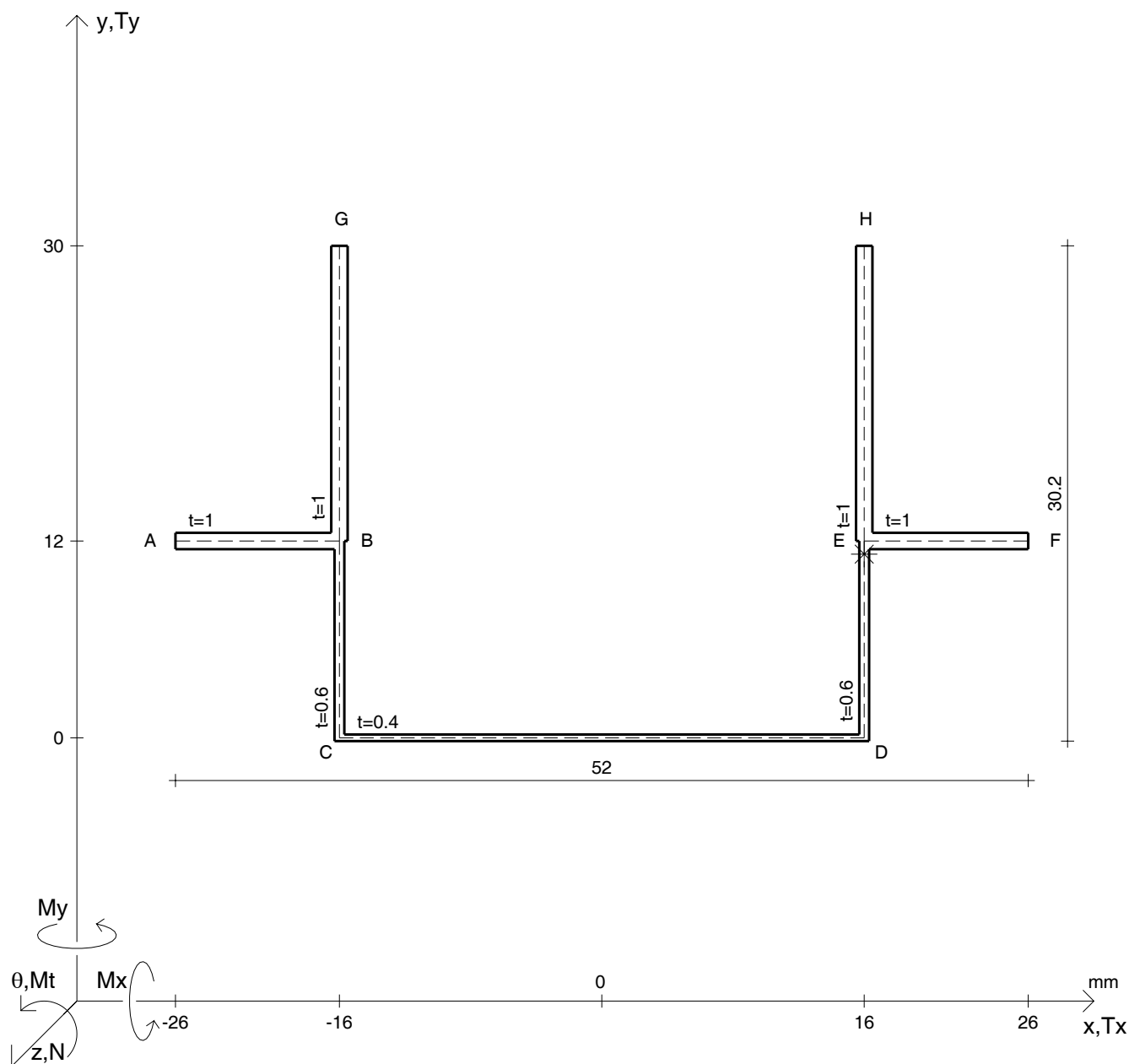
Rappresentare il cerchio di Mohr

Operare le conclusioni sulla verifica di resistenza in *

Facoltativo: rappresentare l'asse neutro e l'andamento delle tens. normali.

Facoltativo: rappresentare l'andamento delle tens. tangenziali.

N	$= 6380 \text{ N}$	M_x	$= 34500 \text{ Nmm}$	G	$= 75000 \text{ N/mm}^2$
T_y	$= 2440 \text{ N}$	σ_a	$= 240 \text{ N/mm}^2$		
M_t	$= 1290 \text{ Nmm}$	E	$= 200000 \text{ N/mm}^2$		
y_G	$=$	$\tau(M_t)_d$	$=$	σ_{ld}	$=$
u_o	$=$	$\tau(T_{yc})$	$=$	σ_{lld}	$=$
v_o	$=$	$\tau(T_{yb})_d$	$=$	σ_{tresca}	$=$
A	$=$	$\tau(T_y)_s$	$=$	σ_{mises}	$=$
C_w	$=$	$\tau(T_y)_d$	$=$	$\sigma_{st.ven}$	$=$
J_u	$=$	σ	$=$	θ_t	$=$
J_v	$=$	τ_s	$=$	r_u	$=$
J_t	$=$	τ_d	$=$	r_v	$=$
$\sigma(N)$	$=$	σ_{ls}	$=$	r_o	$=$
$\sigma(M_x)$	$=$	σ_{lls}	$=$	J_p	$=$



Calcolo degli sforzi in * con forze baricentriche essendo * il punto E di DE

Rappresentare sul foglio, in scala: G, assi u,v, ellisse d'inertia, C.T.

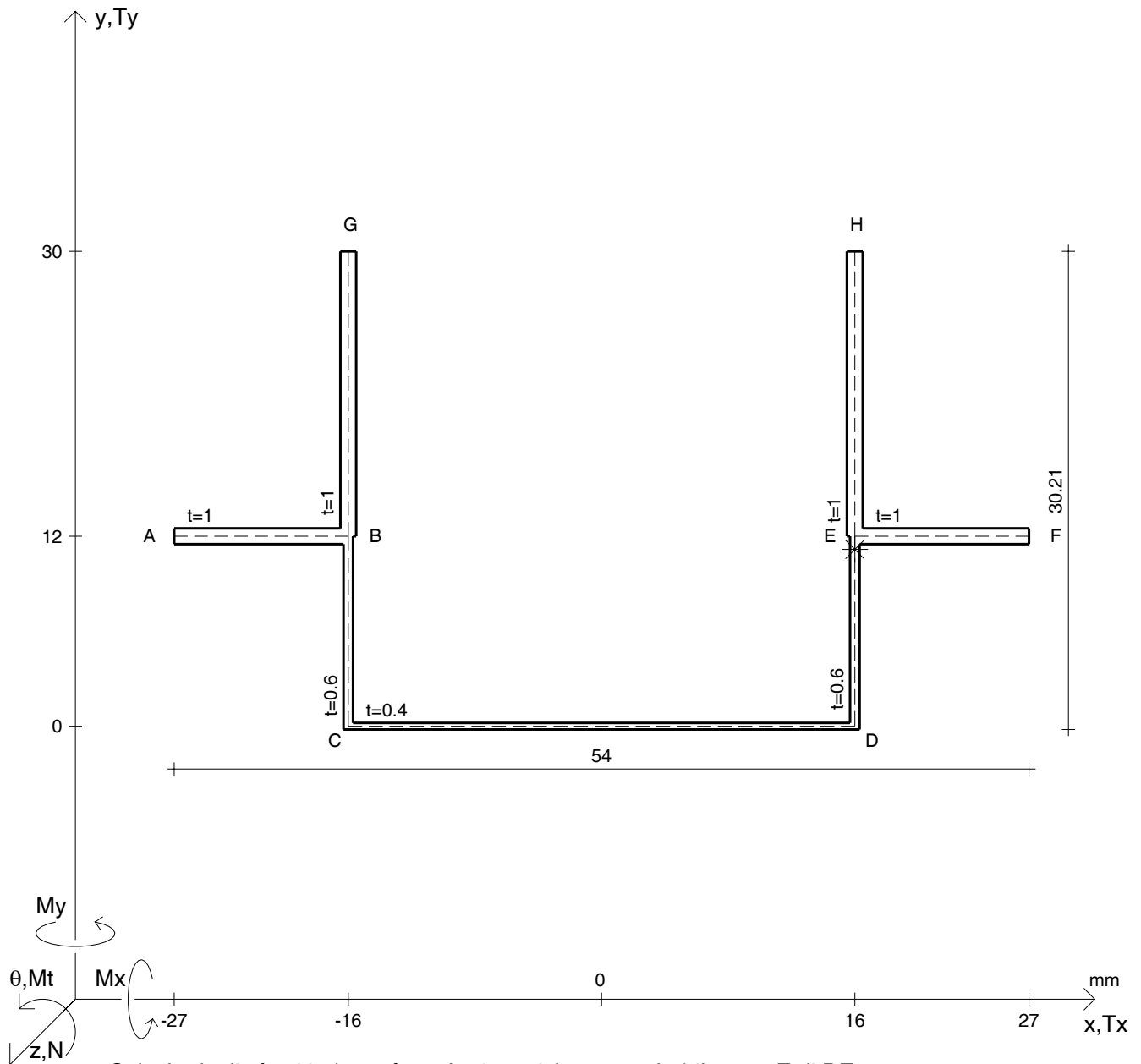
Rappresentare il cerchio di Mohr

Operare le conclusioni sulla verifica di resistenza in *

Facoltativo: rappresentare l'asse neutro e l'andamento delle tens. normali.

Facoltativo: rappresentare l'andamento delle tens. tangenziali.

N	$= 7160 \text{ N}$	M_x	$= 38200 \text{ Nmm}$	G	$= 75000 \text{ N/mm}^2$
T_y	$= 1800 \text{ N}$	σ_a	$= 240 \text{ N/mm}^2$	σ_{ld}	$=$
M_t	$= -1490 \text{ Nmm}$	E	$= 200000 \text{ N/mm}^2$	σ_{lld}	$=$
y_G	$=$	$\tau(M_t)_d$	$=$	σ_{tresca}	$=$
u_o	$=$	$\tau(T_{yc})$	$=$	σ_{mises}	$=$
v_o	$=$	$\tau(T_{yb})_d$	$=$	$\sigma_{st.ven}$	$=$
A	$=$	$\tau(T_y)_s$	$=$	θ_t	$=$
C_w	$=$	$\tau(T_y)_d$	$=$	r_u	$=$
J_u	$=$	σ	$=$	r_v	$=$
J_v	$=$	τ_s	$=$	r_o	$=$
J_t	$=$	τ_d	$=$	J_p	$=$
$\sigma(N)$	$=$	σ_{ls}	$=$		
$\sigma(M_x)$	$=$	σ_{lls}	$=$		



Calcolo degli sforzi in * con forze baricentriche essendo * il punto E di DE

Rappresentare sul foglio, in scala: G, assi u,v, ellisse d'inertia, C.T.

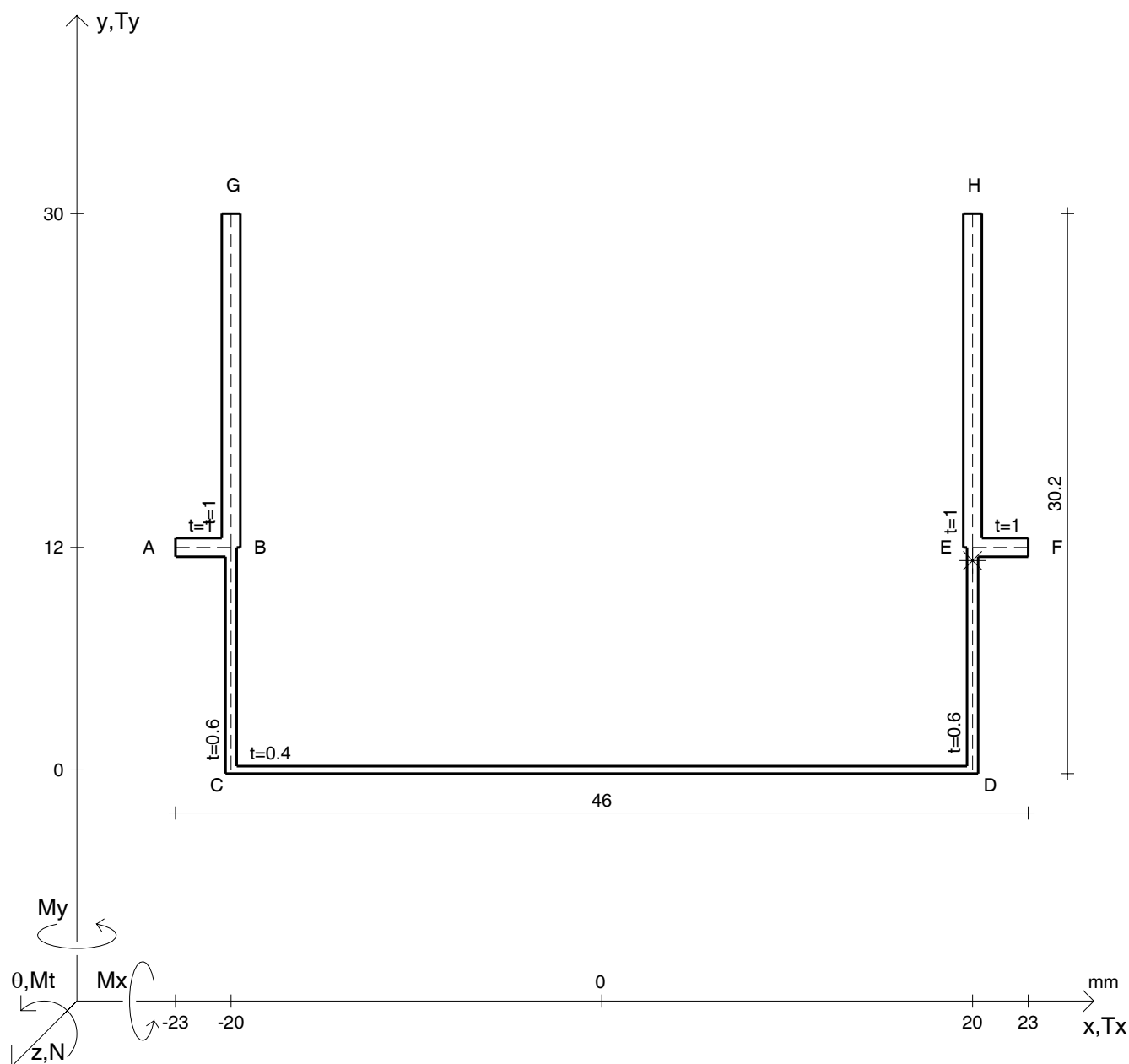
Rappresentare il cerchio di Mohr

Operare le conclusioni sulla verifica di resistenza in *

Facoltativo: rappresentare l'asse neutro e l'andamento delle tens. normali.

Facoltativo: rappresentare l'andamento delle tens. tangenziali.

N	$= 5410 \text{ N}$	M_x	$= 41900 \text{ Nmm}$	G	$= 75000 \text{ N/mm}^2$
T_y	$= 2020 \text{ N}$	σ_a	$= 240 \text{ N/mm}^2$	σ_{ld}	$=$
M_t	$= -1700 \text{ Nmm}$	E	$= 200000 \text{ N/mm}^2$	σ_{lld}	$=$
y_G	$=$	$\tau(M_t)_d$	$=$	σ_{tresca}	$=$
u_o	$=$	$\tau(T_{yc})$	$=$	σ_{mises}	$=$
v_o	$=$	$\tau(T_{yb})_d$	$=$	$\sigma_{st.ven}$	$=$
A	$=$	$\tau(T_y)_s$	$=$	θ_t	$=$
C_w	$=$	$\tau(T_y)_d$	$=$	r_u	$=$
J_u	$=$	σ	$=$	r_v	$=$
J_v	$=$	τ_s	$=$	r_o	$=$
J_t	$=$	τ_d	$=$	J_p	$=$
$\sigma(N)$	$=$	σ_{ls}	$=$		
$\sigma(M_x)$	$=$	σ_{lls}	$=$		



Calcolo degli sforzi in * con forze baricentriche essendo * il punto E di DE

Rappresentare sul foglio, in scala: G, assi u,v, ellisse d'inertia, C.T.

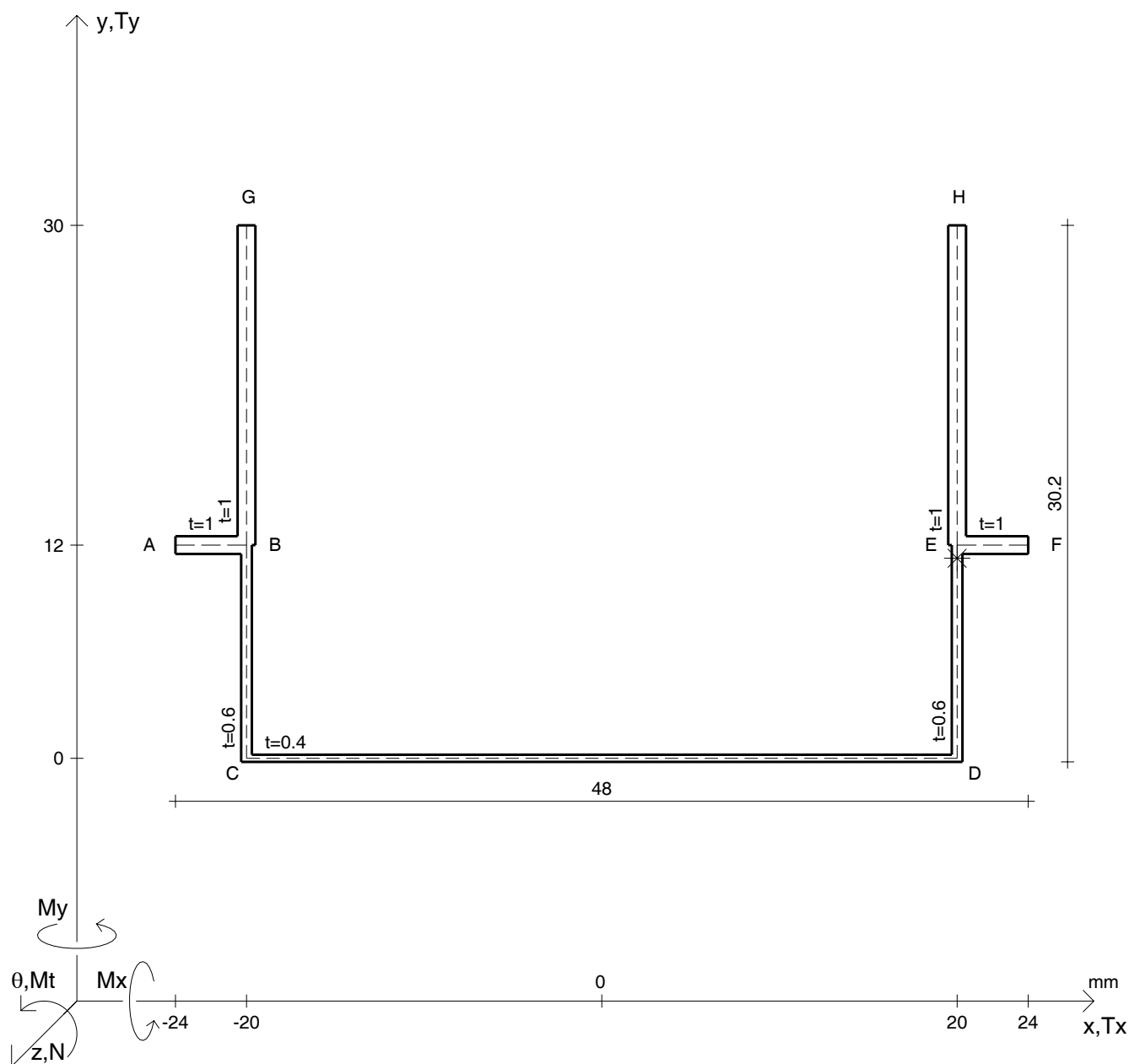
Rappresentare il cerchio di Mohr

Operare le conclusioni sulla verifica di resistenza in *

Facoltativo: rappresentare l'asse neutro e l'andamento delle tens. normali.

Facoltativo: rappresentare l'andamento delle tens. tangenziali.

N	$= 5150 \text{ N}$	M_x	$= 34500 \text{ Nmm}$	G	$= 75000 \text{ N/mm}^2$
T_y	$= 2130 \text{ N}$	σ_a	$= 240 \text{ N/mm}^2$	σ_{ld}	$=$
M_t	$= -1420 \text{ Nmm}$	E	$= 200000 \text{ N/mm}^2$	σ_{lld}	$=$
y_G	$=$	$\tau(M_t)_d$	$=$	σ_{tresca}	$=$
u_o	$=$	$\tau(T_{yc})$	$=$	σ_{mises}	$=$
v_o	$=$	$\tau(T_{yb})_d$	$=$	$\sigma_{st.ven}$	$=$
A	$=$	$\tau(T_y)_s$	$=$	θ_t	$=$
C_w	$=$	$\tau(T_y)_d$	$=$	r_u	$=$
J_u	$=$	σ	$=$	r_v	$=$
J_v	$=$	τ_s	$=$	r_o	$=$
J_t	$=$	τ_d	$=$	J_p	$=$
$\sigma(N)$	$=$	σ_{ls}	$=$		
$\sigma(M_x)$	$=$	σ_{lls}	$=$		



Calcolo degli sforzi in * con forze baricentriche essendo * il punto E di DE

Rappresentare sul foglio, in scala: G, assi u,v, ellisse d'inertia, C.T.

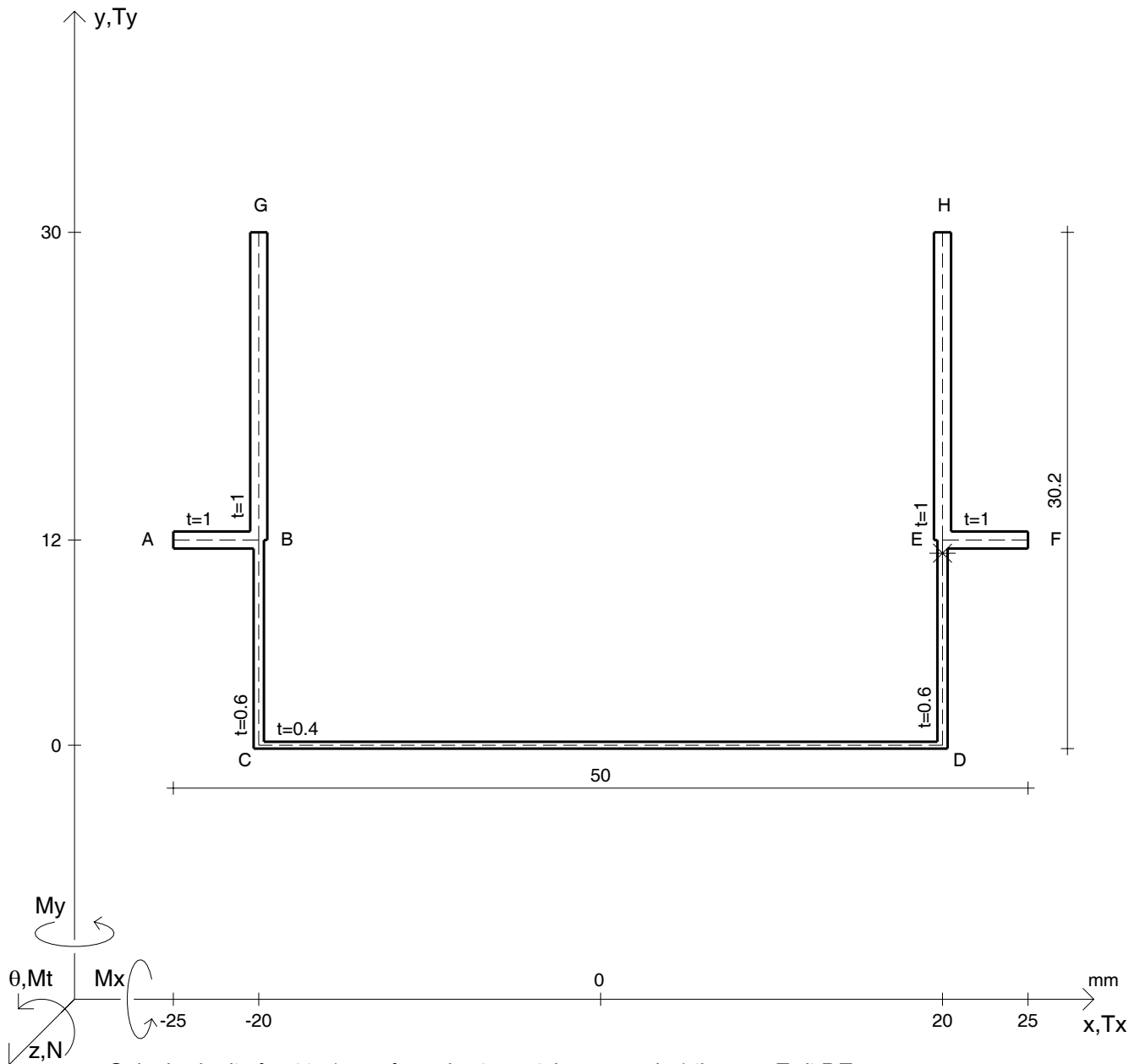
Rappresentare il cerchio di Mohr

Operare le conclusioni sulla verifica di resistenza in *

Facoltativo: rappresentare l'asse neutro e l'andamento delle tens. normali.

Facoltativo: rappresentare l'andamento delle tens. tangenziali.

N	$= 5840 \text{ N}$	M_x	$= 38600 \text{ Nmm}$	G	$= 75000 \text{ N/mm}^2$
T_y	$= 2340 \text{ N}$	σ_a	$= 240 \text{ N/mm}^2$		
M_t	$= 1090 \text{ Nmm}$	E	$= 200000 \text{ N/mm}^2$		
y_G	$=$	$\tau(M_t)_d$	$=$	σ_{ld}	$=$
u_o	$=$	$\tau(T_{yc})$	$=$	σ_{lld}	$=$
v_o	$=$	$\tau(T_{yb})_d$	$=$	σ_{tresca}	$=$
A	$=$	$\tau(T_y)_s$	$=$	σ_{mises}	$=$
C_w	$=$	$\tau(T_y)_d$	$=$	$\sigma_{st.ven}$	$=$
J_u	$=$	σ	$=$	θ_t	$=$
J_v	$=$	τ_s	$=$	r_u	$=$
J_t	$=$	τ_d	$=$	r_v	$=$
$\sigma(N)$	$=$	σ_{ls}	$=$	r_o	$=$
$\sigma(M_x)$	$=$	σ_{lls}	$=$	J_p	$=$



Calcolo degli sforzi in * con forze baricentriche essendo * il punto E di DE

Rappresentare sul foglio, in scala: G, assi u,v, ellisse d'inertia, C.T.

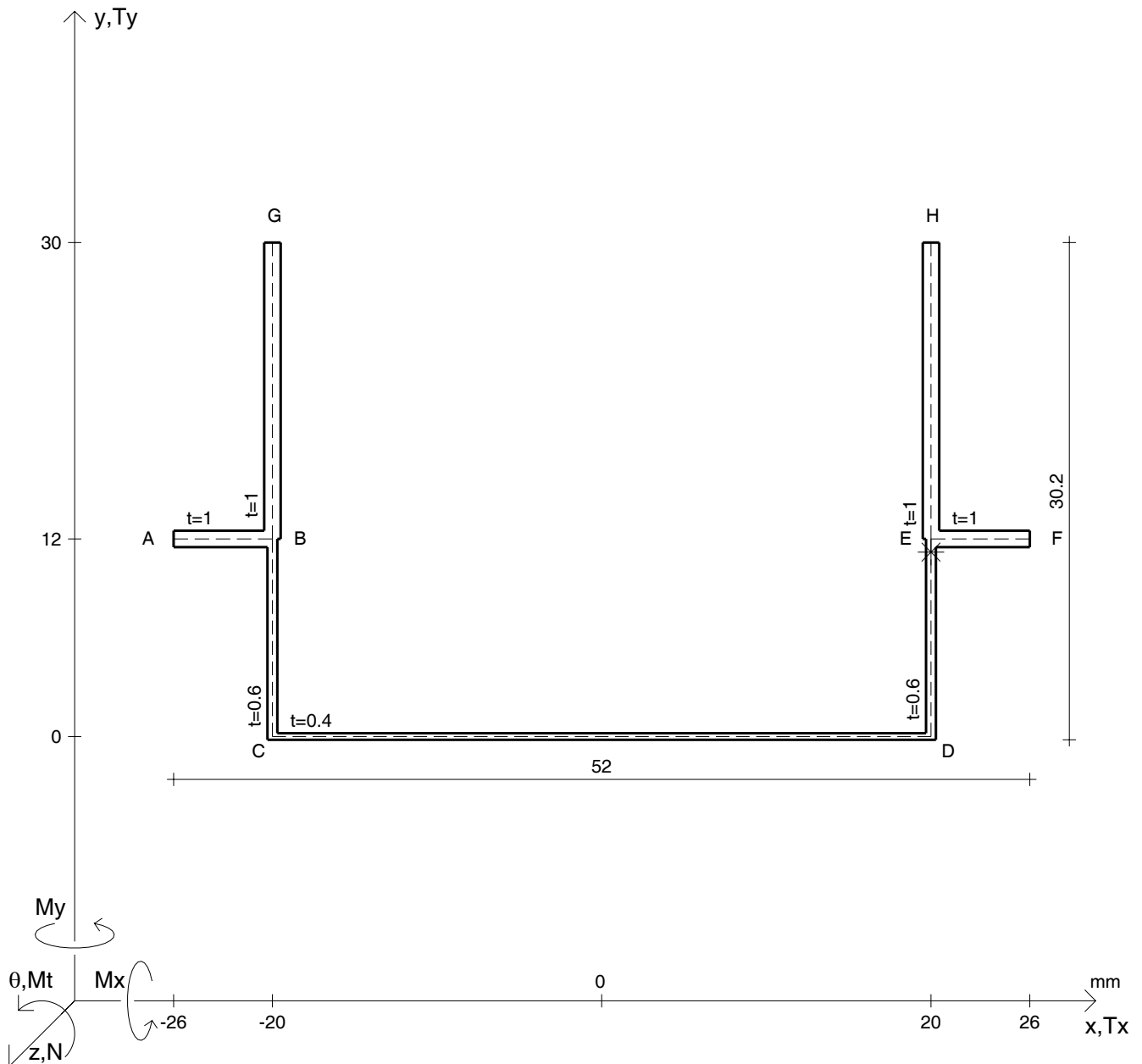
Rappresentare il cerchio di Mohr

Operare le conclusioni sulla verifica di resistenza in *

Facoltativo: rappresentare l'asse neutro e l'andamento delle tens. normali.

Facoltativo: rappresentare l'andamento delle tens. tangenziali.

N	$= 6570 \text{ N}$	M_x	$= 42700 \text{ Nmm}$	G	$= 75000 \text{ N/mm}^2$
T_y	$= 1730 \text{ N}$	σ_a	$= 240 \text{ N/mm}^2$	σ_{ld}	$=$
M_t	$= 1270 \text{ Nmm}$	E	$= 200000 \text{ N/mm}^2$	σ_{lld}	$=$
y_G	$=$	$\tau(M_t)_d$	$=$	σ_{tresca}	$=$
u_o	$=$	$\tau(T_{yc})$	$=$	σ_{mises}	$=$
v_o	$=$	$\tau(T_{yb})_d$	$=$	$\sigma_{st.ven}$	$=$
A	$=$	$\tau(T_y)_s$	$=$	θ_t	$=$
C_w	$=$	$\tau(T_y)_d$	$=$	r_u	$=$
J_u	$=$	σ	$=$	r_v	$=$
J_v	$=$	τ_s	$=$	r_o	$=$
J_t	$=$	τ_d	$=$	J_p	$=$
$\sigma(N)$	$=$	σ_{ls}	$=$		
$\sigma(M_x)$	$=$	σ_{lls}	$=$		



Calcolo degli sforzi in * con forze baricentriche essendo * il punto E di DE

Rappresentare sul foglio, in scala: G, assi u,v, ellisse d'inertia, C.T.

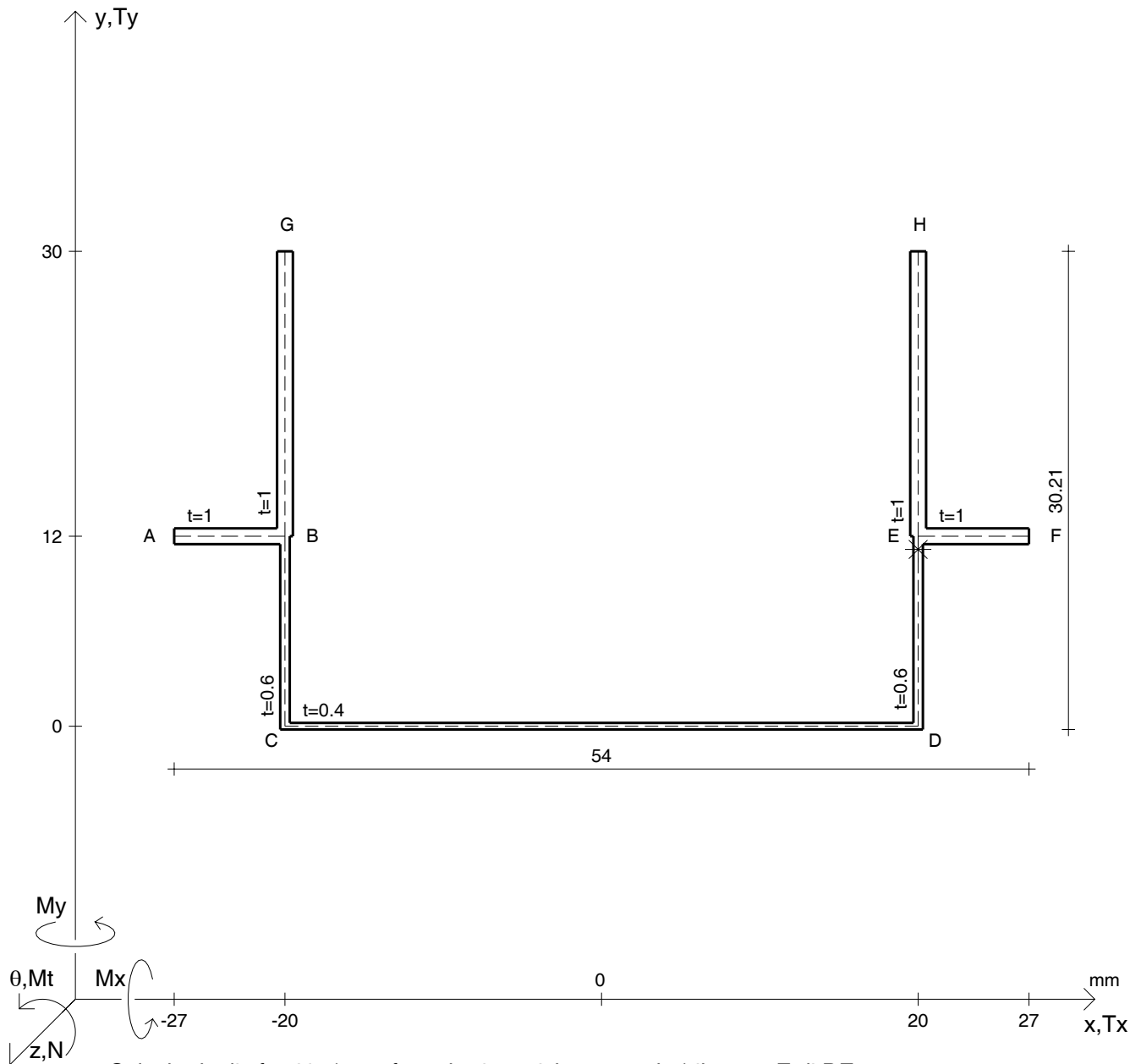
Rappresentare il cerchio di Mohr

Operare le conclusioni sulla verifica di resistenza in *

Facoltativo: rappresentare l'asse neutro e l'andamento delle tens. normali.

Facoltativo: rappresentare l'andamento delle tens. tangenziali.

N	$= 4980 \text{ N}$	M_x	$= 46900 \text{ Nmm}$	G	$= 75000 \text{ N/mm}^2$
T_y	$= 1930 \text{ N}$	σ_a	$= 240 \text{ N/mm}^2$	σ_{ld}	$=$
M_t	$= 1460 \text{ Nmm}$	E	$= 200000 \text{ N/mm}^2$	σ_{lld}	$=$
y_G	$=$	$\tau(M_t)_d$	$=$	σ_{tresca}	$=$
u_o	$=$	$\tau(T_{yc})$	$=$	σ_{mises}	$=$
v_o	$=$	$\tau(T_{yb})_d$	$=$	$\sigma_{st.ven}$	$=$
A	$=$	$\tau(T_y)_s$	$=$	θ_t	$=$
C_w	$=$	$\tau(T_y)_d$	$=$	r_u	$=$
J_u	$=$	σ	$=$	r_v	$=$
J_v	$=$	τ_s	$=$	r_o	$=$
J_t	$=$	τ_d	$=$	J_p	$=$
$\sigma(N)$	$=$	σ_{ls}	$=$		
$\sigma(M_x)$	$=$	σ_{lls}	$=$		



Calcolo degli sforzi in * con forze baricentriche essendo * il punto E di DE

Rappresentare sul foglio, in scala: G, assi u,v, ellisse d'inertia, C.T.

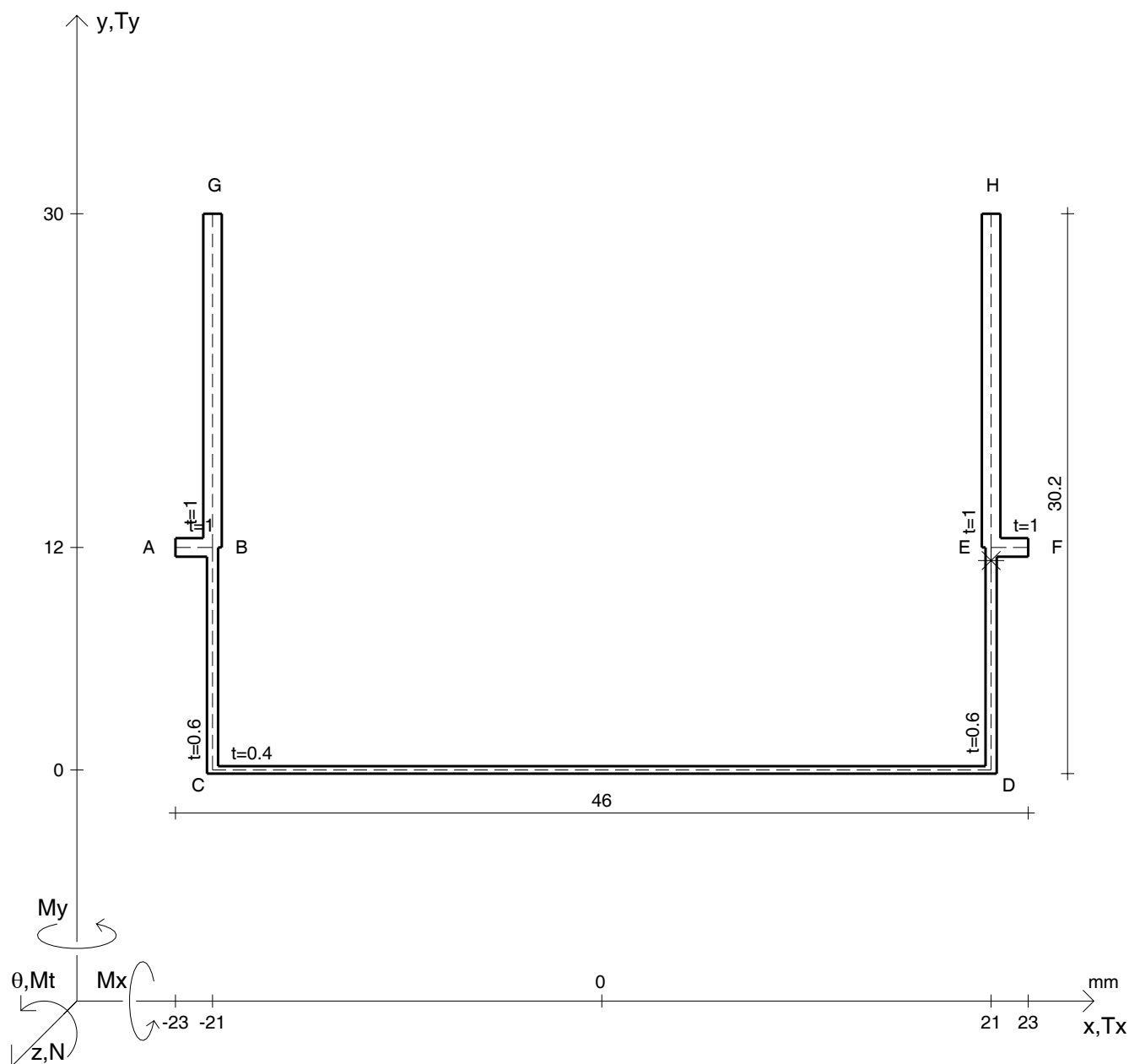
Rappresentare il cerchio di Mohr

Operare le conclusioni sulla verifica di resistenza in *

Facoltativo: rappresentare l'asse neutro e l'andamento delle tens. normali.

Facoltativo: rappresentare l'andamento delle tens. tangenziali.

N	$= 5710 \text{ N}$	M_x	$= 34700 \text{ Nmm}$	G	$= 75000 \text{ N/mm}^2$
T_y	$= 2140 \text{ N}$	σ_a	$= 240 \text{ N/mm}^2$		
M_t	$= 1650 \text{ Nmm}$	E	$= 200000 \text{ N/mm}^2$		
y_G	$=$	$\tau(M_t)_d$	$=$	σ_{ld}	$=$
u_o	$=$	$\tau(T_{yc})$	$=$	σ_{lld}	$=$
v_o	$=$	$\tau(T_{yb})_d$	$=$	σ_{tresca}	$=$
A	$=$	$\tau(T_y)_s$	$=$	σ_{mises}	$=$
C_w	$=$	$\tau(T_y)_d$	$=$	$\sigma_{st.ven}$	$=$
J_u	$=$	σ	$=$	θ_t	$=$
J_v	$=$	τ_s	$=$	r_u	$=$
J_t	$=$	τ_d	$=$	r_v	$=$
$\sigma(N)$	$=$	σ_{ls}	$=$	r_o	$=$
$\sigma(M_x)$	$=$	σ_{lls}	$=$	J_p	$=$



Calcolo degli sforzi in * con forze baricentriche essendo * il punto E di DE

Rappresentare sul foglio, in scala: G, assi u,v, ellisse d'inertia, C.T.

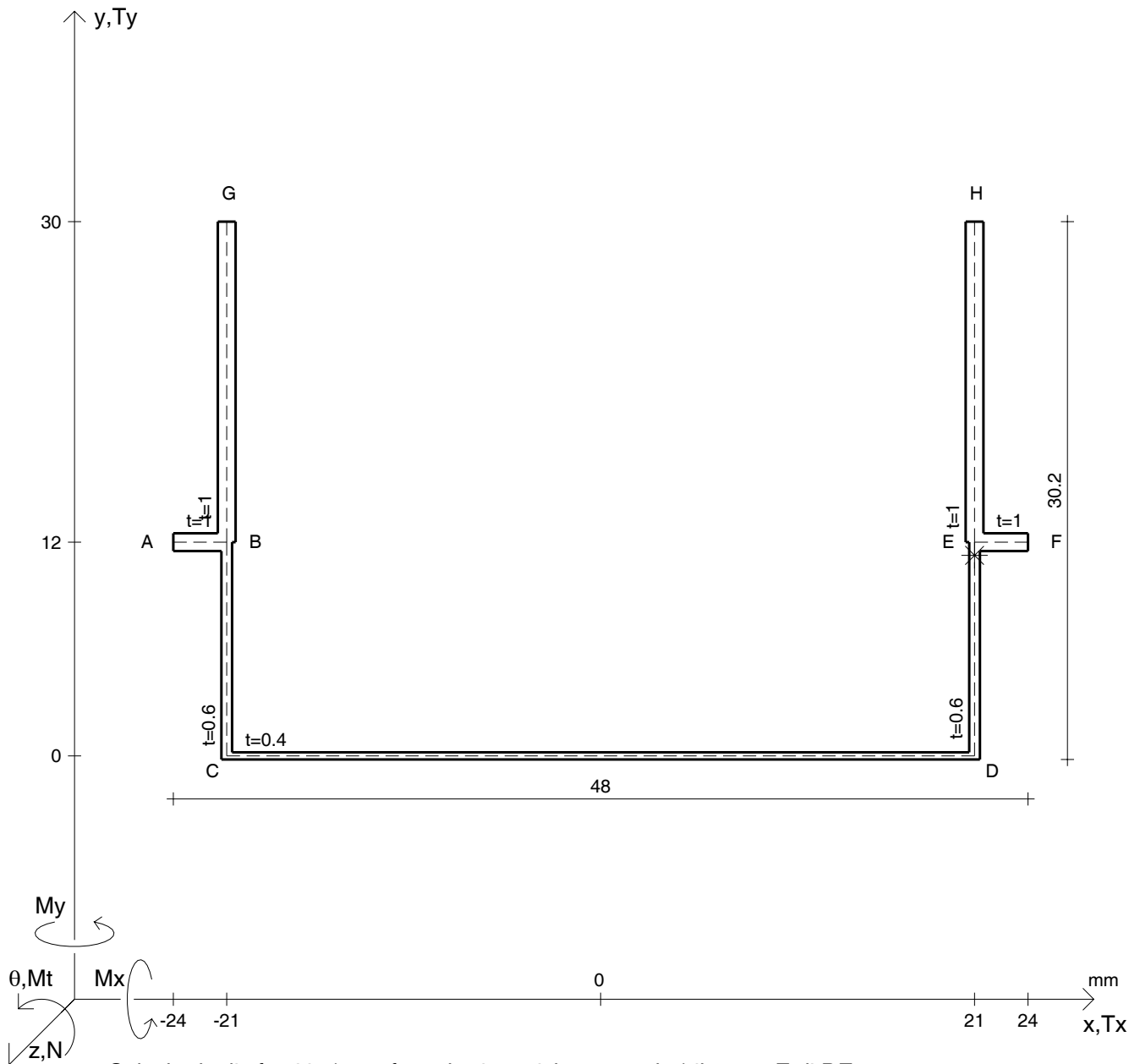
Rappresentare il cerchio di Mohr

Operare le conclusioni sulla verifica di resistenza in *

Facoltativo: rappresentare l'asse neutro e l'andamento delle tens. normali.

Facoltativo: rappresentare l'andamento delle tens. tangenziali.

N	$= 5620 \text{ N}$	M_x	$= 39900 \text{ Nmm}$	G	$= 75000 \text{ N/mm}^2$
T_y	$= 2300 \text{ N}$	σ_a	$= 240 \text{ N/mm}^2$	σ_{ld}	$=$
M_t	$= 1020 \text{ Nmm}$	E	$= 200000 \text{ N/mm}^2$	σ_{lld}	$=$
y_G	$=$	$\tau(M_t)_d$	$=$	σ_{tresca}	$=$
u_o	$=$	$\tau(T_{yc})$	$=$	σ_{mises}	$=$
v_o	$=$	$\tau(T_{yb})_d$	$=$	$\sigma_{st.ven}$	$=$
A	$=$	$\tau(T_y)_s$	$=$	θ_t	$=$
C_w	$=$	$\tau(T_y)_d$	$=$	r_u	$=$
J_u	$=$	σ	$=$	r_v	$=$
J_v	$=$	τ_s	$=$	r_o	$=$
J_t	$=$	τ_d	$=$	J_p	$=$
$\sigma(N)$	$=$	σ_{ls}	$=$		
$\sigma(M_x)$	$=$	σ_{lls}	$=$		



Calcolo degli sforzi in * con forze baricentriche essendo * il punto E di DE

Rappresentare sul foglio, in scala: G, assi u,v, ellisse d'inertia, C.T.

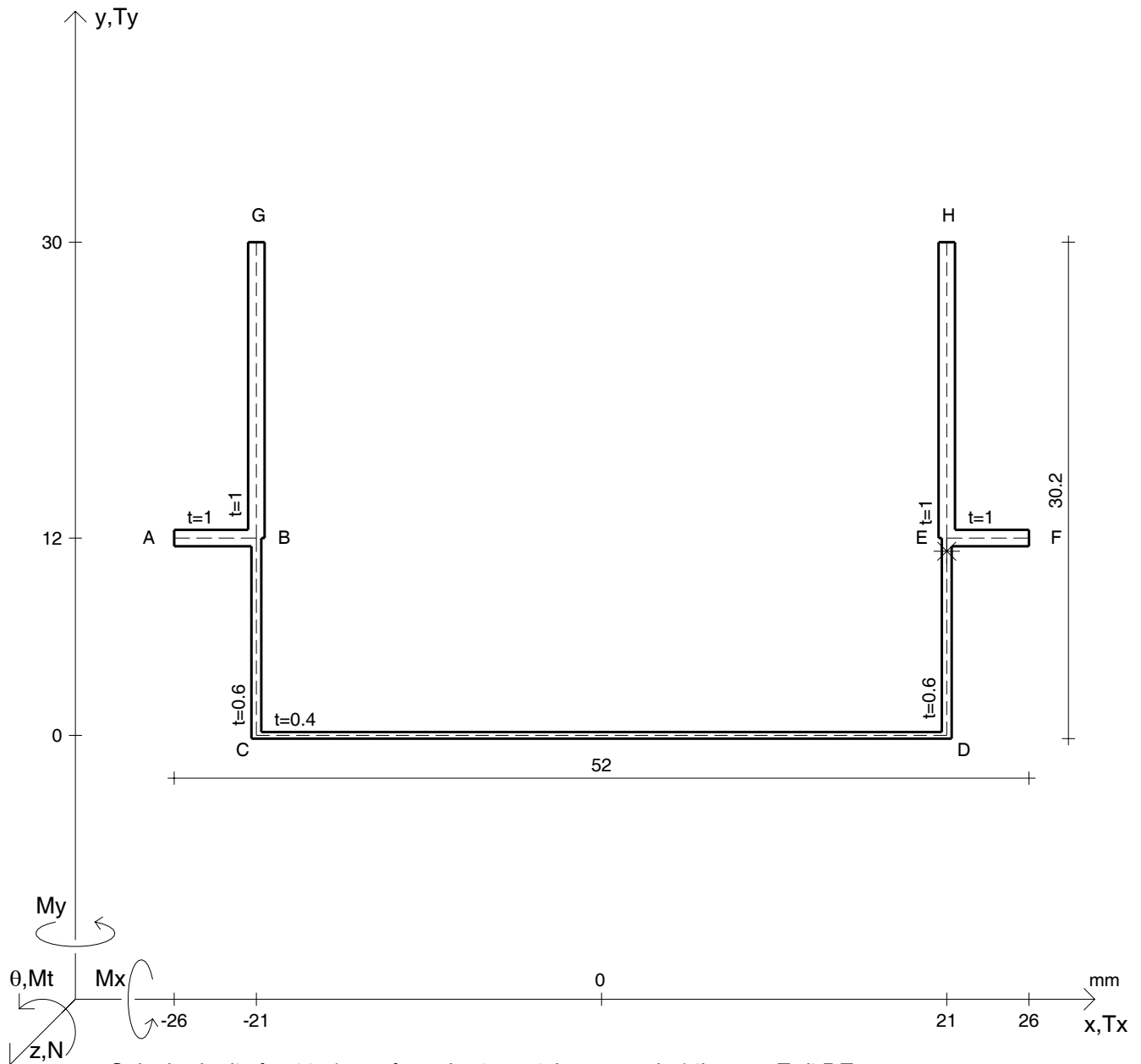
Rappresentare il cerchio di Mohr

Operare le conclusioni sulla verifica di resistenza in *

Facoltativo: rappresentare l'asse neutro e l'andamento delle tens. normali.

Facoltativo: rappresentare l'andamento delle tens. tangenziali.

N	$= 6330 \text{ N}$	M_x	$= 44100 \text{ Nmm}$	G	$= 75000 \text{ N/mm}^2$
T_y	$= 1700 \text{ N}$	σ_a	$= 240 \text{ N/mm}^2$	σ_{ld}	$=$
M_t	$= 1180 \text{ Nmm}$	E	$= 200000 \text{ N/mm}^2$	σ_{lld}	$=$
y_G	$=$	$\tau(M_t)_d$	$=$	σ_{tresca}	$=$
u_o	$=$	$\tau(T_{yc})$	$=$	σ_{mises}	$=$
v_o	$=$	$\tau(T_{yb})_d$	$=$	$\sigma_{st.ven}$	$=$
A	$=$	$\tau(T_y)_s$	$=$	θ_t	$=$
C_w	$=$	$\tau(T_y)_d$	$=$	r_u	$=$
J_u	$=$	σ	$=$	r_v	$=$
J_v	$=$	τ_s	$=$	r_o	$=$
J_t	$=$	τ_d	$=$	J_p	$=$
$\sigma(N)$	$=$	σ_{ls}	$=$		
$\sigma(M_x)$	$=$	σ_{lls}	$=$		



Calcolo degli sforzi in * con forze baricentriche essendo * il punto E di DE

Rappresentare sul foglio, in scala: G, assi u,v, ellisse d'inerzia, C.T.

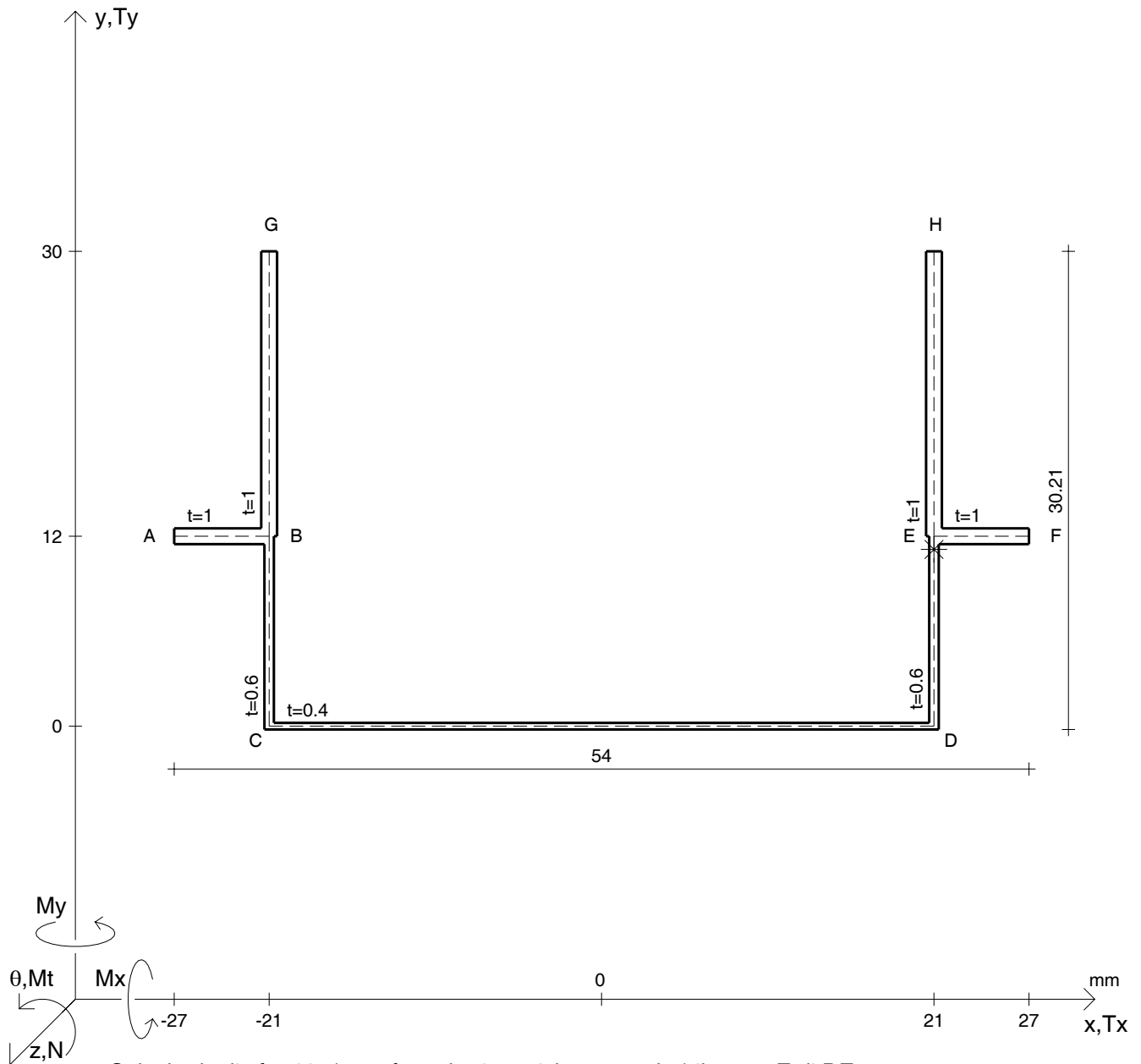
Rappresentare il cerchio di Mohr

Operare le conclusioni sulla verifica di resistenza in *

Facoltativo: rappresentare l'asse neutro e l'andamento delle tens. normali.

Facoltativo: rappresentare l'andamento delle tens. tangenziali.

N	$= 5520 \text{ N}$	M_x	$= 35800 \text{ Nmm}$	G	$= 75000 \text{ N/mm}^2$
T_y	$= 2100 \text{ N}$	σ_a	$= 240 \text{ N/mm}^2$	σ_{ld}	$=$
M_t	$= 1550 \text{ Nmm}$	E	$= 200000 \text{ N/mm}^2$	σ_{lld}	$=$
y_G	$=$	$\tau(M_t)_d$	$=$	σ_{tresca}	$=$
u_o	$=$	$\tau(T_{yc})$	$=$	σ_{mises}	$=$
v_o	$=$	$\tau(T_{yb})_d$	$=$	$\sigma_{st.ven}$	$=$
A	$=$	$\tau(T_y)_s$	$=$	θ_t	$=$
C_w	$=$	$\tau(T_y)_d$	$=$	r_u	$=$
J_u	$=$	σ	$=$	r_v	$=$
J_v	$=$	τ_s	$=$	r_o	$=$
J_t	$=$	τ_d	$=$	J_p	$=$
$\sigma(N)$	$=$	σ_{ls}	$=$		
$\sigma(M_x)$	$=$	σ_{lls}	$=$		



Calcolo degli sforzi in * con forze baricentriche essendo * il punto E di DE

Rappresentare sul foglio, in scala: G, assi u,v, ellisse d'inertia, C.T.

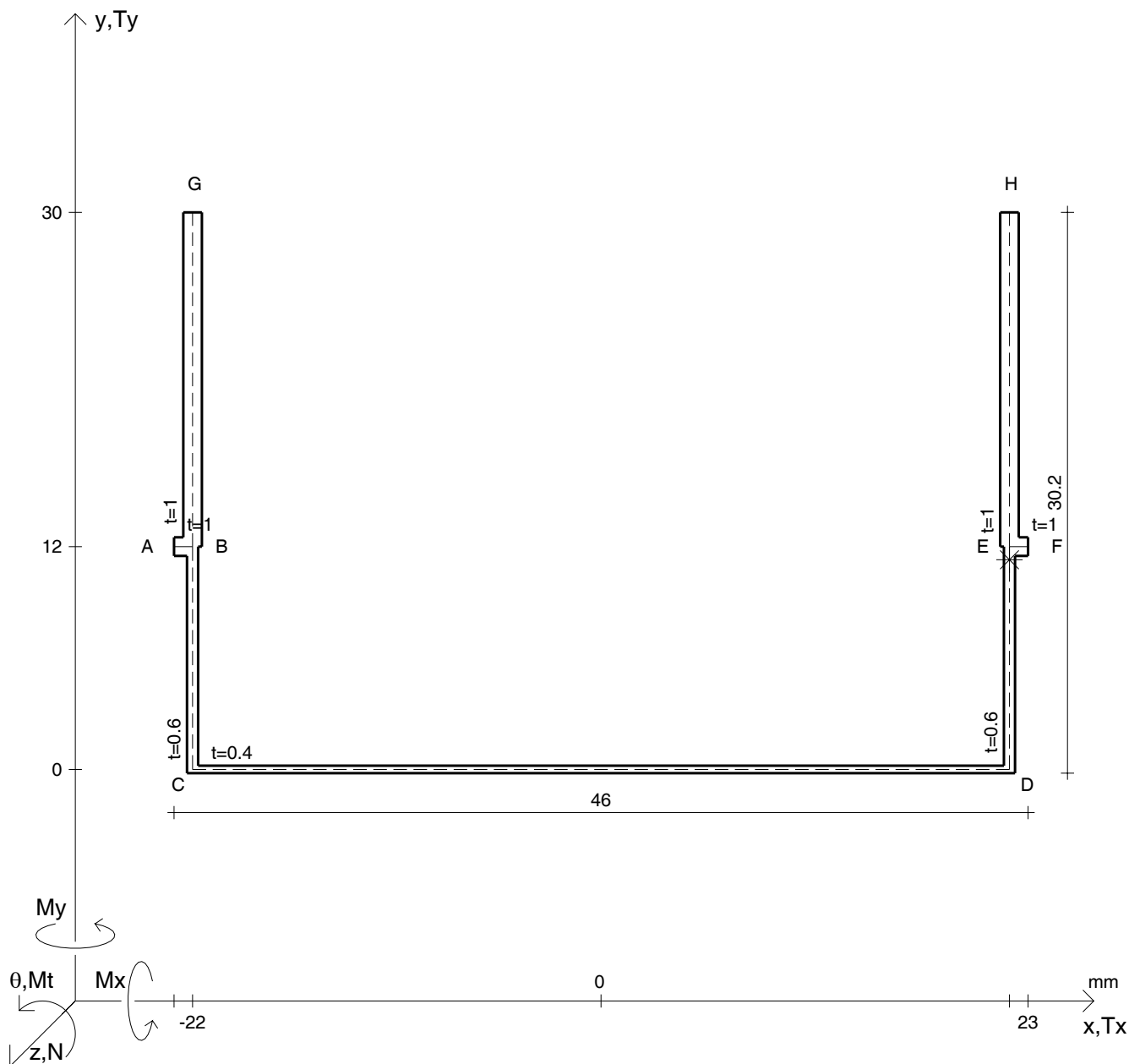
Rappresentare il cerchio di Mohr

Operare le conclusioni sulla verifica di resistenza in *

Facoltativo: rappresentare l'asse neutro e l'andamento delle tens. normali.

Facoltativo: rappresentare l'andamento delle tens. tangenziali.

N	$= 6250 \text{ N}$	M_x	$= 40000 \text{ Nmm}$	G	$= 75000 \text{ N/mm}^2$
T_y	$= 2310 \text{ N}$	σ_a	$= 240 \text{ N/mm}^2$	σ_{ld}	$=$
M_t	$= 1190 \text{ Nmm}$	E	$= 200000 \text{ N/mm}^2$	σ_{lld}	$=$
y_G	$=$	$\tau(M_t)_d$	$=$	σ_{tresca}	$=$
u_o	$=$	$\tau(T_{yc})$	$=$	σ_{mises}	$=$
v_o	$=$	$\tau(T_{yb})_d$	$=$	$\sigma_{st.ven}$	$=$
A	$=$	$\tau(T_y)_s$	$=$	θ_t	$=$
C_w	$=$	$\tau(T_y)_d$	$=$	r_u	$=$
J_u	$=$	σ	$=$	r_v	$=$
J_v	$=$	τ_s	$=$	r_o	$=$
J_t	$=$	τ_d	$=$	J_p	$=$
$\sigma(N)$	$=$	σ_{ls}	$=$		
$\sigma(M_x)$	$=$	σ_{lls}	$=$		



Calcolo degli sforzi in * con forze baricentriche essendo * il punto E di DE

Rappresentare sul foglio, in scala: G, assi u,v, ellisse d'inertia, C.T.

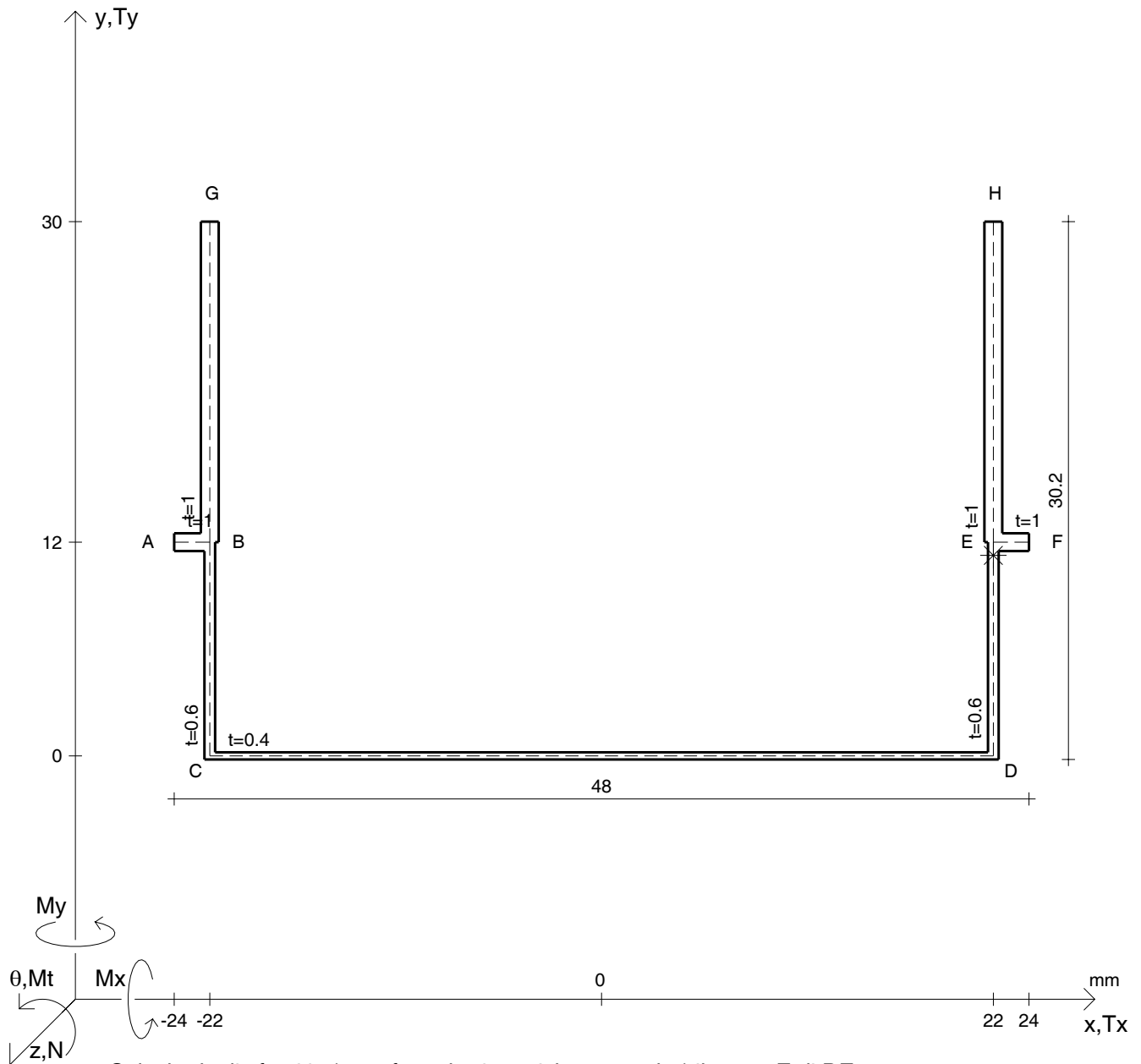
Rappresentare il cerchio di Mohr

Operare le conclusioni sulla verifica di resistenza in *

Facoltativo: rappresentare l'asse neutro e l'andamento delle tens. normali.

Facoltativo: rappresentare l'andamento delle tens. tangenziali.

N	$= 6080 \text{ N}$	M_x	$= 45500 \text{ Nmm}$	G	$= 75000 \text{ N/mm}^2$
T_y	$= 1670 \text{ N}$	σ_a	$= 240 \text{ N/mm}^2$	σ_{ld}	$=$
M_t	$= 1100 \text{ Nmm}$	E	$= 200000 \text{ N/mm}^2$	σ_{lld}	$=$
y_G	$=$	$\tau(M_t)_d$	$=$	σ_{tresca}	$=$
u_o	$=$	$\tau(T_{yc})$	$=$	σ_{mises}	$=$
v_o	$=$	$\tau(T_{yb})_d$	$=$	$\sigma_{st.ven}$	$=$
A	$=$	$\tau(T_y)_s$	$=$	θ_t	$=$
C_w	$=$	$\tau(T_y)_d$	$=$	r_u	$=$
J_u	$=$	σ	$=$	r_v	$=$
J_v	$=$	τ_s	$=$	r_o	$=$
J_t	$=$	τ_d	$=$	J_p	$=$
$\sigma(N)$	$=$	σ_{ls}	$=$		
$\sigma(M_x)$	$=$	σ_{lls}	$=$		



Calcolo degli sforzi in * con forze baricentriche essendo * il punto E di DE

Rappresentare sul foglio, in scala: G, assi u,v, ellisse d'inertia, C.T.

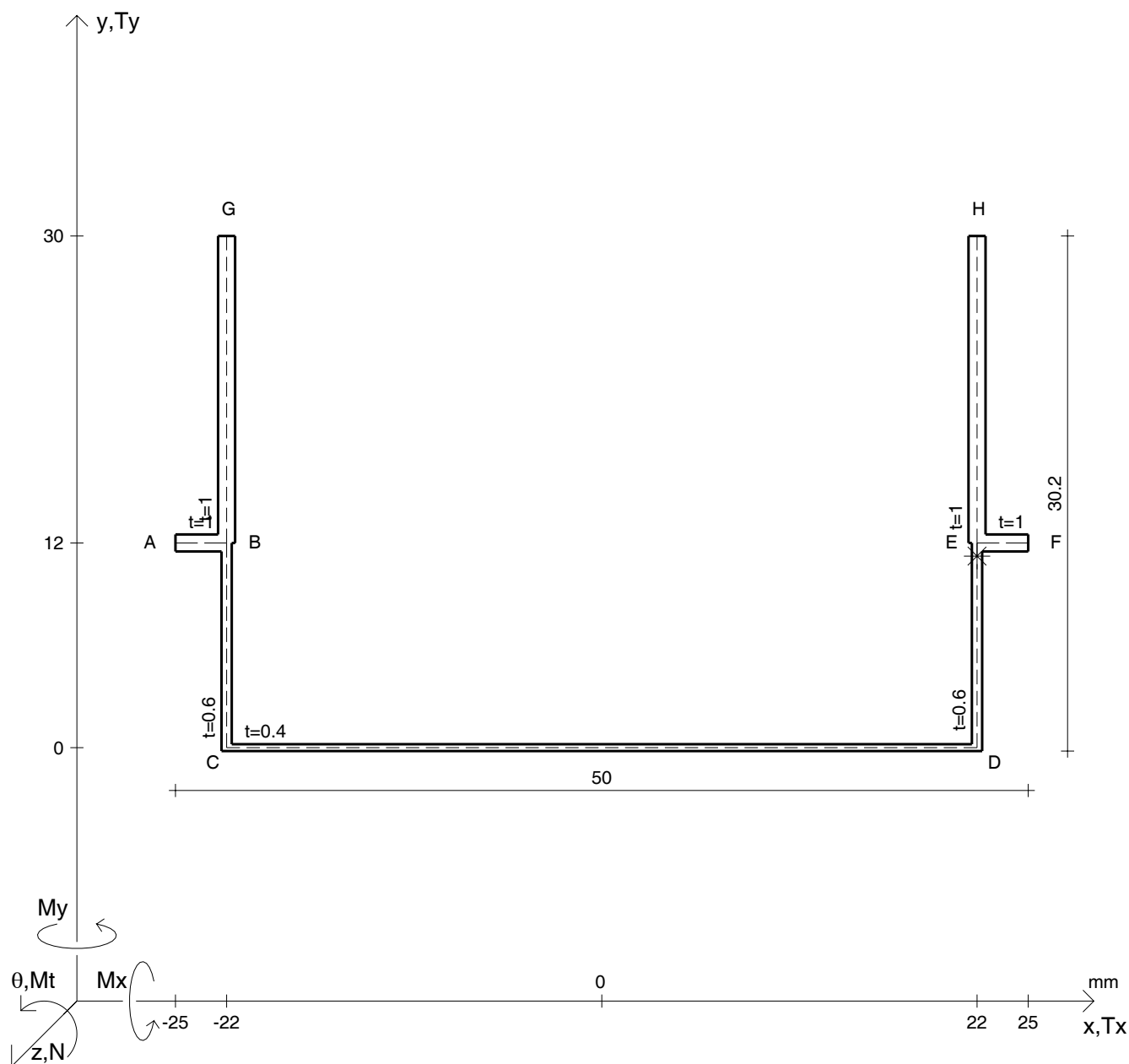
Rappresentare il cerchio di Mohr

Operare le conclusioni sulla verifica di resistenza in *

Facoltativo: rappresentare l'asse neutro e l'andamento delle tens. normali.

Facoltativo: rappresentare l'andamento delle tens. tangenziali.

N	$= 4620 \text{ N}$	M_x	$= 49900 \text{ Nmm}$	G	$= 75000 \text{ N/mm}^2$
T_y	$= 1870 \text{ N}$	σ_a	$= 240 \text{ N/mm}^2$		
M_t	$= 1270 \text{ Nmm}$	E	$= 200000 \text{ N/mm}^2$		
y_G	$=$	$\tau(M_t)_d$	$=$	σ_{ld}	$=$
u_o	$=$	$\tau(T_{yc})$	$=$	σ_{lld}	$=$
v_o	$=$	$\tau(T_{yb})_d$	$=$	σ_{tresca}	$=$
A	$=$	$\tau(T_y)_s$	$=$	σ_{mises}	$=$
C_w	$=$	$\tau(T_y)_d$	$=$	$\sigma_{st.ven}$	$=$
J_u	$=$	σ	$=$	θ_t	$=$
J_v	$=$	τ_s	$=$	r_u	$=$
J_t	$=$	τ_d	$=$	r_v	$=$
$\sigma(N)$	$=$	σ_{ls}	$=$	r_o	$=$
$\sigma(M_x)$	$=$	σ_{lls}	$=$	J_p	$=$



Calcolo degli sforzi in * con forze baricentriche essendo * il punto E di DE

Rappresentare sul foglio, in scala: G, assi u,v, ellisse d'inertia, C.T.

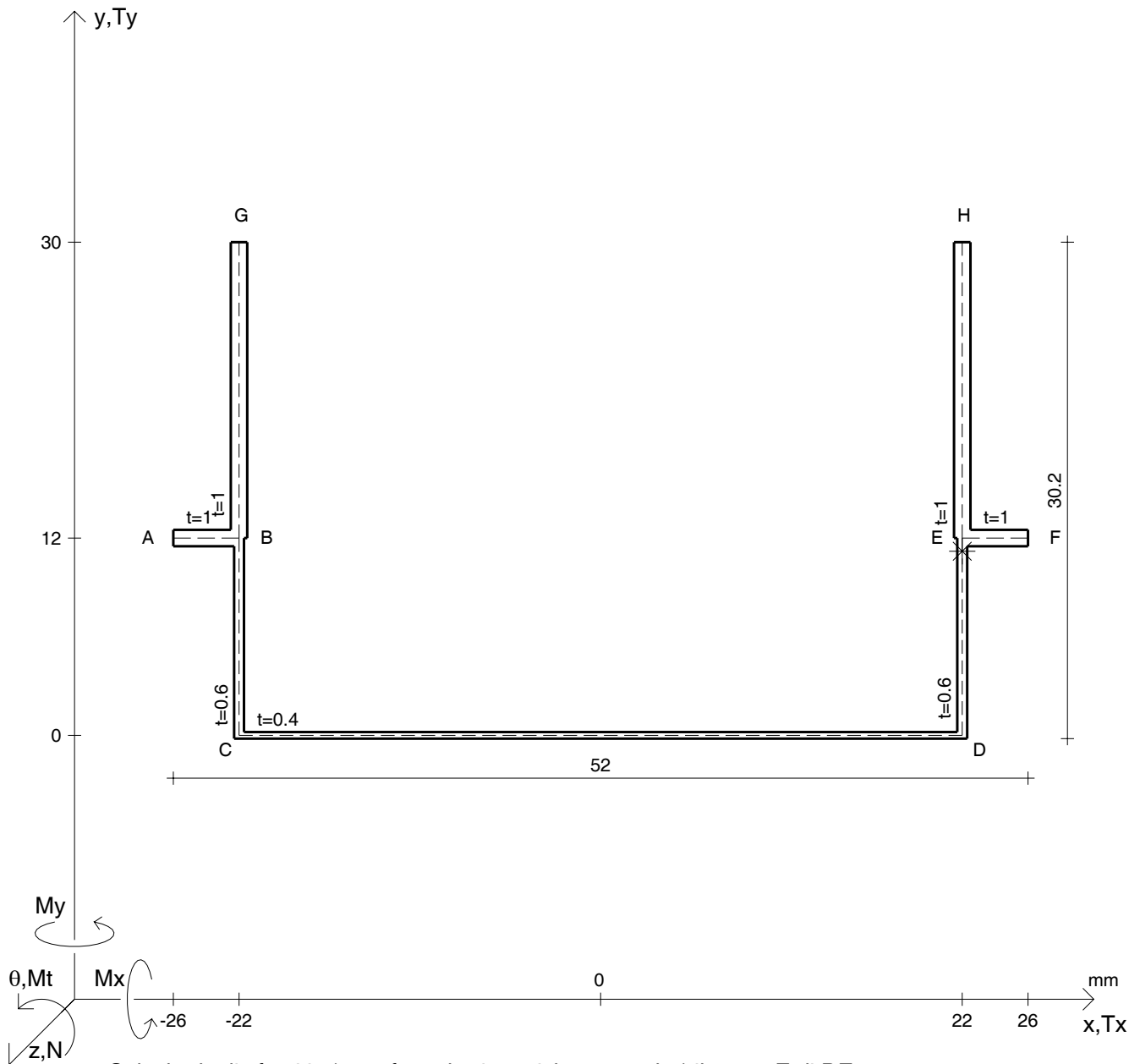
Rappresentare il cerchio di Mohr

Operare le conclusioni sulla verifica di resistenza in *

Facoltativo: rappresentare l'asse neutro e l'andamento delle tens. normali.

Facoltativo: rappresentare l'andamento delle tens. tangenziali.

N	$= 5310 \text{ N}$	M_x	$= 36900 \text{ Nmm}$	G	$= 75000 \text{ N/mm}^2$
T_y	$= 2070 \text{ N}$	σ_a	$= 240 \text{ N/mm}^2$	σ_{ld}	$=$
M_t	$= 1440 \text{ Nmm}$	E	$= 200000 \text{ N/mm}^2$	σ_{lld}	$=$
y_G	$=$	$\tau(M_t)_d$	$=$	σ_{tresca}	$=$
u_o	$=$	$\tau(T_{yc})$	$=$	σ_{mises}	$=$
v_o	$=$	$\tau(T_{yb})_d$	$=$	$\sigma_{st.ven}$	$=$
A	$=$	$\tau(T_y)_s$	$=$	θ_t	$=$
C_w	$=$	$\tau(T_y)_d$	$=$	r_u	$=$
J_u	$=$	σ	$=$	r_v	$=$
J_v	$=$	τ_s	$=$	r_o	$=$
J_t	$=$	τ_d	$=$	J_p	$=$
$\sigma(N)$	$=$	σ_{ls}	$=$		
$\sigma(M_x)$	$=$	σ_{lls}	$=$		



Calcolo degli sforzi in * con forze baricentriche essendo * il punto E di DE

Rappresentare sul foglio, in scala: G, assi u,v, ellisse d'inertia, C.T.

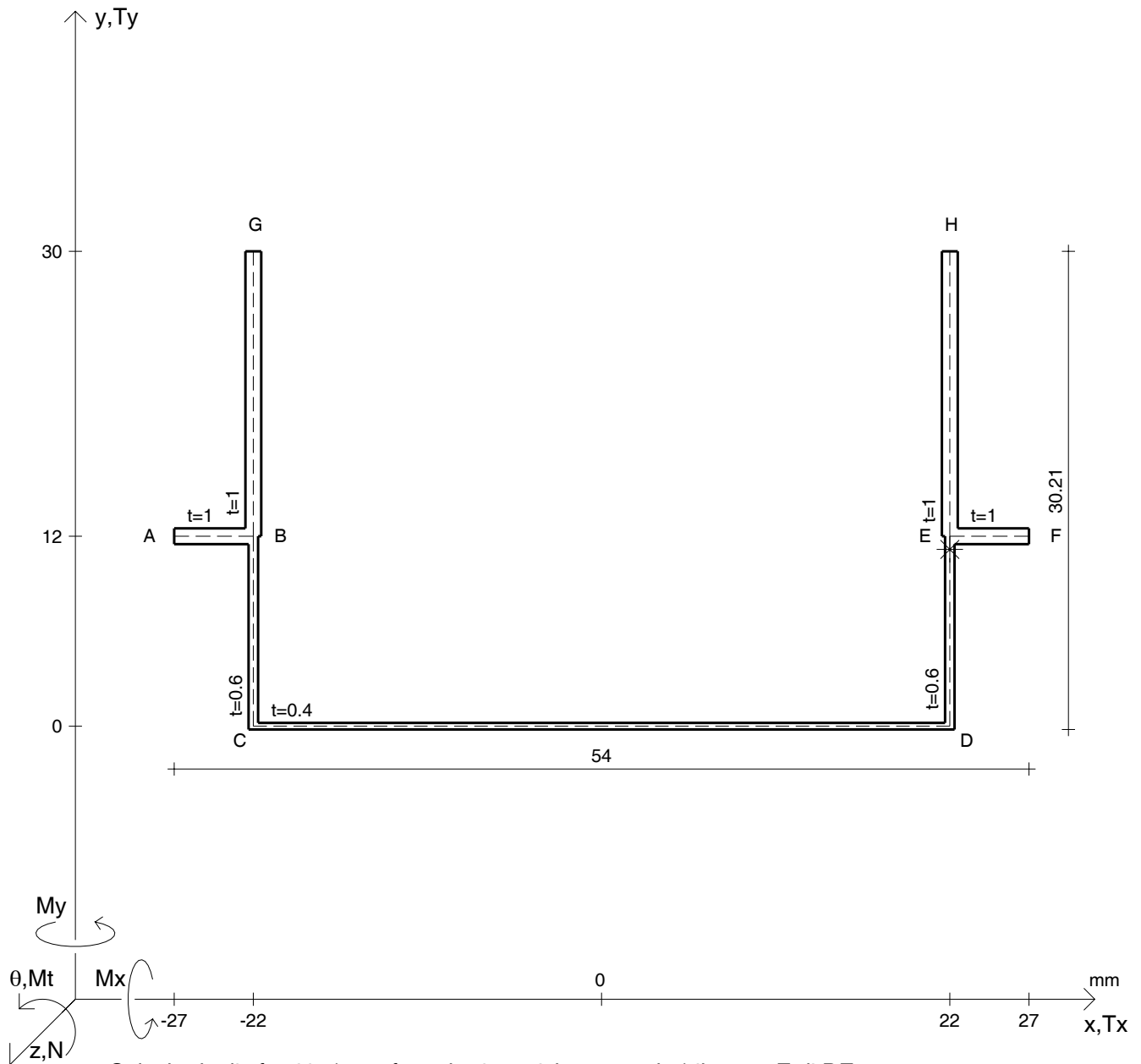
Rappresentare il cerchio di Mohr

Operare le conclusioni sulla verifica di resistenza in *

Facoltativo: rappresentare l'asse neutro e l'andamento delle tens. normali.

Facoltativo: rappresentare l'andamento delle tens. tangenziali.

N	$= 6030 \text{ N}$	M_x	$= 41300 \text{ Nmm}$	G	$= 75000 \text{ N/mm}^2$
T_y	$= 2270 \text{ N}$	σ_a	$= 240 \text{ N/mm}^2$	σ_{ld}	$=$
M_t	$= 1110 \text{ Nmm}$	E	$= 200000 \text{ N/mm}^2$	σ_{lld}	$=$
y_G	$=$	$\tau(M_t)_d$	$=$	σ_{tresca}	$=$
u_o	$=$	$\tau(T_{yc})$	$=$	σ_{mises}	$=$
v_o	$=$	$\tau(T_{yb})_d$	$=$	$\sigma_{st.ven}$	$=$
A	$=$	$\tau(T_y)_s$	$=$	θ_t	$=$
C_w	$=$	$\tau(T_y)_d$	$=$	r_u	$=$
J_u	$=$	σ	$=$	r_v	$=$
J_v	$=$	τ_s	$=$	r_o	$=$
J_t	$=$	τ_d	$=$	J_p	$=$
$\sigma(N)$	$=$	σ_{ls}	$=$		
$\sigma(M_x)$	$=$	σ_{lls}	$=$		



Calcolo degli sforzi in * con forze baricentriche essendo * il punto E di DE

Rappresentare sul foglio, in scala: G, assi u,v, ellisse d'inertia, C.T.

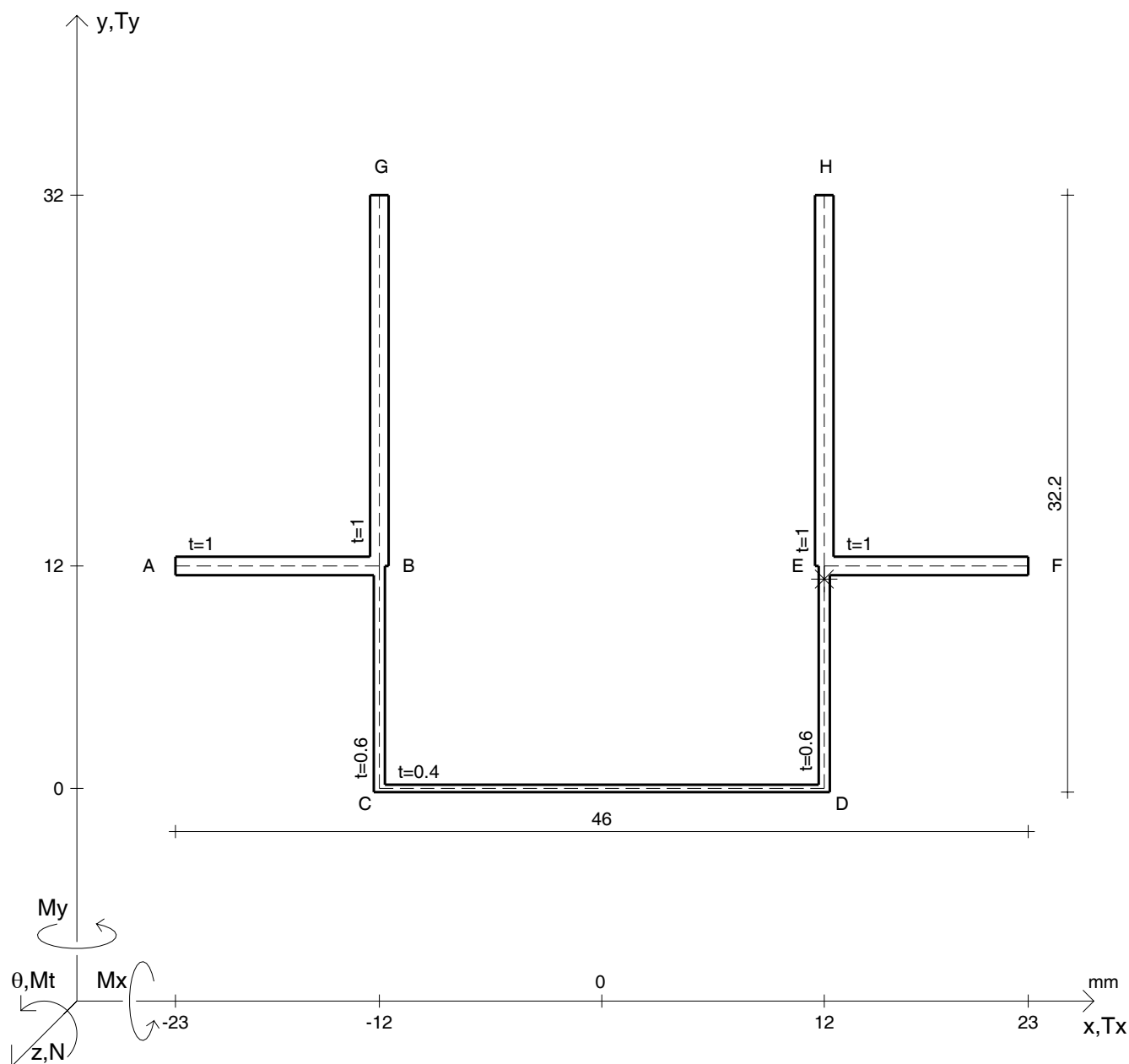
Rappresentare il cerchio di Mohr

Operare le conclusioni sulla verifica di resistenza in *

Facoltativo: rappresentare l'asse neutro e l'andamento delle tens. normali.

Facoltativo: rappresentare l'andamento delle tens. tangenziali.

N	$= 6780 \text{ N}$	M_x	$= 45700 \text{ Nmm}$	G	$= 75000 \text{ N/mm}^2$
T_y	$= 1680 \text{ N}$	σ_a	$= 240 \text{ N/mm}^2$	σ_{ld}	$=$
M_t	$= 1290 \text{ Nmm}$	E	$= 200000 \text{ N/mm}^2$	σ_{lld}	$=$
y_G	$=$	$\tau(M_t)_d$	$=$	σ_{tresca}	$=$
u_o	$=$	$\tau(T_{yc})$	$=$	σ_{mises}	$=$
v_o	$=$	$\tau(T_{yb})_d$	$=$	$\sigma_{st.ven}$	$=$
A	$=$	$\tau(T_y)_s$	$=$	θ_t	$=$
C_w	$=$	$\tau(T_y)_d$	$=$	r_u	$=$
J_u	$=$	σ	$=$	r_v	$=$
J_v	$=$	τ_s	$=$	r_o	$=$
J_t	$=$	τ_d	$=$	J_p	$=$
$\sigma(N)$	$=$	σ_{ls}	$=$		
$\sigma(M_x)$	$=$	σ_{lls}	$=$		



Calcolo degli sforzi in * con forze baricentriche essendo * il punto E di DE

Rappresentare sul foglio, in scala: G, assi u,v, ellisse d'inertia, C.T.

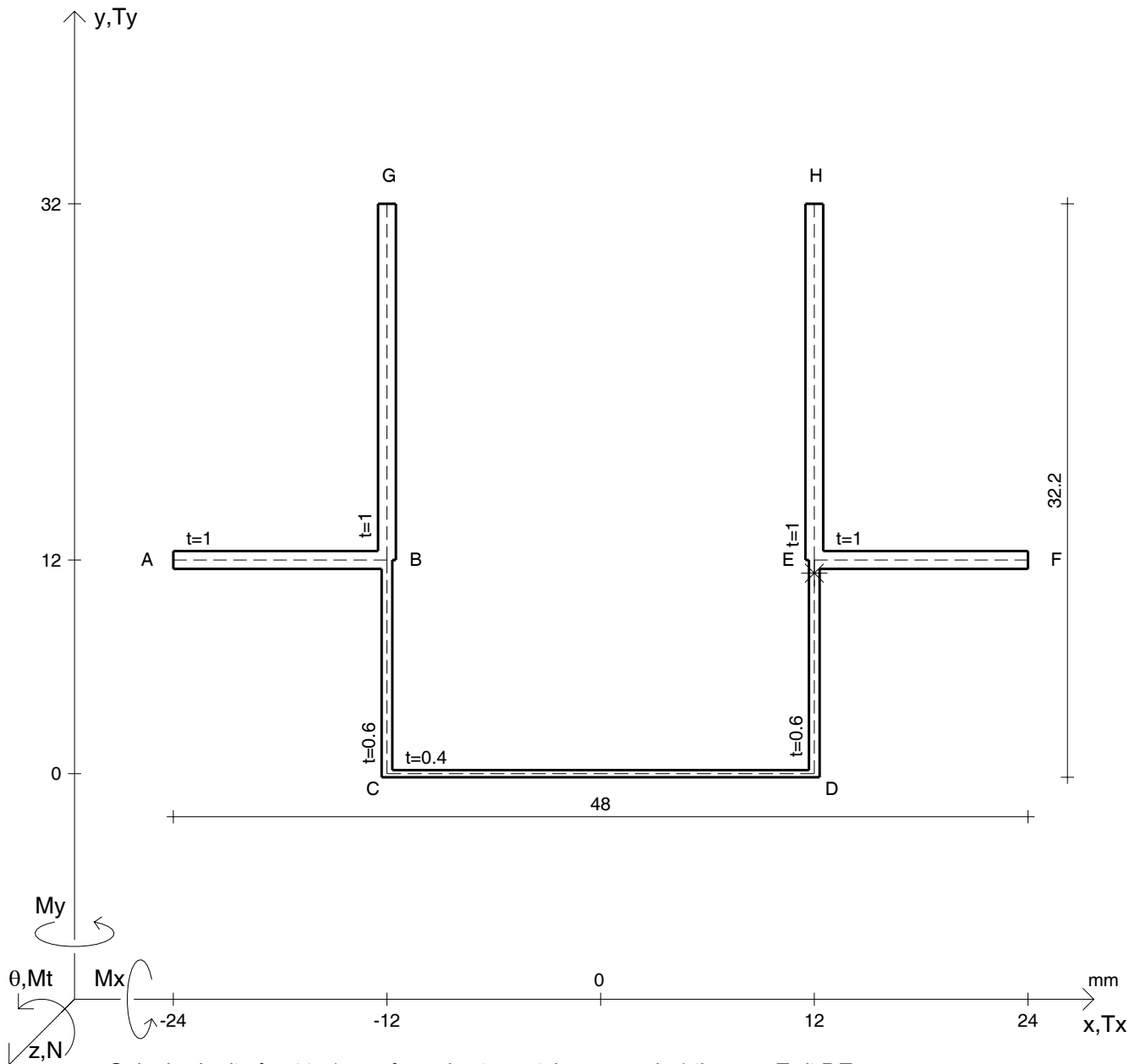
Rappresentare il cerchio di Mohr

Operare le conclusioni sulla verifica di resistenza in *

Facoltativo: rappresentare l'asse neutro e l'andamento delle tens. normali.

Facoltativo: rappresentare l'andamento delle tens. tangenziali.

N	$= 5530 \text{ N}$	M_x	$= 42200 \text{ Nmm}$	G	$= 75000 \text{ N/mm}^2$
T_y	$= 2330 \text{ N}$	σ_a	$= 240 \text{ N/mm}^2$	σ_{ld}	$=$
M_t	$= 1820 \text{ Nmm}$	E	$= 200000 \text{ N/mm}^2$	σ_{lld}	$=$
y_G	$=$	$\tau(M_t)_d$	$=$	σ_{tresca}	$=$
u_o	$=$	$\tau(T_{yc})$	$=$	σ_{mises}	$=$
v_o	$=$	$\tau(T_{yb})_d$	$=$	$\sigma_{st.ven}$	$=$
A	$=$	$\tau(T_y)_s$	$=$	θ_t	$=$
C_w	$=$	$\tau(T_y)_d$	$=$	r_u	$=$
J_u	$=$	σ	$=$	r_v	$=$
J_v	$=$	τ_s	$=$	r_o	$=$
J_t	$=$	τ_d	$=$	J_p	$=$
$\sigma(N)$	$=$	σ_{ls}	$=$		
$\sigma(M_x)$	$=$	σ_{lls}	$=$		



Calcolo degli sforzi in * con forze baricentriche essendo * il punto E di DE

Rappresentare sul foglio, in scala: G, assi u,v, ellisse d'inertia, C.T.

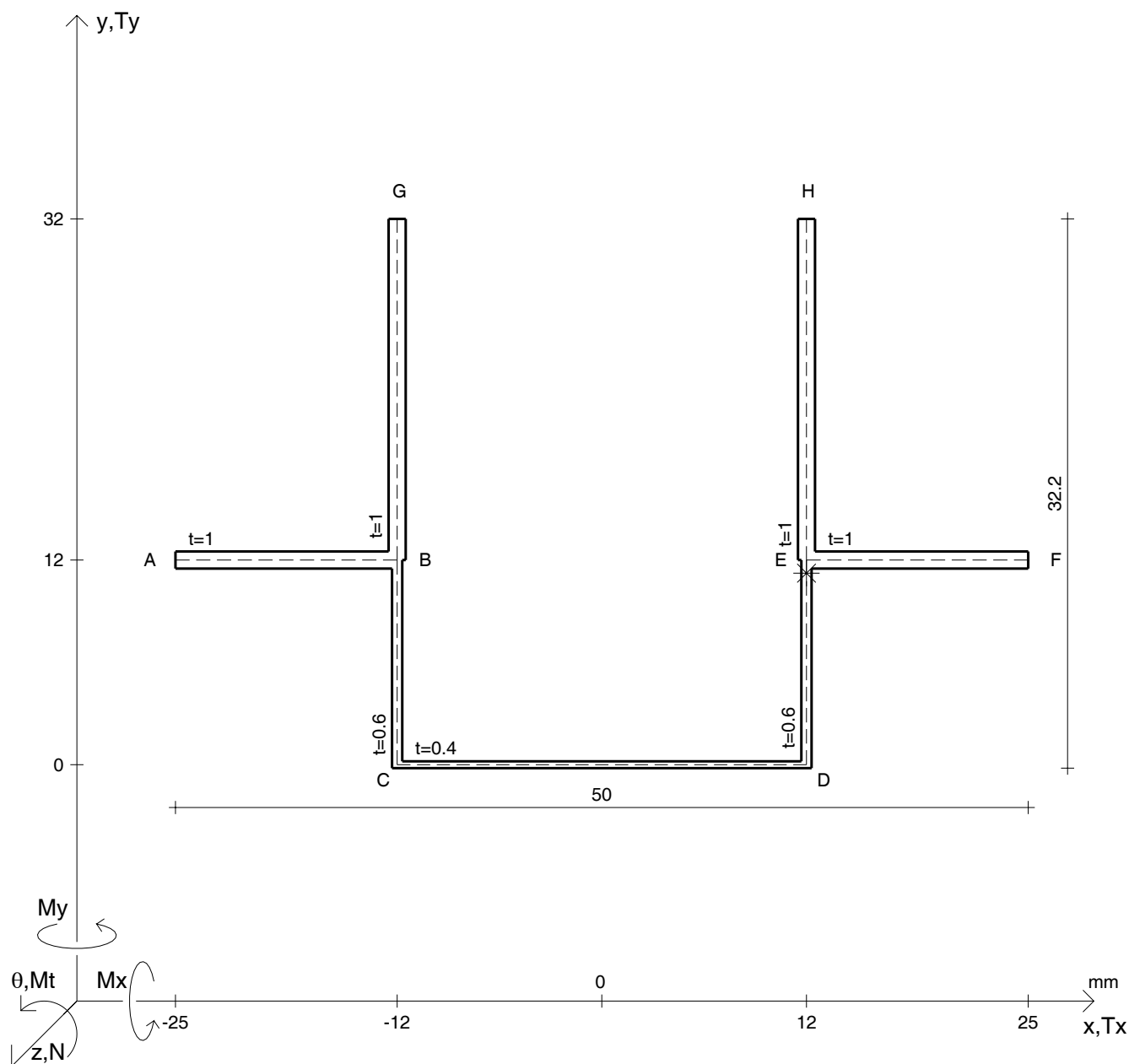
Rappresentare il cerchio di Mohr

Operare le conclusioni sulla verifica di resistenza in *

Facoltativo: rappresentare l'asse neutro e l'andamento delle tens. normali.

Facoltativo: rappresentare l'andamento delle tens. tangenziali.

N	$= 6320 \text{ N}$	M_x	$= 31300 \text{ Nmm}$	G	$= 75000 \text{ N/mm}^2$
T_y	$= 2590 \text{ N}$	σ_a	$= 240 \text{ N/mm}^2$	σ_{ld}	$=$
M_t	$= 2050 \text{ Nmm}$	E	$= 200000 \text{ N/mm}^2$	σ_{lld}	$=$
y_G	$=$	$\tau(M_t)_d$	$=$	σ_{tresca}	$=$
u_o	$=$	$\tau(T_{yc})$	$=$	σ_{mises}	$=$
v_o	$=$	$\tau(T_{yb})_d$	$=$	$\sigma_{st.ven}$	$=$
A	$=$	$\tau(T_y)_s$	$=$	θ_t	$=$
C_w	$=$	$\tau(T_y)_d$	$=$	r_u	$=$
J_u	$=$	σ	$=$	r_v	$=$
J_v	$=$	τ_s	$=$	r_o	$=$
J_t	$=$	τ_d	$=$	J_p	$=$
$\sigma(N)$	$=$	σ_{ls}	$=$		
$\sigma(M_x)$	$=$	σ_{lls}	$=$		



Calcolo degli sforzi in * con forze baricentriche essendo * il punto E di DE

Rappresentare sul foglio, in scala: G, assi u,v, ellisse d'inerzia, C.T.

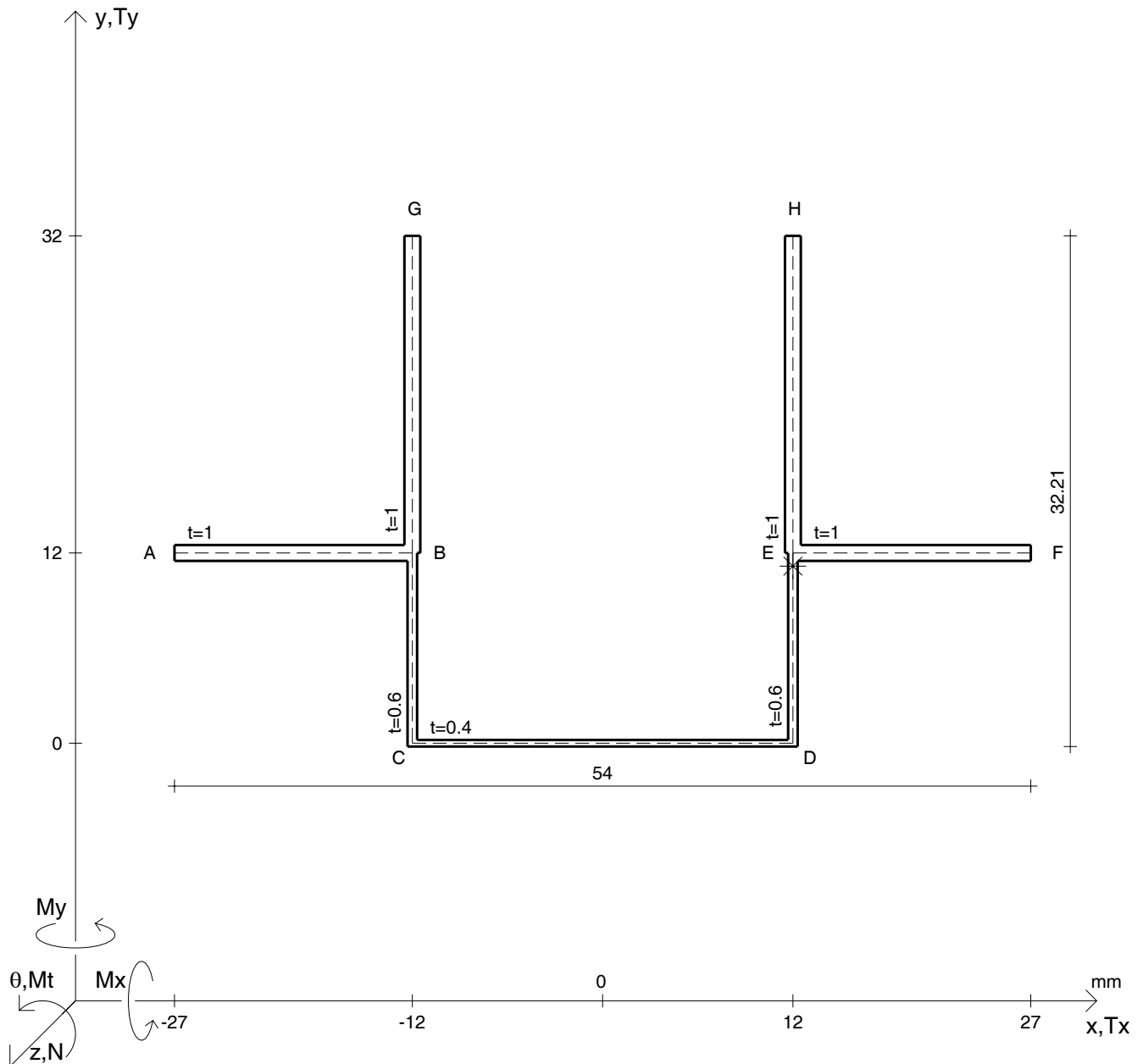
Rappresentare il cerchio di Mohr

Operare le conclusioni sulla verifica di resistenza in *

Facoltativo: rappresentare l'asse neutro e l'andamento delle tens. normali.

Facoltativo: rappresentare l'andamento delle tens. tangenziali.

N	$= 7140 \text{ N}$	M_x	$= 35200 \text{ Nmm}$	G	$= 75000 \text{ N/mm}^2$
T_y	$= 2850 \text{ N}$	σ_a	$= 240 \text{ N/mm}^2$	σ_{ld}	$=$
M_t	$= 1550 \text{ Nmm}$	E	$= 200000 \text{ N/mm}^2$	σ_{lld}	$=$
y_G	$=$	$\tau(M_t)_d$	$=$	σ_{tresca}	$=$
u_o	$=$	$\tau(T_{yc})$	$=$	σ_{mises}	$=$
v_o	$=$	$\tau(T_{yb})_d$	$=$	$\sigma_{st.ven}$	$=$
A	$=$	$\tau(T_y)_s$	$=$	θ_t	$=$
C_w	$=$	$\tau(T_y)_d$	$=$	r_u	$=$
J_u	$=$	σ	$=$	r_v	$=$
J_v	$=$	τ_s	$=$	r_o	$=$
J_t	$=$	τ_d	$=$	J_p	$=$
$\sigma(N)$	$=$	σ_{ls}	$=$		
$\sigma(M_x)$	$=$	σ_{lls}	$=$		



Calcolo degli sforzi in * con forze baricentriche essendo * il punto E di DE

Rappresentare sul foglio, in scala: G, assi u,v, ellisse d'inertia, C.T.

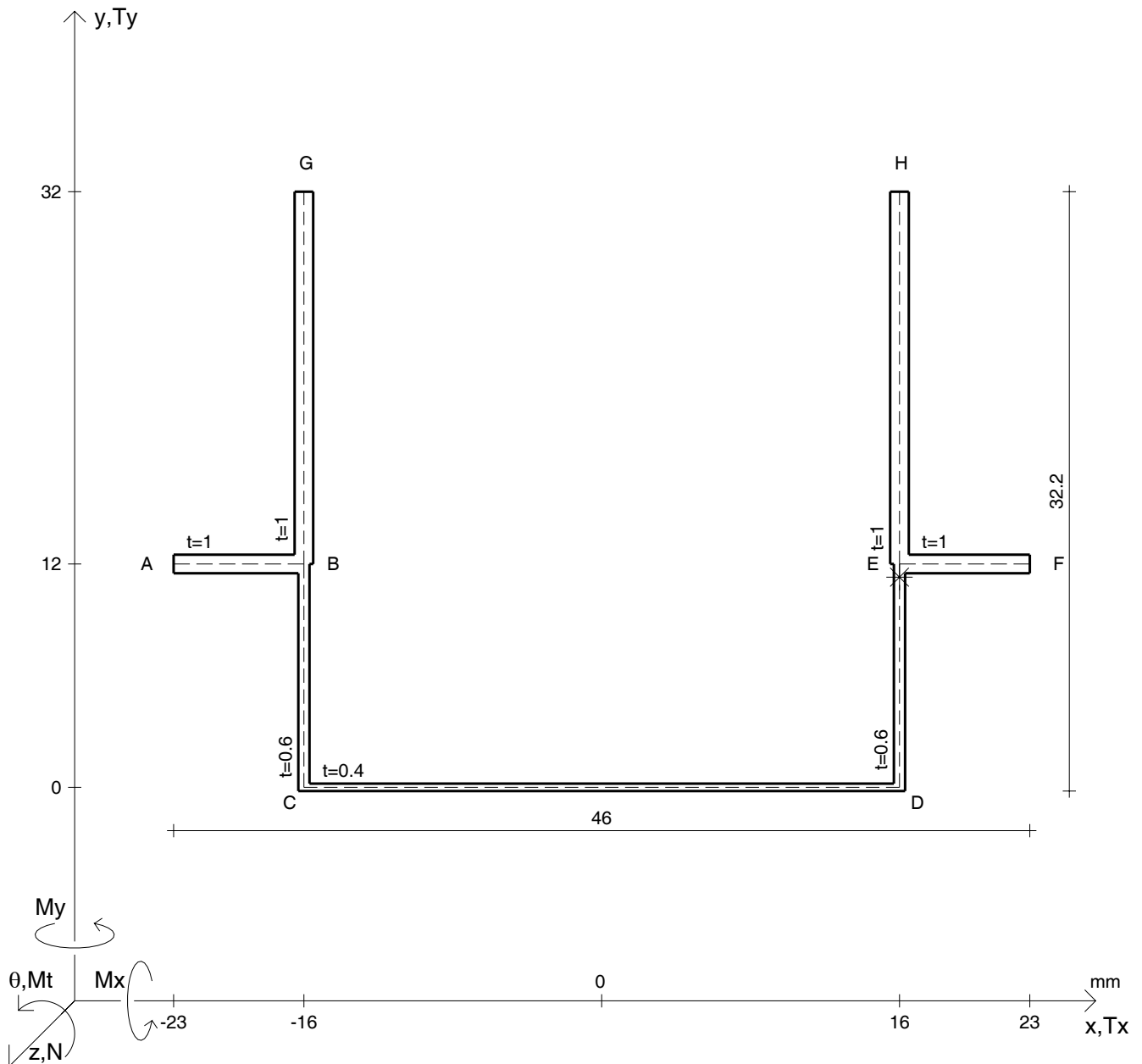
Rappresentare il cerchio di Mohr

Operare le conclusioni sulla verifica di resistenza in *

Facoltativo: rappresentare l'asse neutro e l'andamento delle tens. normali.

Facoltativo: rappresentare l'andamento delle tens. tangenziali.

N	$= 6030 \text{ N}$	M_x	$= 42900 \text{ Nmm}$	G	$= 75000 \text{ N/mm}^2$
T_y	$= 2380 \text{ N}$	σ_a	$= 240 \text{ N/mm}^2$	σ_{ld}	$=$
M_t	$= 2020 \text{ Nmm}$	E	$= 200000 \text{ N/mm}^2$	σ_{lld}	$=$
y_G	$=$	$\tau(M_t)_d$	$=$	σ_{tresca}	$=$
u_o	$=$	$\tau(T_{yc})$	$=$	σ_{mises}	$=$
v_o	$=$	$\tau(T_{yb})_d$	$=$	$\sigma_{st.ven}$	$=$
A	$=$	$\tau(T_y)_s$	$=$	θ_t	$=$
C_w	$=$	$\tau(T_y)_d$	$=$	r_u	$=$
J_u	$=$	σ	$=$	r_v	$=$
J_v	$=$	τ_s	$=$	r_o	$=$
J_t	$=$	τ_d	$=$	J_p	$=$
$\sigma(N)$	$=$	σ_{ls}	$=$		
$\sigma(M_x)$	$=$	σ_{lls}	$=$		



Calcolo degli sforzi in * con forze baricentriche essendo * il punto E di DE

Rappresentare sul foglio, in scala: G, assi u,v, ellisse d'inerzia, C.T.

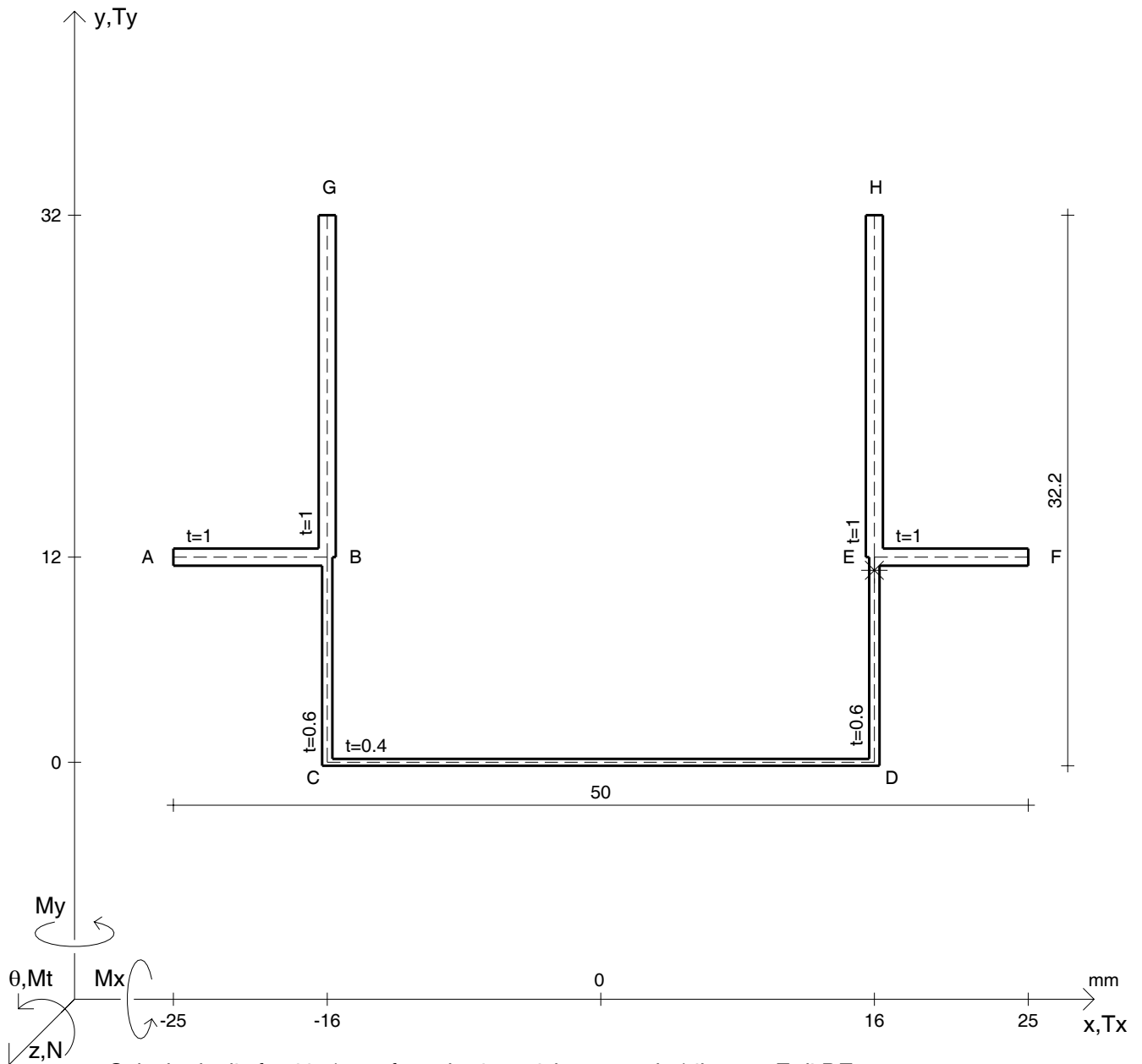
Rappresentare il cerchio di Mohr

Operare le conclusioni sulla verifica di resistenza in *

Facoltativo: rappresentare l'asse neutro e l'andamento delle tens. normali.

Facoltativo: rappresentare l'andamento delle tens. tangenziali.

N	$= 5800 \text{ N}$	M_x	$= 34500 \text{ Nmm}$	G	$= 75000 \text{ N/mm}^2$
T_y	$= 2440 \text{ N}$	σ_a	$= 240 \text{ N/mm}^2$		
M_t	$= 1760 \text{ Nmm}$	E	$= 200000 \text{ N/mm}^2$		
y_G	$=$	$\tau(M_t)_d$	$=$	σ_{ld}	$=$
u_o	$=$	$\tau(T_{yc})$	$=$	σ_{lld}	$=$
v_o	$=$	$\tau(T_{yb})_d$	$=$	σ_{tresca}	$=$
A	$=$	$\tau(T_y)_s$	$=$	σ_{mises}	$=$
C_w	$=$	$\tau(T_y)_d$	$=$	$\sigma_{st.ven}$	$=$
J_u	$=$	σ	$=$	θ_t	$=$
J_v	$=$	τ_s	$=$	r_u	$=$
J_t	$=$	τ_d	$=$	r_v	$=$
$\sigma(N)$	$=$	σ_{ls}	$=$	r_o	$=$
$\sigma(M_x)$	$=$	σ_{lls}	$=$	J_p	$=$



Calcolo degli sforzi in * con forze baricentriche essendo * il punto E di DE

Rappresentare sul foglio, in scala: G, assi u,v, ellisse d'inertia, C.T.

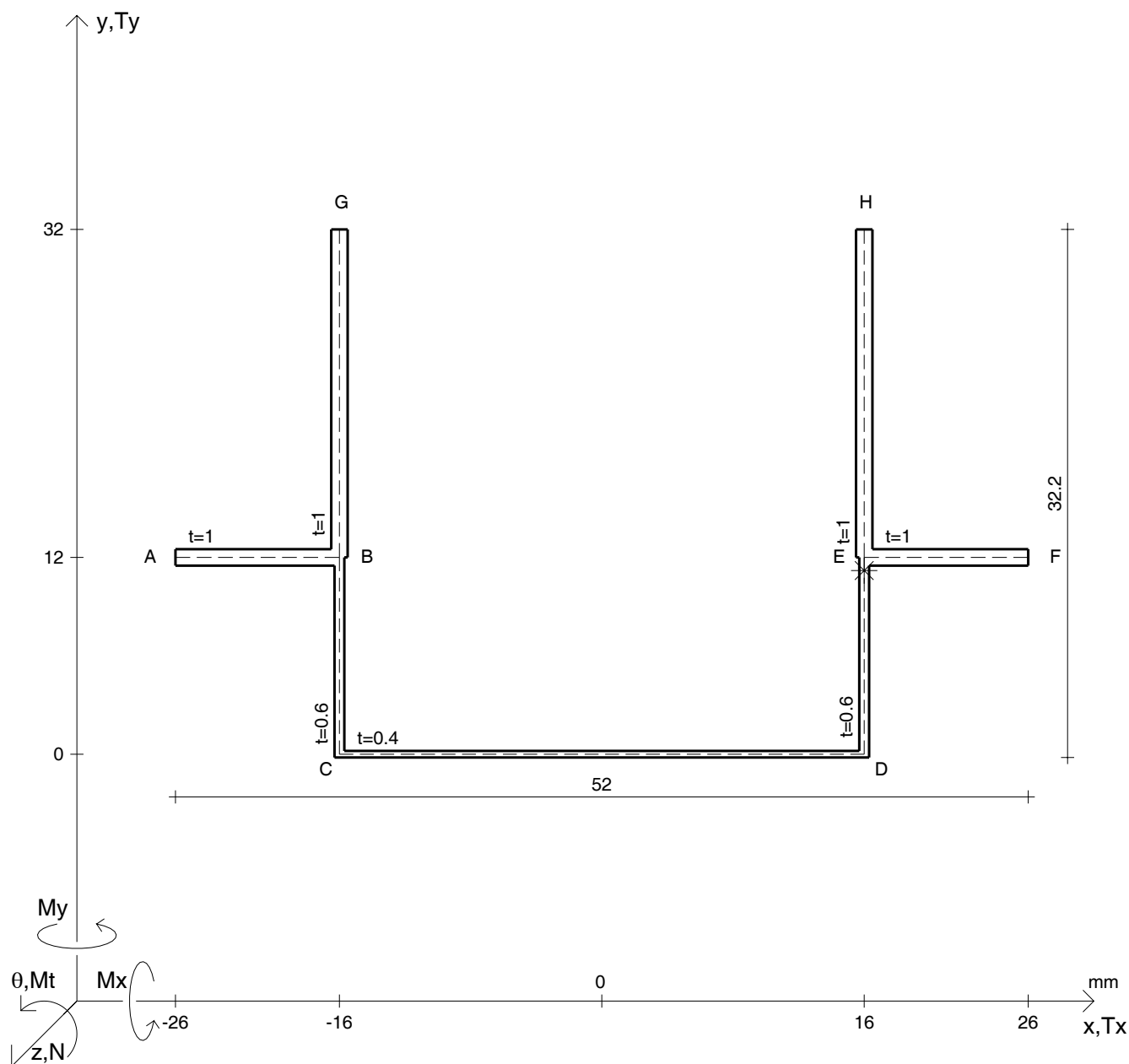
Rappresentare il cerchio di Mohr

Operare le conclusioni sulla verifica di resistenza in *

Facoltativo: rappresentare l'asse neutro e l'andamento delle tens. normali.

Facoltativo: rappresentare l'andamento delle tens. tangenziali.

N	$= 7360 \text{ N}$	M_x	$= 43000 \text{ Nmm}$	G	$= 75000 \text{ N/mm}^2$
T_y	$= 1990 \text{ N}$	σ_a	$= 240 \text{ N/mm}^2$	σ_{ld}	$=$
M_t	$= 1550 \text{ Nmm}$	E	$= 200000 \text{ N/mm}^2$	σ_{lld}	$=$
y_G	$=$	$\tau(M_t)_d$	$=$	σ_{tresca}	$=$
u_o	$=$	$\tau(T_{yc})$	$=$	σ_{mises}	$=$
v_o	$=$	$\tau(T_{yb})_d$	$=$	$\sigma_{st.ven}$	$=$
A	$=$	$\tau(T_y)_s$	$=$	θ_t	$=$
C_w	$=$	$\tau(T_y)_d$	$=$	r_u	$=$
J_u	$=$	σ	$=$	r_v	$=$
J_v	$=$	τ_s	$=$	r_o	$=$
J_t	$=$	τ_d	$=$	J_p	$=$
$\sigma(N)$	$=$	σ_{ls}	$=$		
$\sigma(M_x)$	$=$	σ_{lls}	$=$		



Calcolo degli sforzi in * con forze baricentriche essendo * il punto E di DE

Rappresentare sul foglio, in scala: G, assi u,v, ellisse d'inertia, C.T.

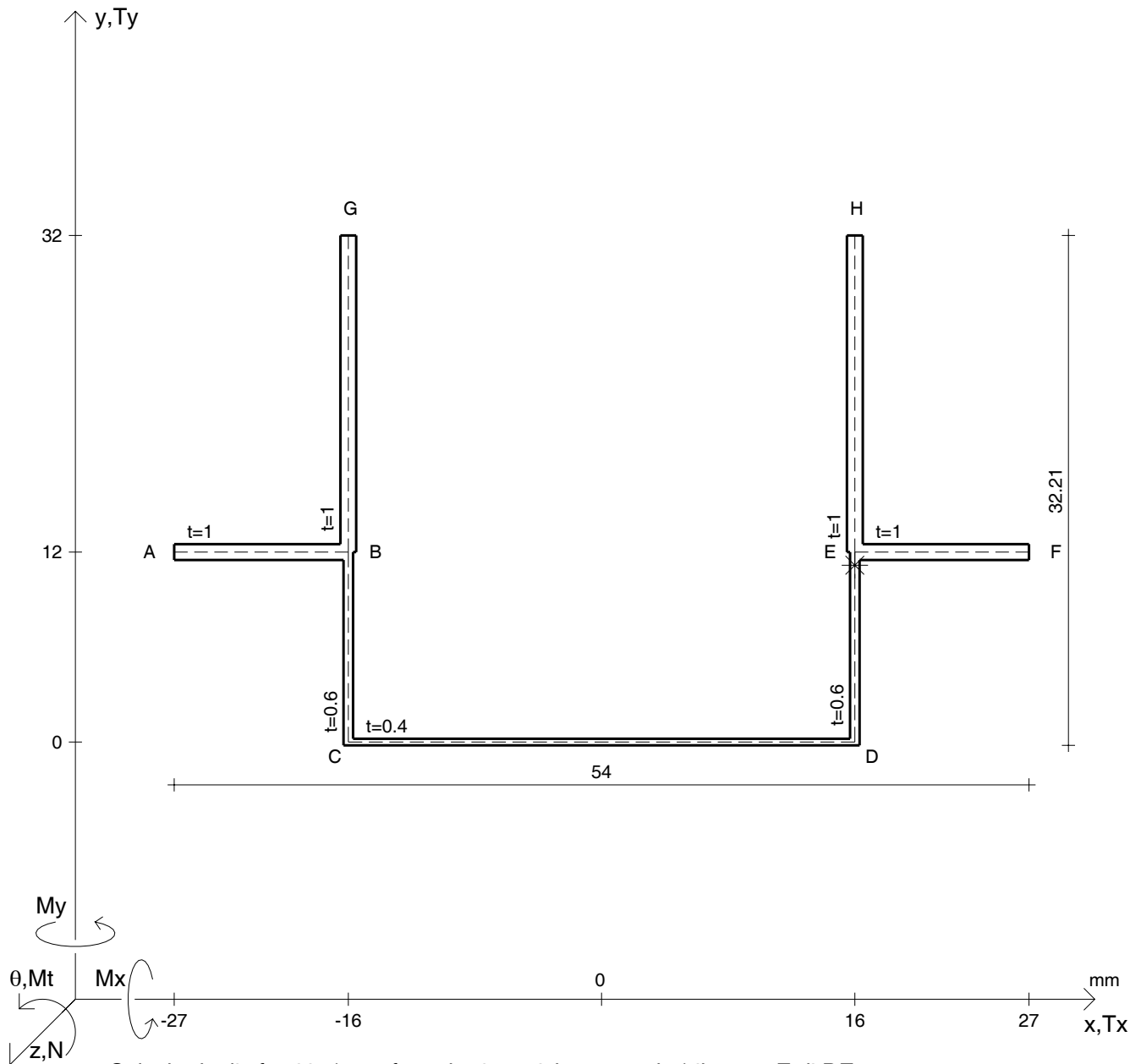
Rappresentare il cerchio di Mohr

Operare le conclusioni sulla verifica di resistenza in *

Facoltativo: rappresentare l'asse neutro e l'andamento delle tens. normali.

Facoltativo: rappresentare l'andamento delle tens. tangenziali.

N	$= 5560 \text{ N}$	M_x	$= 47200 \text{ Nmm}$	G	$= 75000 \text{ N/mm}^2$
T_y	$= 2230 \text{ N}$	σ_a	$= 240 \text{ N/mm}^2$		
M_t	$= -1760 \text{ Nmm}$	E	$= 200000 \text{ N/mm}^2$		
y_G	$=$	$\tau(M_t)_d$	$=$	σ_{ld}	$=$
u_o	$=$	$\tau(T_{yc})$	$=$	σ_{lld}	$=$
v_o	$=$	$\tau(T_{yb})_d$	$=$	σ_{tresca}	$=$
A	$=$	$\tau(T_y)_s$	$=$	σ_{mises}	$=$
C_w	$=$	$\tau(T_y)_d$	$=$	$\sigma_{st.ven}$	$=$
J_u	$=$	σ	$=$	θ_t	$=$
J_v	$=$	τ_s	$=$	r_u	$=$
J_t	$=$	τ_d	$=$	r_v	$=$
$\sigma(N)$	$=$	σ_{ls}	$=$	r_o	$=$
$\sigma(M_x)$	$=$	σ_{lls}	$=$	J_p	$=$



Calcolo degli sforzi in * con forze baricentriche essendo * il punto E di DE

Rappresentare sul foglio, in scala: G, assi u,v, ellisse d'inertia, C.T.

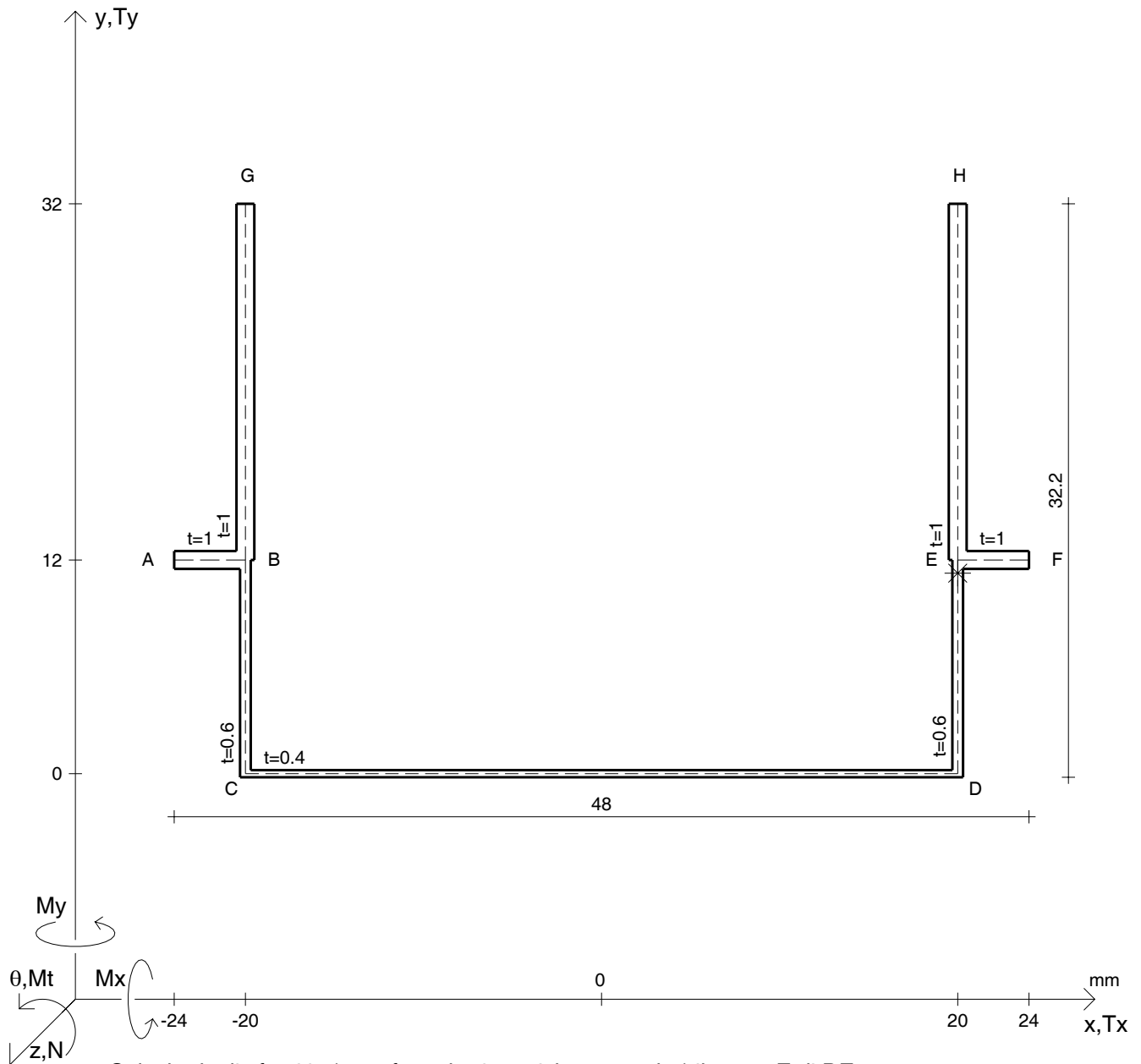
Rappresentare il cerchio di Mohr

Operare le conclusioni sulla verifica di resistenza in *

Facoltativo: rappresentare l'asse neutro e l'andamento delle tens. normali.

Facoltativo: rappresentare l'andamento delle tens. tangenziali.

N	$= 6360 \text{ N}$	M_x	$= 35000 \text{ Nmm}$	G	$= 75000 \text{ N/mm}^2$
T_y	$= 2480 \text{ N}$	σ_a	$= 240 \text{ N/mm}^2$	σ_{ld}	$=$
M_t	$= 1990 \text{ Nmm}$	E	$= 200000 \text{ N/mm}^2$	σ_{lld}	$=$
y_G	$=$	$\tau(M_t)_d$	$=$	σ_{tresca}	$=$
u_o	$=$	$\tau(T_{yc})$	$=$	σ_{mises}	$=$
v_o	$=$	$\tau(T_{yb})_d$	$=$	$\sigma_{st.ven}$	$=$
A	$=$	$\tau(T_y)_s$	$=$	θ_t	$=$
C_w	$=$	$\tau(T_y)_d$	$=$	r_u	$=$
J_u	$=$	σ	$=$	r_v	$=$
J_v	$=$	τ_s	$=$	r_o	$=$
J_t	$=$	τ_d	$=$	J_p	$=$
$\sigma(N)$	$=$	σ_{ls}	$=$		
$\sigma(M_x)$	$=$	σ_{lls}	$=$		



Calcolo degli sforzi in * con forze baricentriche essendo * il punto E di DE

Rappresentare sul foglio, in scala: G, assi u,v, ellisse d'inertia, C.T.

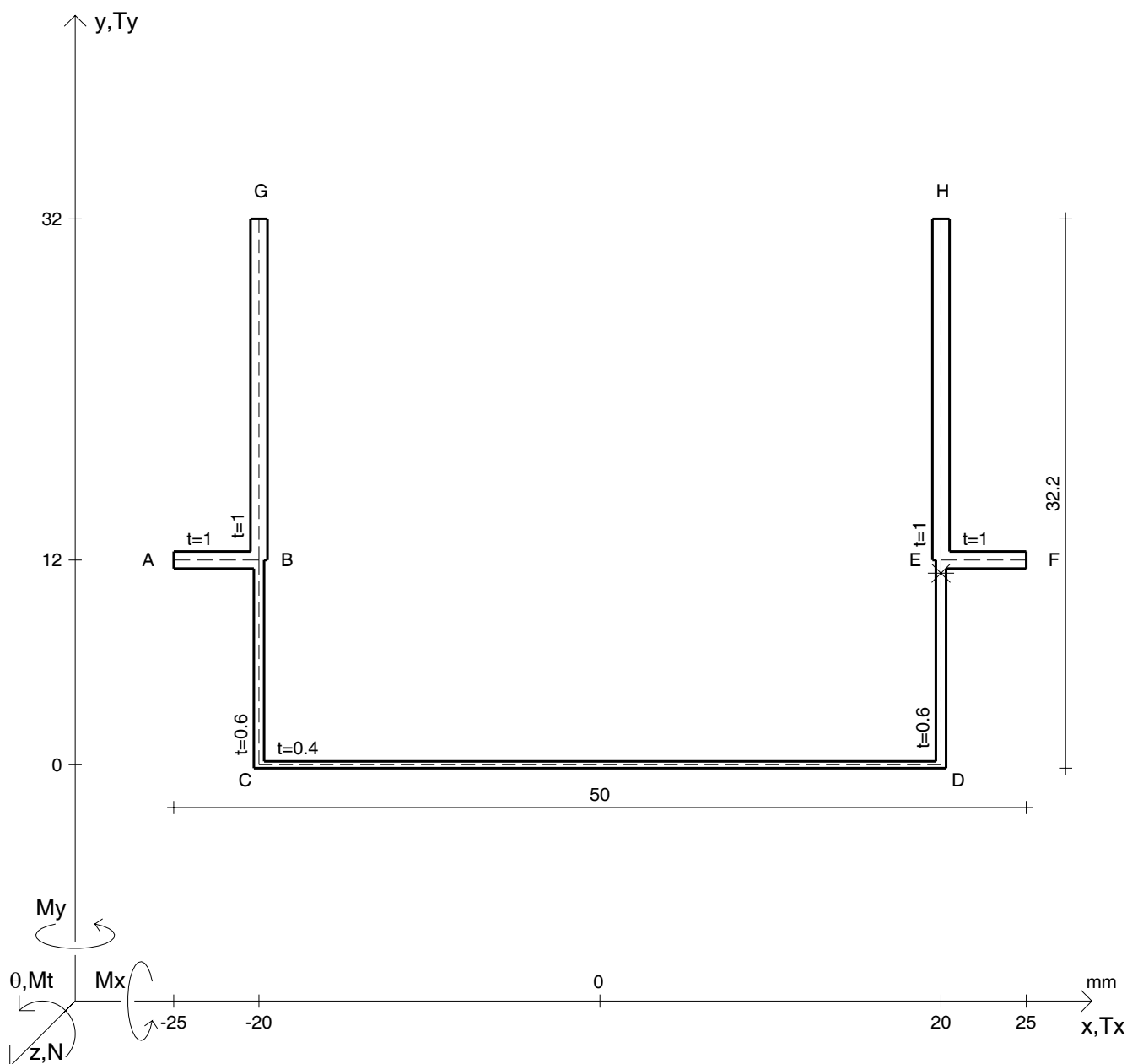
Rappresentare il cerchio di Mohr

Operare le conclusioni sulla verifica di resistenza in *

Facoltativo: rappresentare l'asse neutro e l'andamento delle tens. normali.

Facoltativo: rappresentare l'andamento delle tens. tangenziali.

N	$= 6730 \text{ N}$	M_x	$= 47100 \text{ Nmm}$	G	$= 75000 \text{ N/mm}^2$
T_y	$= 1900 \text{ N}$	σ_a	$= 240 \text{ N/mm}^2$	σ_{ld}	$=$
M_t	$= 1310 \text{ Nmm}$	E	$= 200000 \text{ N/mm}^2$	σ_{lld}	$=$
y_G	$=$	$\tau(M_t)_d$	$=$	σ_{tresca}	$=$
u_o	$=$	$\tau(T_{yc})$	$=$	σ_{mises}	$=$
v_o	$=$	$\tau(T_{yb})_d$	$=$	$\sigma_{st.ven}$	$=$
A	$=$	$\tau(T_y)_s$	$=$	θ_t	$=$
C_w	$=$	$\tau(T_y)_d$	$=$	r_u	$=$
J_u	$=$	σ	$=$	r_v	$=$
J_v	$=$	τ_s	$=$	r_o	$=$
J_t	$=$	τ_d	$=$	J_p	$=$
$\sigma(N)$	$=$	σ_{ls}	$=$		
$\sigma(M_x)$	$=$	σ_{lls}	$=$		



Calcolo degli sforzi in * con forze baricentriche essendo * il punto E di DE

Rappresentare sul foglio, in scala: G, assi u,v, ellisse d'inertia, C.T.

Rappresentare il cerchio di Mohr

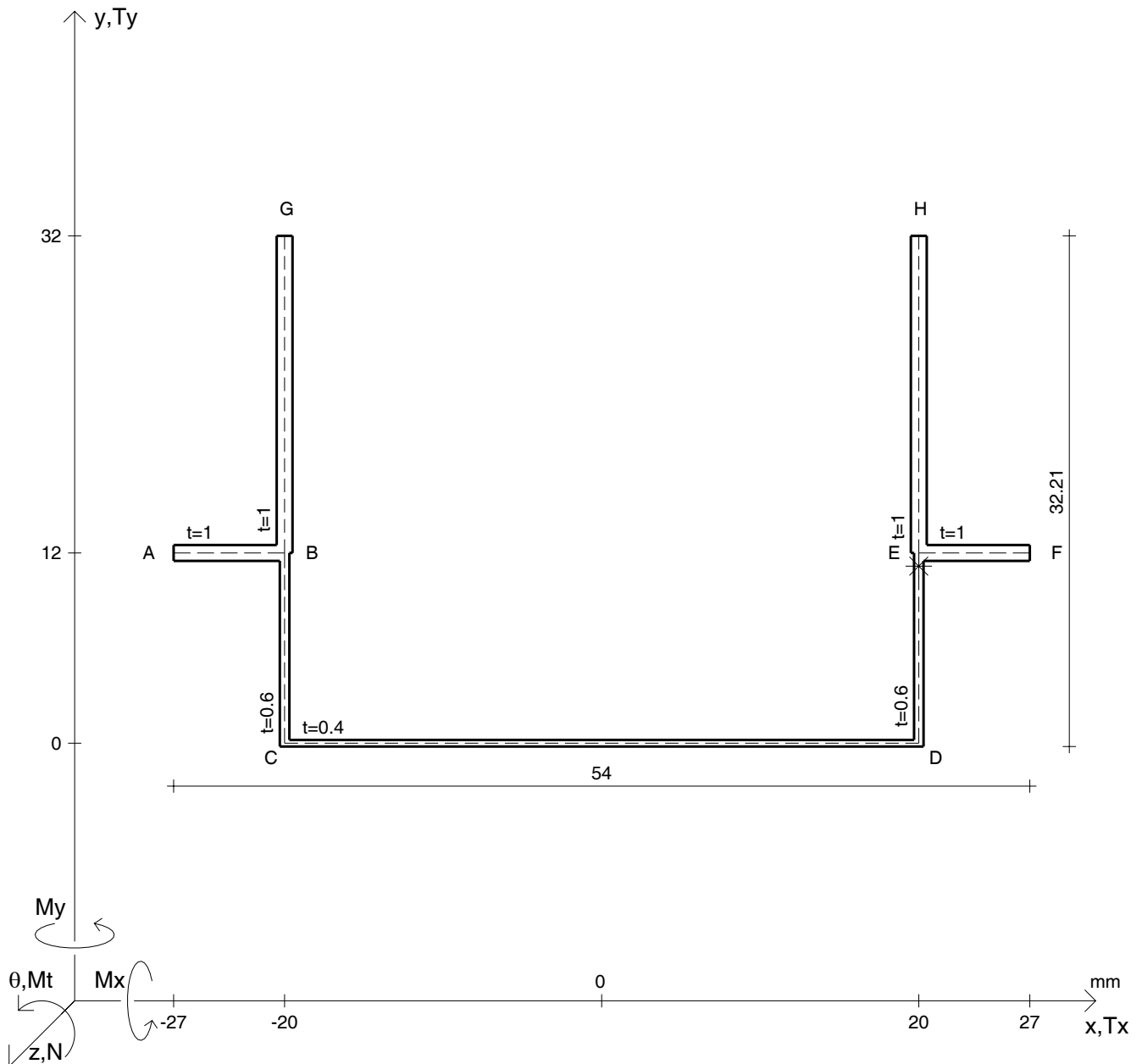
Operare le conclusioni sulla verifica di resistenza in *

Facoltativo: rappresentare l'asse neutro e l'andamento delle tens. normali.

Facoltativo: rappresentare l'andamento delle tens. tangenziali.

N	$= 5100 \text{ N}$	M_x	$= 51700 \text{ Nmm}$	G	$= 75000 \text{ N/mm}^2$
T_y	$= 2130 \text{ N}$	σ_a	$= 240 \text{ N/mm}^2$	σ_{ld}	$=$
M_t	$= 1500 \text{ Nmm}$	E	$= 200000 \text{ N/mm}^2$	σ_{lld}	$=$
y_G	$=$	$\tau(M_t)_d$	$=$	σ_{tresca}	$=$
u_o	$=$	$\tau(T_{yc})$	$=$	σ_{mises}	$=$
v_o	$=$	$\tau(T_{yb})_d$	$=$	$\sigma_{st.ven}$	$=$
A	$=$	$\tau(T_y)_s$	$=$	θ_t	$=$
C_w	$=$	$\tau(T_y)_d$	$=$	r_u	$=$
J_u	$=$	σ	$=$	r_v	$=$
J_v	$=$	τ_s	$=$	r_o	$=$
J_t	$=$	τ_d	$=$	J_p	$=$
$\sigma(N)$	$=$	σ_{ls}	$=$		
$\sigma(M_x)$	$=$	σ_{lls}	$=$		





Calcolo degli sforzi in * con forze baricentriche essendo * il punto E di DE

Rappresentare sul foglio, in scala: G, assi u,v, ellisse d'inertia, C.T.

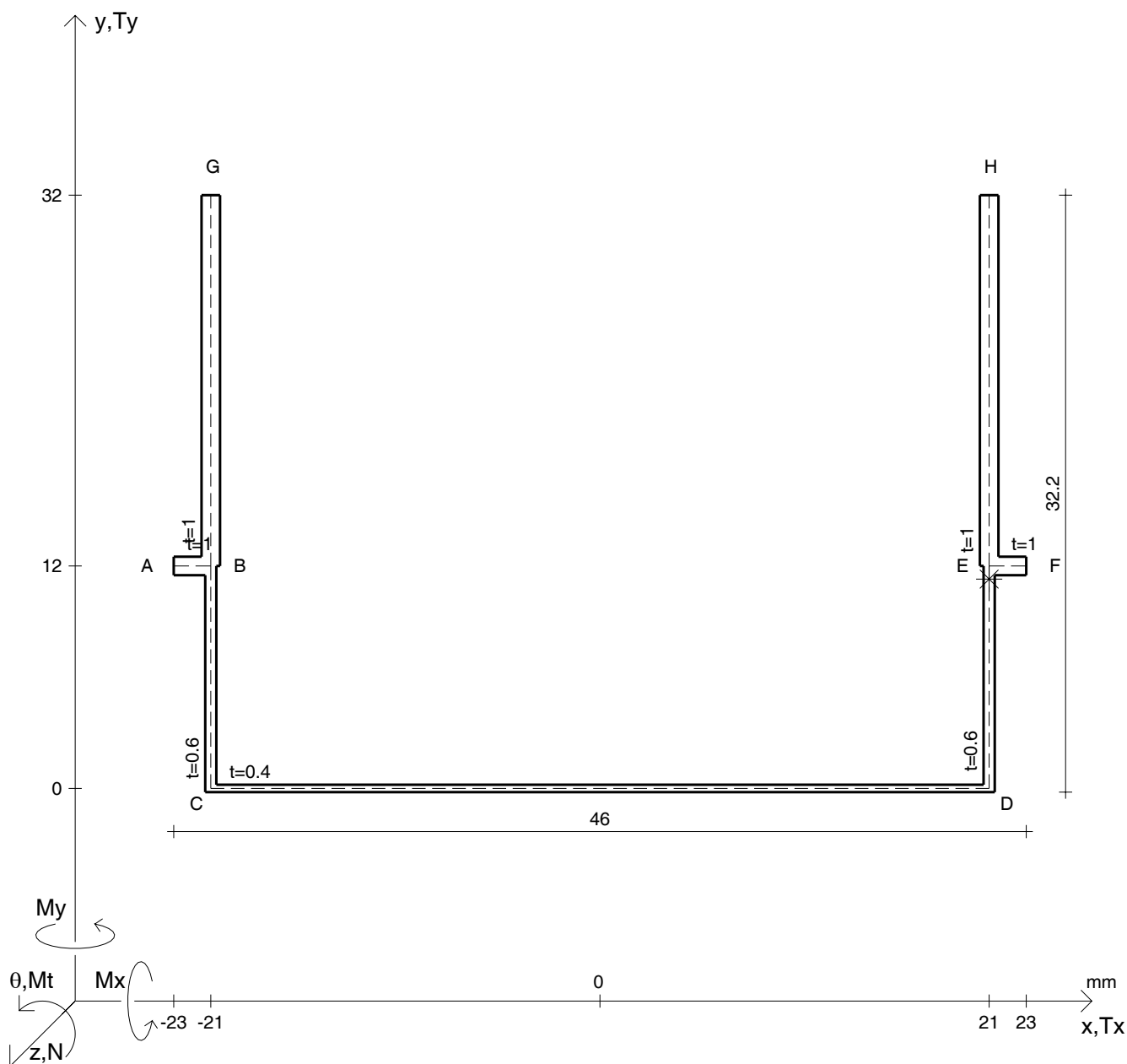
Rappresentare il cerchio di Mohr

Operare le conclusioni sulla verifica di resistenza in *

Facoltativo: rappresentare l'asse neutro e l'andamento delle tens. normali.

Facoltativo: rappresentare l'andamento delle tens. tangenziali.

N	$= 6610 \text{ N}$	M_x	$= 42900 \text{ Nmm}$	G	$= 75000 \text{ N/mm}^2$
T_y	$= 2600 \text{ N}$	σ_a	$= 240 \text{ N/mm}^2$		
M_t	$= 1300 \text{ Nmm}$	E	$= 200000 \text{ N/mm}^2$		
y_G	$=$	$\tau(M_t)_d$	$=$	σ_{ld}	$=$
u_o	$=$	$\tau(T_{yc})$	$=$	σ_{lld}	$=$
v_o	$=$	$\tau(T_{yb})_d$	$=$	σ_{tresca}	$=$
A	$=$	$\tau(T_y)_s$	$=$	σ_{mises}	$=$
C_w	$=$	$\tau(T_y)_d$	$=$	$\sigma_{st.ven}$	$=$
J_u	$=$	σ	$=$	θ_t	$=$
J_v	$=$	τ_s	$=$	r_u	$=$
J_t	$=$	τ_d	$=$	r_v	$=$
$\sigma(N)$	$=$	σ_{ls}	$=$	r_o	$=$
$\sigma(M_x)$	$=$	σ_{lls}	$=$	J_p	$=$



Calcolo degli sforzi in * con forze baricentriche essendo * il punto E di DE

Rappresentare sul foglio, in scala: G, assi u,v, ellisse d'inerzia, C.T.

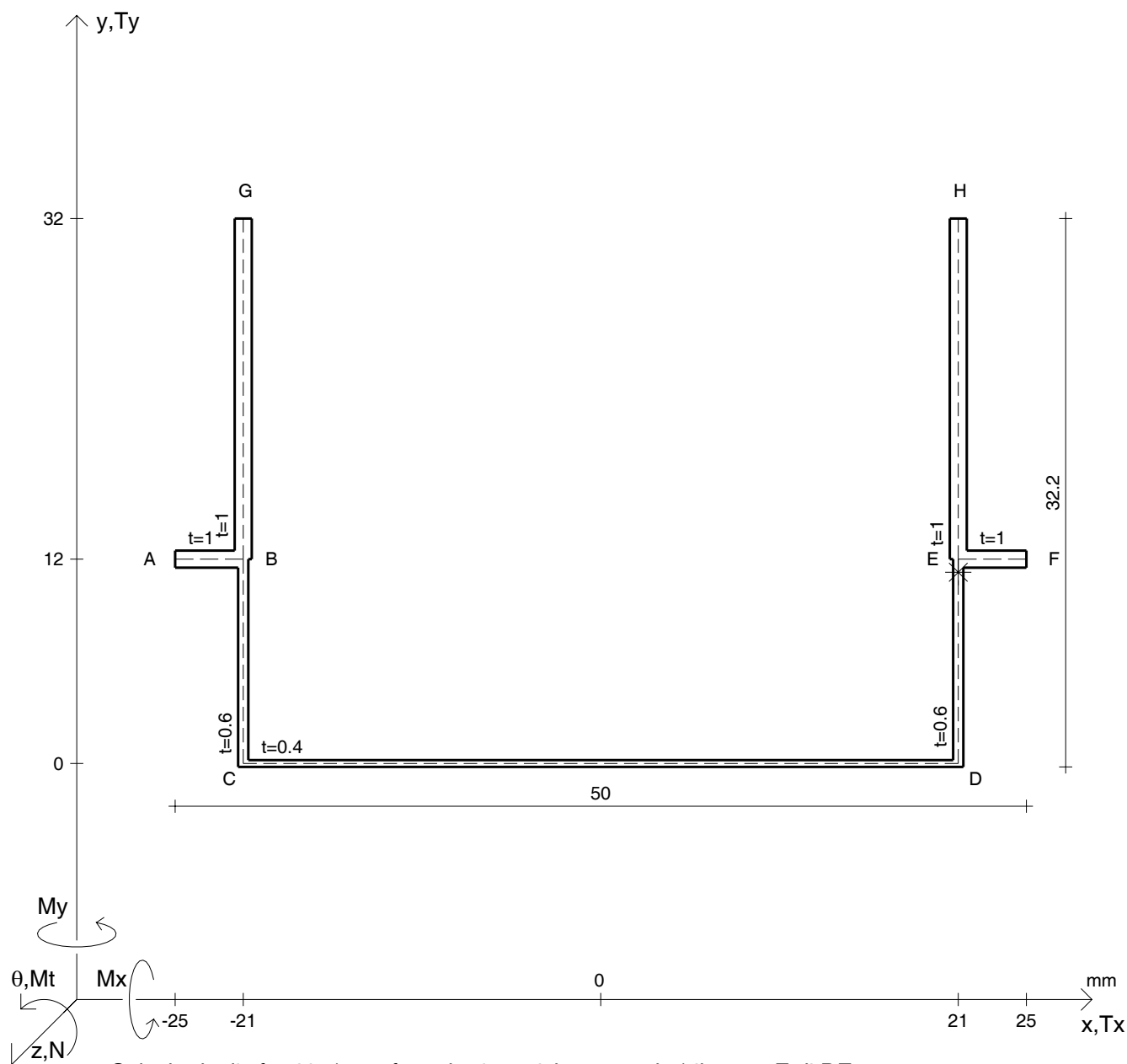
Rappresentare il cerchio di Mohr

Operare le conclusioni sulla verifica di resistenza in *

Facoltativo: rappresentare l'asse neutro e l'andamento delle tens. normali.

Facoltativo: rappresentare l'andamento delle tens. tangenziali.

N	$= 6500 \text{ N}$	M_x	$= 48400 \text{ Nmm}$	G	$= 75000 \text{ N/mm}^2$
T_y	$= 1860 \text{ N}$	σ_a	$= 240 \text{ N/mm}^2$		
M_t	$= 1230 \text{ Nmm}$	E	$= 200000 \text{ N/mm}^2$		
y_G	$=$	$\tau(M_t)_d$	$=$	σ_{ld}	$=$
u_o	$=$	$\tau(T_{yc})$	$=$	σ_{lld}	$=$
v_o	$=$	$\tau(T_{yb})_d$	$=$	σ_{tresca}	$=$
A	$=$	$\tau(T_y)_s$	$=$	σ_{mises}	$=$
C_w	$=$	$\tau(T_y)_d$	$=$	$\sigma_{st.ven}$	$=$
J_u	$=$	σ	$=$	θ_t	$=$
J_v	$=$	τ_s	$=$	r_u	$=$
J_t	$=$	τ_d	$=$	r_v	$=$
$\sigma(N)$	$=$	σ_{ls}	$=$	r_o	$=$
$\sigma(M_x)$	$=$	σ_{lls}	$=$	J_p	$=$



Calcolo degli sforzi in * con forze baricentriche essendo * il punto E di DE

Rappresentare sul foglio, in scala: G, assi u,v, ellisse d'inertia, C.T.

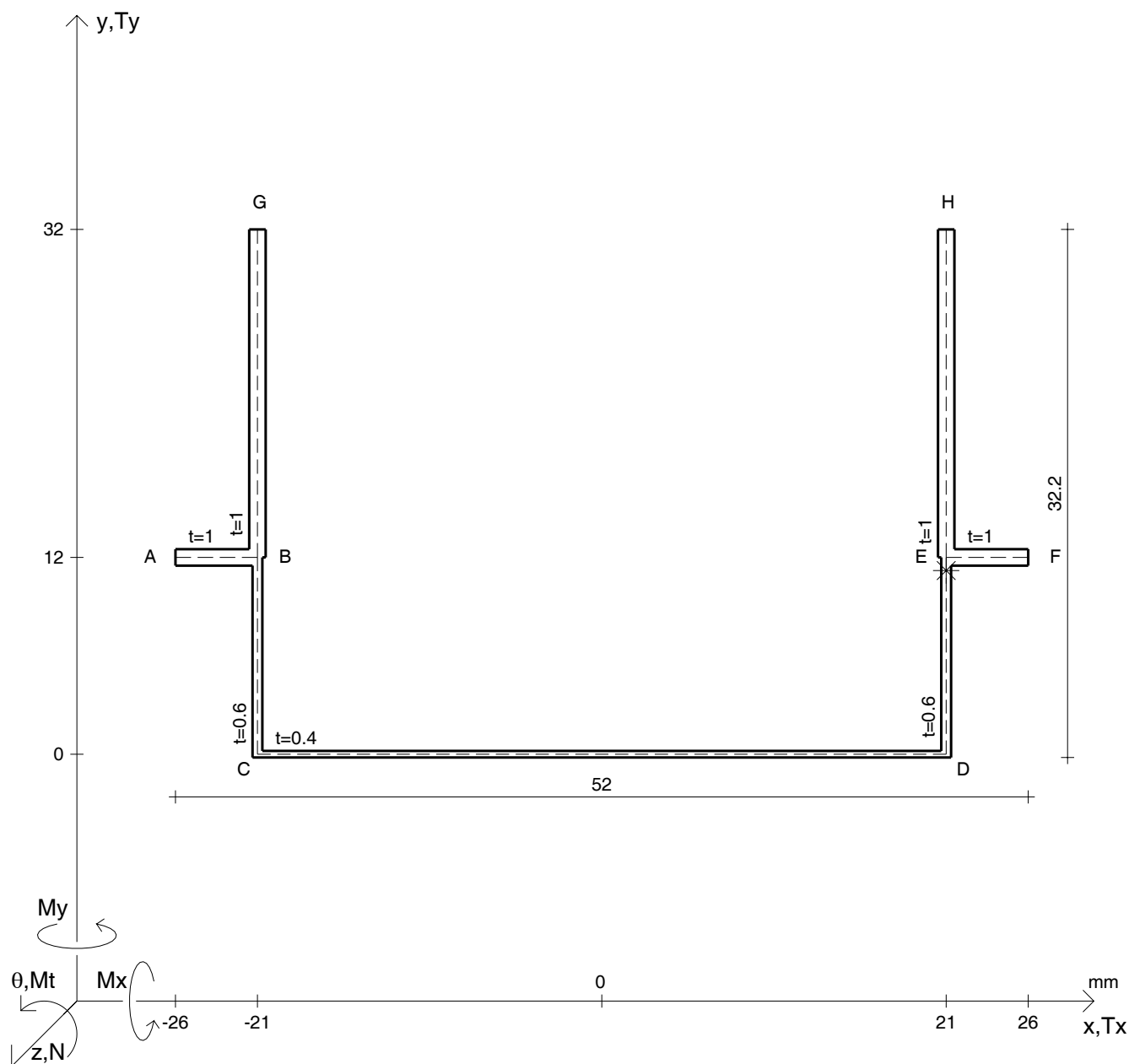
Rappresentare il cerchio di Mohr

Operare le conclusioni sulla verifica di resistenza in *

Facoltativo: rappresentare l'asse neutro e l'andamento delle tens. normali.

Facoltativo: rappresentare l'andamento delle tens. tangenziali.

N	$= 5650 \text{ N}$	M_x	$= 39400 \text{ Nmm}$	G	$= 75000 \text{ N/mm}^2$
T_y	$= 2320 \text{ N}$	σ_a	$= 240 \text{ N/mm}^2$	σ_{ld}	$=$
M_t	$= 1600 \text{ Nmm}$	E	$= 200000 \text{ N/mm}^2$	σ_{lld}	$=$
y_G	$=$	$\tau(M_t)_d$	$=$	σ_{tresca}	$=$
u_o	$=$	$\tau(T_{yc})$	$=$	σ_{mises}	$=$
v_o	$=$	$\tau(T_{yb})_d$	$=$	$\sigma_{st.ven}$	$=$
A	$=$	$\tau(T_y)_s$	$=$	θ_t	$=$
C_w	$=$	$\tau(T_y)_d$	$=$	r_u	$=$
J_u	$=$	σ	$=$	r_v	$=$
J_v	$=$	τ_s	$=$	r_o	$=$
J_t	$=$	τ_d	$=$	J_p	$=$
$\sigma(N)$	$=$	σ_{ls}	$=$		
$\sigma(M_x)$	$=$	σ_{lls}	$=$		



Calcolo degli sforzi in * con forze baricentriche essendo * il punto E di DE

Rappresentare sul foglio, in scala: G, assi u,v, ellisse d'inerzia, C.T.

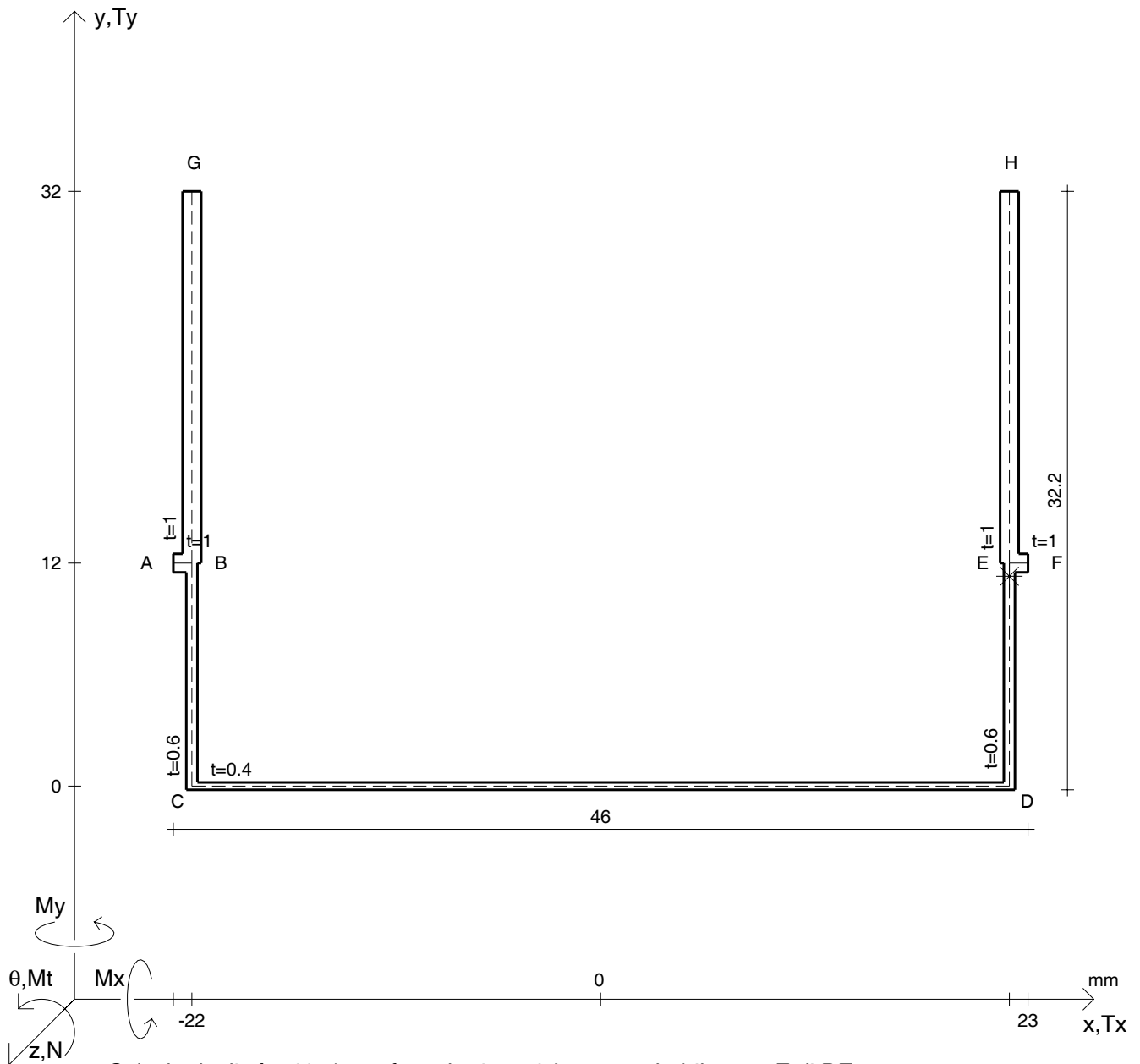
Rappresentare il cerchio di Mohr

Operare le conclusioni sulla verifica di resistenza in *

Facoltativo: rappresentare l'asse neutro e l'andamento delle tens. normali.

Facoltativo: rappresentare l'andamento delle tens. tangenziali.

N	$= 6400 \text{ N}$	M_x	$= 44200 \text{ Nmm}$	G	$= 75000 \text{ N/mm}^2$
T_y	$= 2540 \text{ N}$	σ_a	$= 240 \text{ N/mm}^2$		
M_t	$= 1230 \text{ Nmm}$	E	$= 200000 \text{ N/mm}^2$		
y_G	$=$	$\tau(M_t)_d$	$=$	σ_{ld}	$=$
u_o	$=$	$\tau(T_{yc})$	$=$	σ_{lld}	$=$
v_o	$=$	$\tau(T_{yb})_d$	$=$	σ_{tresca}	$=$
A	$=$	$\tau(T_y)_s$	$=$	σ_{mises}	$=$
C_w	$=$	$\tau(T_y)_d$	$=$	$\sigma_{st.ven}$	$=$
J_u	$=$	σ	$=$	θ_t	$=$
J_v	$=$	τ_s	$=$	r_u	$=$
J_t	$=$	τ_d	$=$	r_v	$=$
$\sigma(N)$	$=$	σ_{ls}	$=$	r_o	$=$
$\sigma(M_x)$	$=$	σ_{lls}	$=$	J_p	$=$



Calcolo degli sforzi in * con forze baricentriche essendo * il punto E di DE

Rappresentare sul foglio, in scala: G, assi u,v, ellisse d'inerzia, C.T.

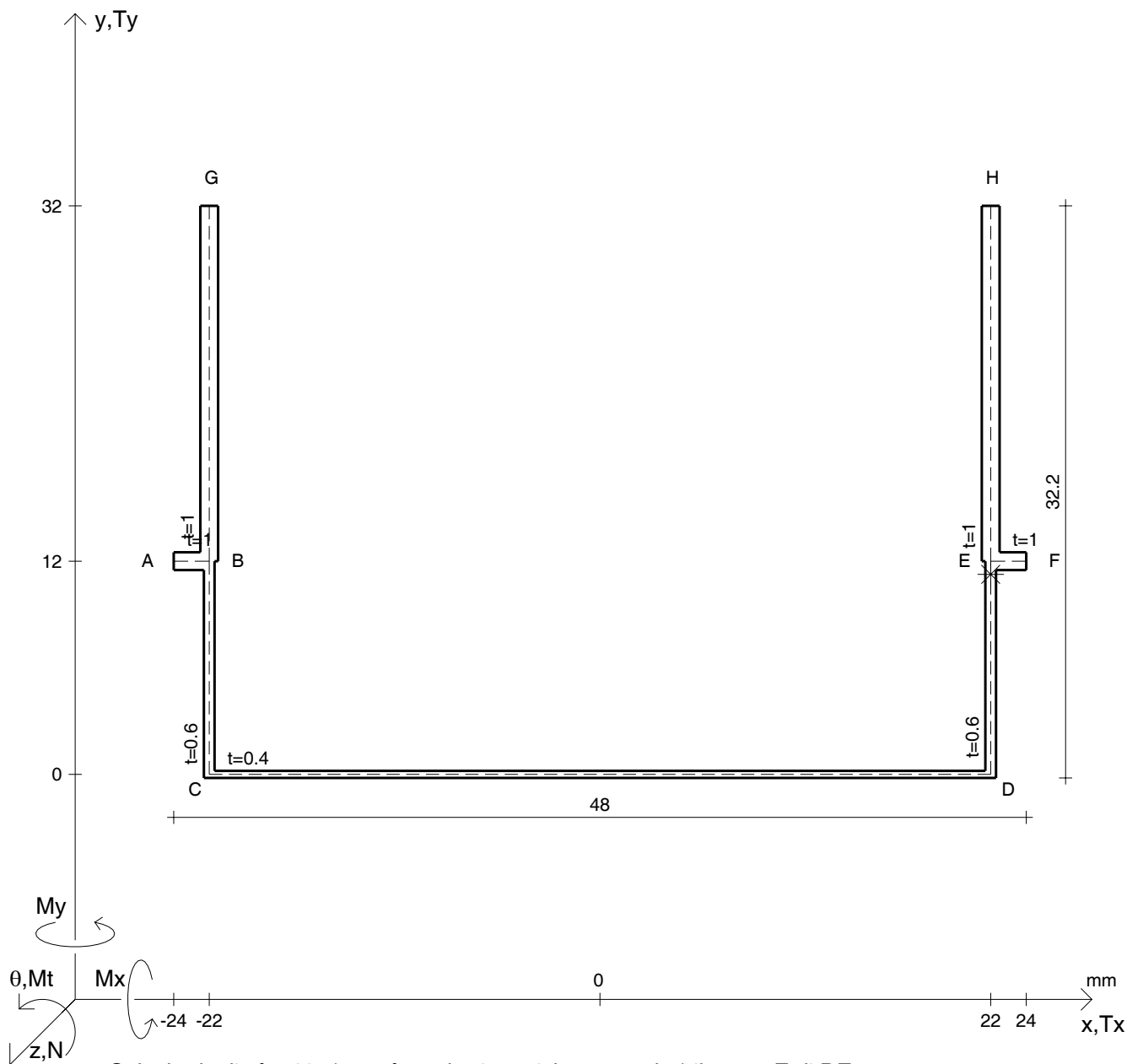
Rappresentare il cerchio di Mohr

Operare le conclusioni sulla verifica di resistenza in *

Facoltativo: rappresentare l'asse neutro e l'andamento delle tens. normali.

Facoltativo: rappresentare l'andamento delle tens. tangenziali.

N	$= 4750 \text{ N}$	M_x	$= 54600 \text{ Nmm}$	G	$= 75000 \text{ N/mm}^2$
T_y	$= 2050 \text{ N}$	σ_a	$= 240 \text{ N/mm}^2$	σ_{ld}	$=$
M_t	$= 1320 \text{ Nmm}$	E	$= 200000 \text{ N/mm}^2$	σ_{lld}	$=$
y_G	$=$	$\tau(M_t)_d$	$=$	σ_{tresca}	$=$
u_o	$=$	$\tau(T_{yc})$	$=$	σ_{mises}	$=$
v_o	$=$	$\tau(T_{yb})_d$	$=$	$\sigma_{st.ven}$	$=$
A	$=$	$\tau(T_y)_s$	$=$	θ_t	$=$
C_w	$=$	$\tau(T_y)_d$	$=$	r_u	$=$
J_u	$=$	σ	$=$	r_v	$=$
J_v	$=$	τ_s	$=$	r_o	$=$
J_t	$=$	τ_d	$=$	J_p	$=$
$\sigma(N)$	$=$	σ_{ls}	$=$		
$\sigma(M_x)$	$=$	σ_{lls}	$=$		



Calcolo degli sforzi in * con forze baricentriche essendo * il punto E di DE

Rappresentare sul foglio, in scala: G, assi u,v, ellisse d'inertia, C.T.

Rappresentare il cerchio di Mohr

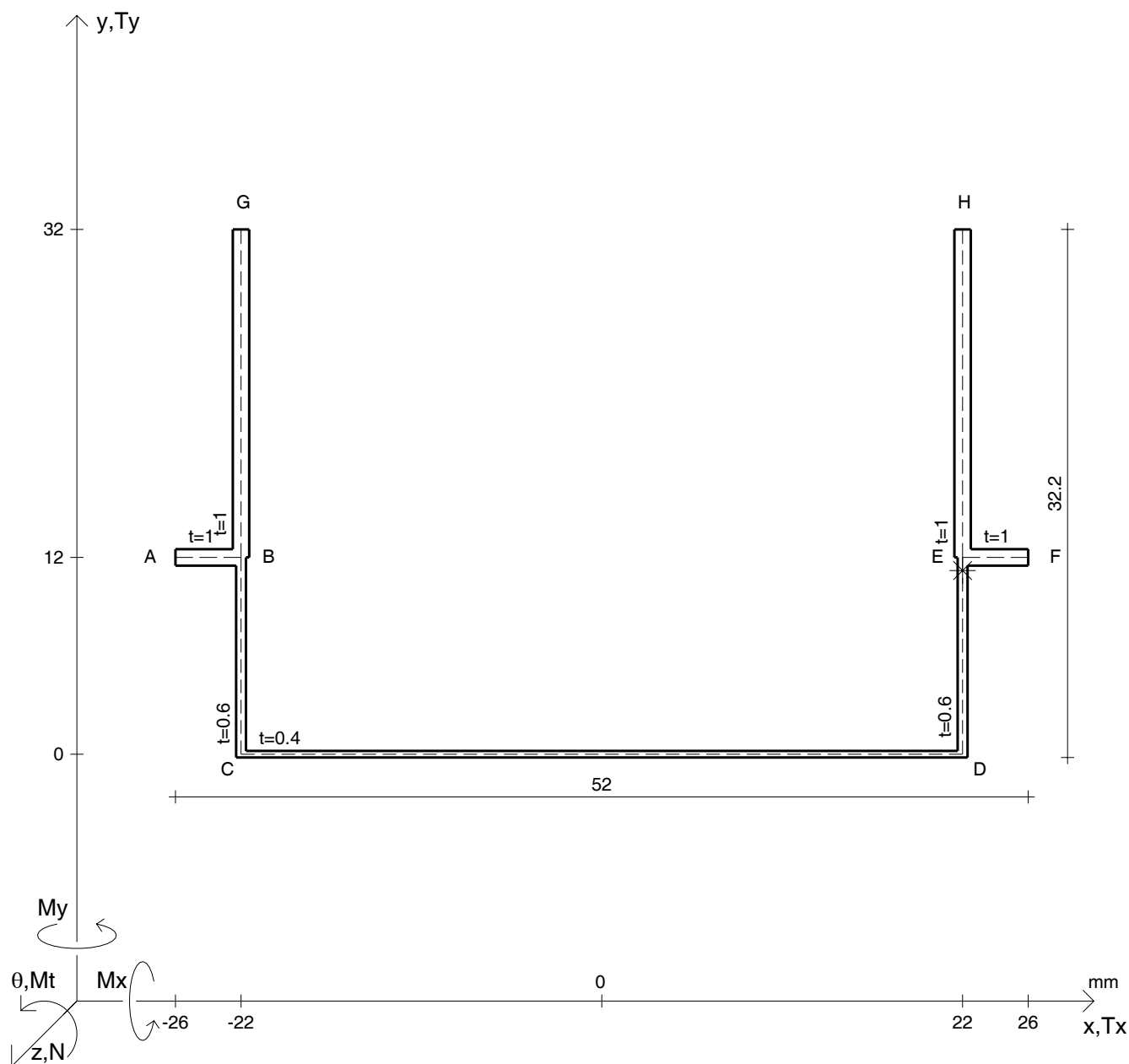
Operare le conclusioni sulla verifica di resistenza in *

Facoltativo: rappresentare l'asse neutro e l'andamento delle tens. normali.

Facoltativo: rappresentare l'andamento delle tens. tangenziali.

N	$= 5450 \text{ N}$	M_x	$= 40500 \text{ Nmm}$	G	$= 75000 \text{ N/mm}^2$
T_y	$= 2270 \text{ N}$	σ_a	$= 240 \text{ N/mm}^2$		
M_t	$= 1500 \text{ Nmm}$	E	$= 200000 \text{ N/mm}^2$		
y_G	$=$	$\tau(M_t)_d$	$=$	σ_{ld}	$=$
u_o	$=$	$\tau(T_{yc})$	$=$	σ_{lld}	$=$
v_o	$=$	$\tau(T_{yb})_d$	$=$	σ_{tresca}	$=$
A	$=$	$\tau(T_y)_s$	$=$	σ_{mises}	$=$
C_w	$=$	$\tau(T_y)_d$	$=$	$\sigma_{st.ven}$	$=$
J_u	$=$	σ	$=$	θ_t	$=$
J_v	$=$	τ_s	$=$	r_u	$=$
J_t	$=$	τ_d	$=$	r_v	$=$
$\sigma(N)$	$=$	σ_{ls}	$=$	r_o	$=$
$\sigma(M_x)$	$=$	σ_{lls}	$=$	J_p	$=$





Calcolo degli sforzi in * con forze baricentriche essendo * il punto E di DE

Rappresentare sul foglio, in scala: G, assi u,v, ellisse d'inertia, C.T.

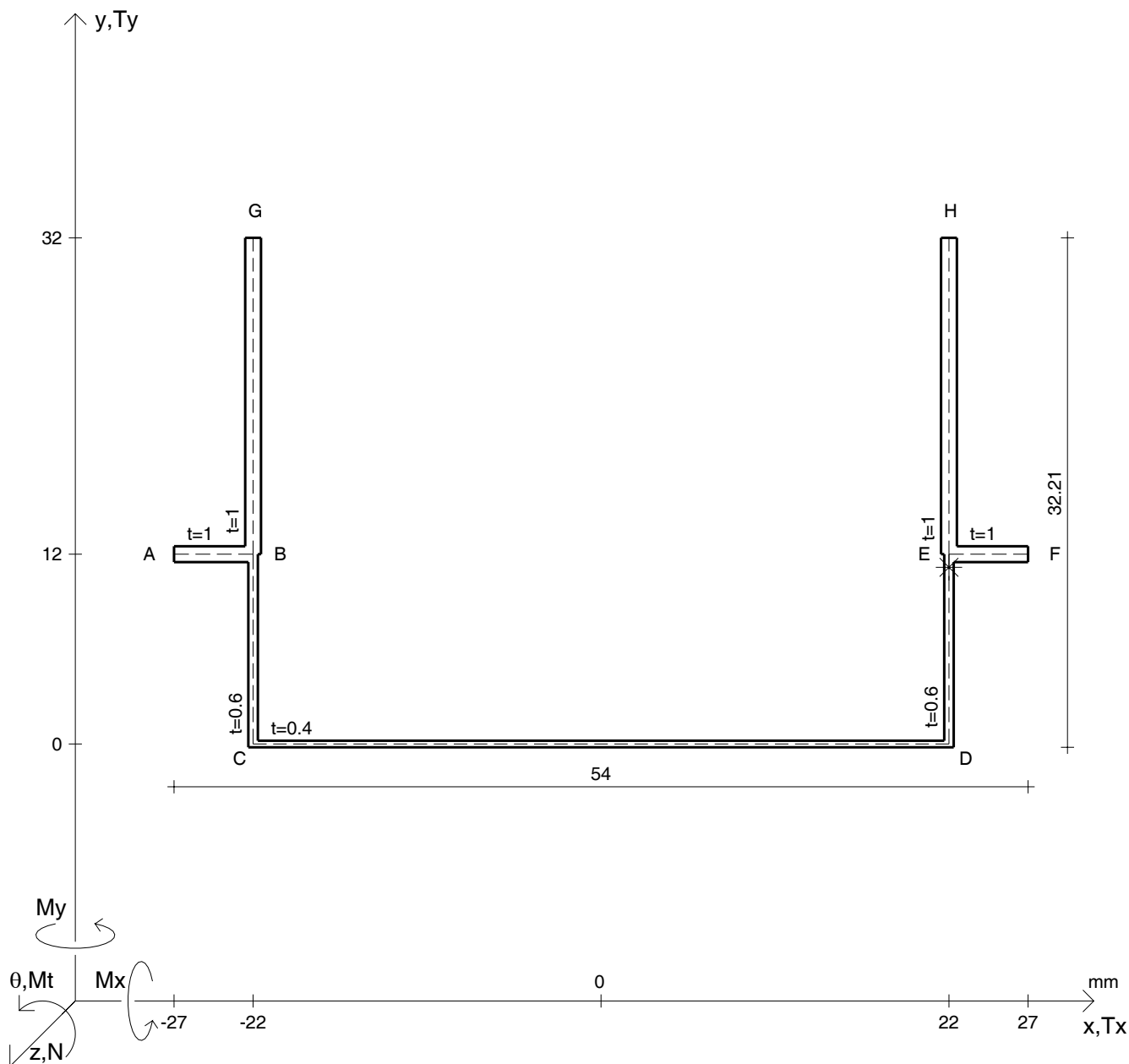
Rappresentare il cerchio di Mohr

Operare le conclusioni sulla verifica di resistenza in *

Facoltativo: rappresentare l'asse neutro e l'andamento delle tens. normali.

Facoltativo: rappresentare l'andamento delle tens. tangenziali.

N	= 6940 N	M_x	= 50300 Nmm	G	= 75000 N/mm ²
T_y	= 1850 N	σ_a	= 240 N/mm ²	σ_{ld}	=
M_t	= 1330 Nmm	E	= 200000 N/mm ²	σ_{lld}	=
y_G	=	$\tau(M_t)_d$	=	σ_{tresca}	=
u_o	=	$\tau(T_{yc})$	=	σ_{mises}	=
v_o	=	$\tau(T_{yb})_d$	=	$\sigma_{st.ven}$	=
A	=	$\tau(T_y)_s$	=	θ_t	=
C_w	=	$\tau(T_y)_d$	=	r_u	=
J_u	=	σ	=	r_v	=
J_v	=	τ_s	=	r_o	=
J_t	=	τ_d	=	J_p	=
$\sigma(N)$	=	σ_{ls}	=		
$\sigma(M_x)$	=	σ_{lls}	=		



Calcolo degli sforzi in * con forze baricentriche essendo * il punto E di DE

Rappresentare sul foglio, in scala: G, assi u,v, ellisse d'inertia, C.T.

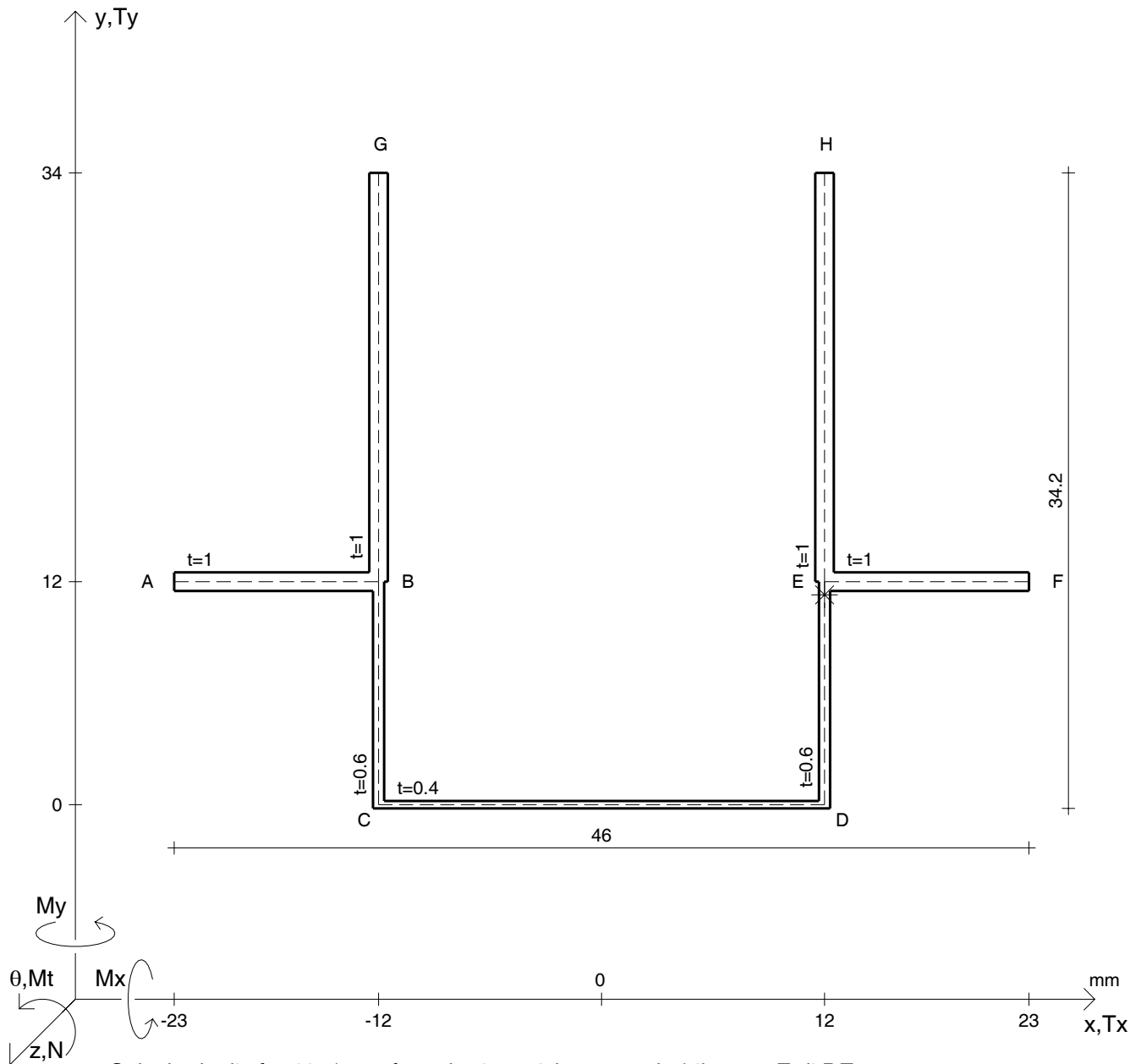
Rappresentare il cerchio di Mohr

Operare le conclusioni sulla verifica di resistenza in *

Facoltativo: rappresentare l'asse neutro e l'andamento delle tens. normali.

Facoltativo: rappresentare l'andamento delle tens. tangenziali.

N	$= 5260 \text{ N}$	M_x	$= 55200 \text{ Nmm}$	G	$= 75000 \text{ N/mm}^2$
T_y	$= 2070 \text{ N}$	σ_a	$= 240 \text{ N/mm}^2$	σ_{ld}	$=$
M_t	$= 1530 \text{ Nmm}$	E	$= 200000 \text{ N/mm}^2$	σ_{lld}	$=$
y_G	$=$	$\tau(M_t)_d$	$=$	σ_{tresca}	$=$
u_o	$=$	$\tau(T_{yc})$	$=$	σ_{mises}	$=$
v_o	$=$	$\tau(T_{yb})_d$	$=$	$\sigma_{st.ven}$	$=$
A	$=$	$\tau(T_y)_s$	$=$	θ_t	$=$
C_w	$=$	$\tau(T_y)_d$	$=$	r_u	$=$
J_u	$=$	σ	$=$	r_v	$=$
J_v	$=$	τ_s	$=$	r_o	$=$
J_t	$=$	τ_d	$=$	J_p	$=$
$\sigma(N)$	$=$	σ_{ls}	$=$		
$\sigma(M_x)$	$=$	σ_{lls}	$=$		



Calcolo degli sforzi in * con forze baricentriche essendo * il punto E di DE

Rappresentare sul foglio, in scala: G, assi u,v, ellisse d'inertia, C.T.

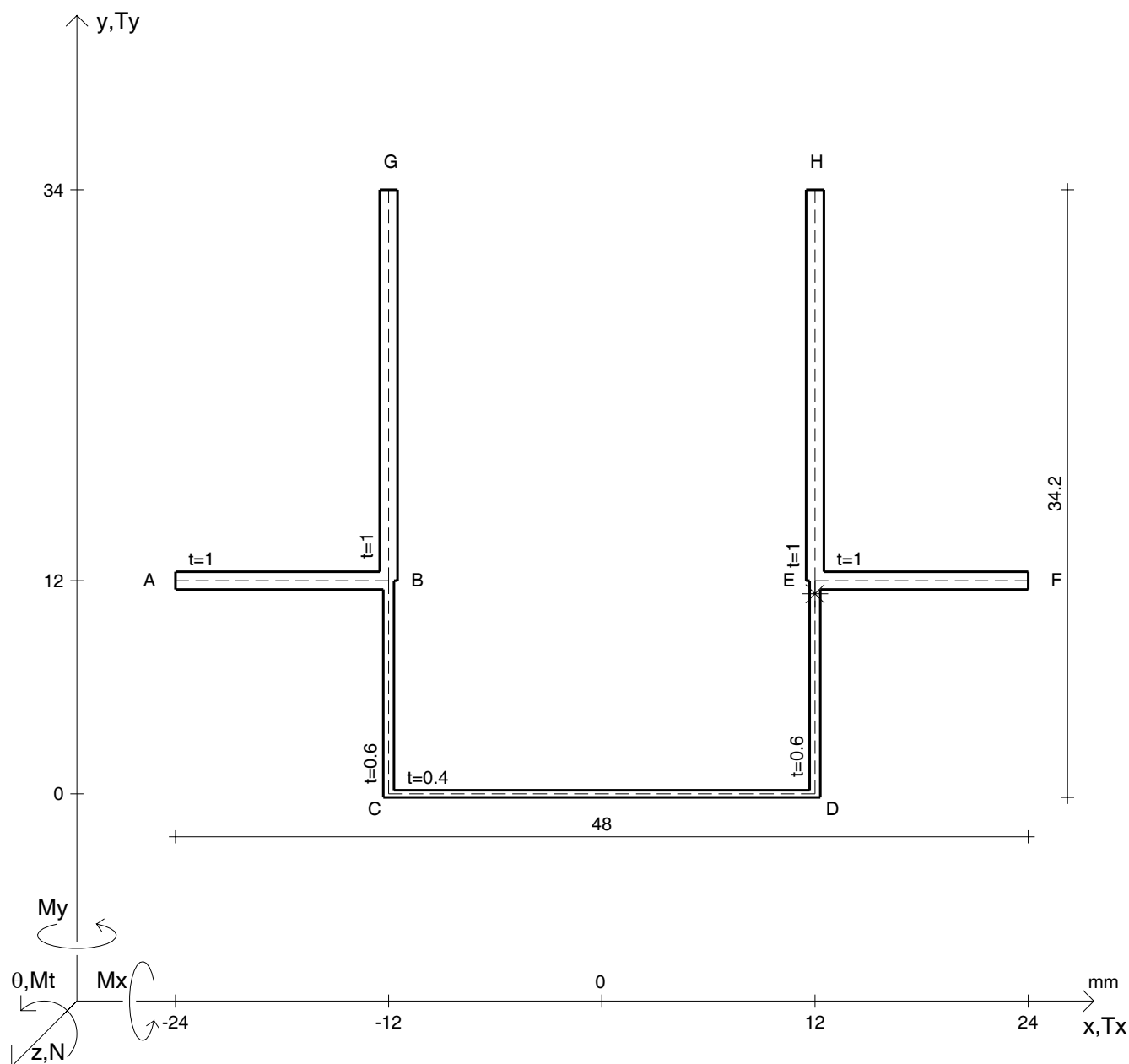
Rappresentare il cerchio di Mohr

Operare le conclusioni sulla verifica di resistenza in *

Facoltativo: rappresentare l'asse neutro e l'andamento delle tens. normali.

Facoltativo: rappresentare l'andamento delle tens. tangenziali.

N	$= 6490 \text{ N}$	M_x	$= 35300 \text{ Nmm}$	G	$= 75000 \text{ N/mm}^2$
T_y	$= 2860 \text{ N}$	σ_a	$= 240 \text{ N/mm}^2$		
M_t	$= 2110 \text{ Nmm}$	E	$= 200000 \text{ N/mm}^2$		
y_G	$=$	$\tau(M_t)_d$	$=$	σ_{ld}	$=$
u_o	$=$	$\tau(T_{yc})$	$=$	σ_{lld}	$=$
v_o	$=$	$\tau(T_{yb})_d$	$=$	σ_{tresca}	$=$
A	$=$	$\tau(T_y)_s$	$=$	σ_{mises}	$=$
C_w	$=$	$\tau(T_y)_d$	$=$	$\sigma_{st.ven}$	$=$
J_u	$=$	σ	$=$	θ_t	$=$
J_v	$=$	τ_s	$=$	r_u	$=$
J_t	$=$	τ_d	$=$	r_v	$=$
$\sigma(N)$	$=$	σ_{ls}	$=$	r_o	$=$
$\sigma(M_x)$	$=$	σ_{lls}	$=$	J_p	$=$



Calcolo degli sforzi in * con forze baricentriche essendo * il punto E di DE

Rappresentare sul foglio, in scala: G, assi u,v, ellisse d'inertia, C.T.

Rappresentare il cerchio di Mohr

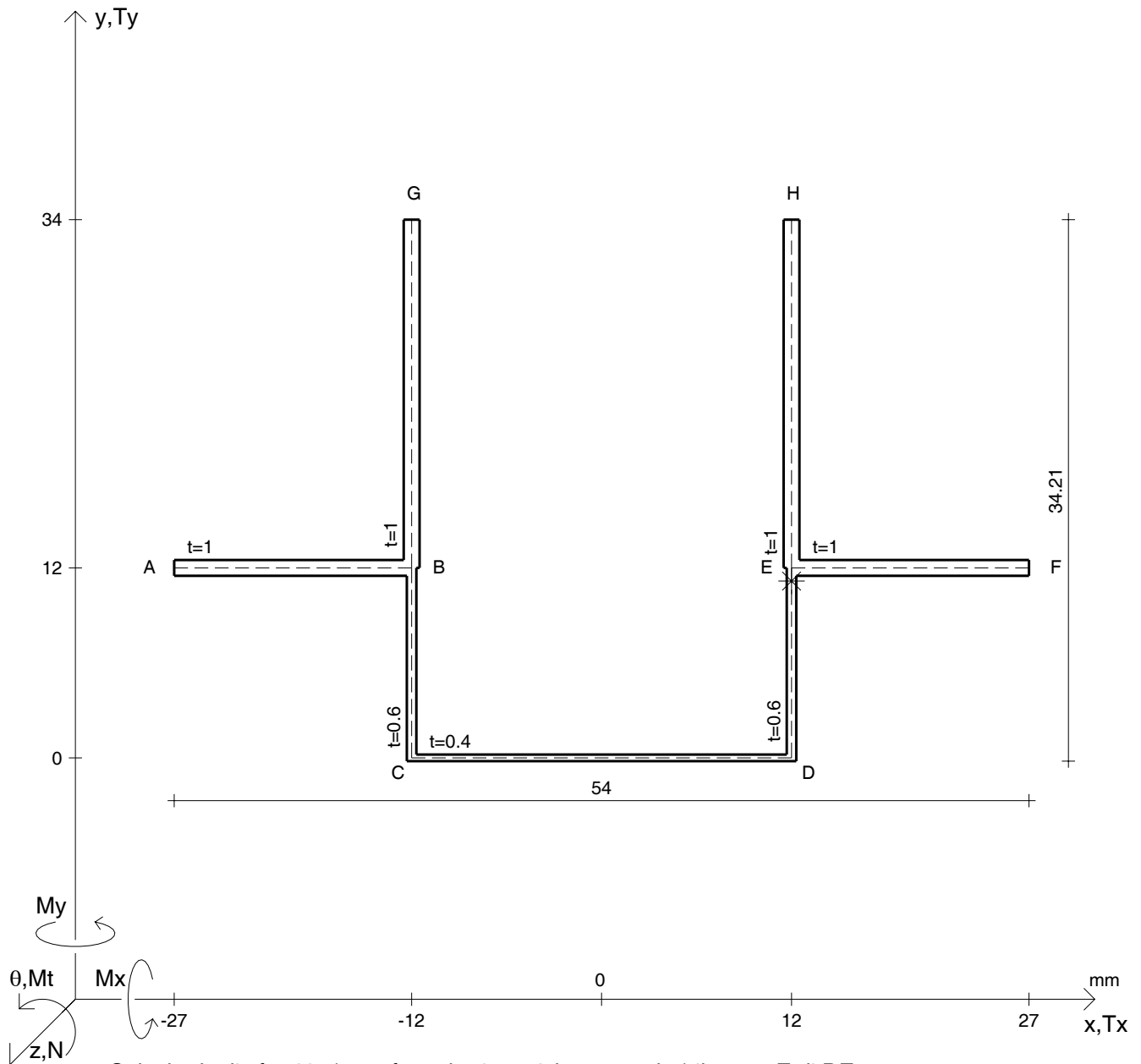
Operare le conclusioni sulla verifica di resistenza in *

Facoltativo: rappresentare l'asse neutro e l'andamento delle tens. normali.

Facoltativo: rappresentare l'andamento delle tens. tangenziali.

N	$= 7320 \text{ N}$	M_x	$= 39700 \text{ Nmm}$	G	$= 75000 \text{ N/mm}^2$
T_y	$= 3150 \text{ N}$	σ_a	$= 240 \text{ N/mm}^2$	σ_{ld}	$=$
M_t	$= -1600 \text{ Nmm}$	E	$= 200000 \text{ N/mm}^2$	σ_{lld}	$=$
y_G	$=$	$\tau(M_t)_d$	$=$	σ_{tresca}	$=$
u_o	$=$	$\tau(T_{yc})$	$=$	σ_{mises}	$=$
v_o	$=$	$\tau(T_{yb})_d$	$=$	$\sigma_{st.ven}$	$=$
A	$=$	$\tau(T_y)_s$	$=$	θ_t	$=$
C_w	$=$	$\tau(T_y)_d$	$=$	r_u	$=$
J_u	$=$	σ	$=$	r_v	$=$
J_v	$=$	τ_s	$=$	r_o	$=$
J_t	$=$	τ_d	$=$	J_p	$=$
$\sigma(N)$	$=$	σ_{ls}	$=$		
$\sigma(M_x)$	$=$	σ_{lls}	$=$		





Calcolo degli sforzi in * con forze baricentriche essendo * il punto E di DE

Rappresentare sul foglio, in scala: G, assi u,v, ellisse d'inertia, C.T.

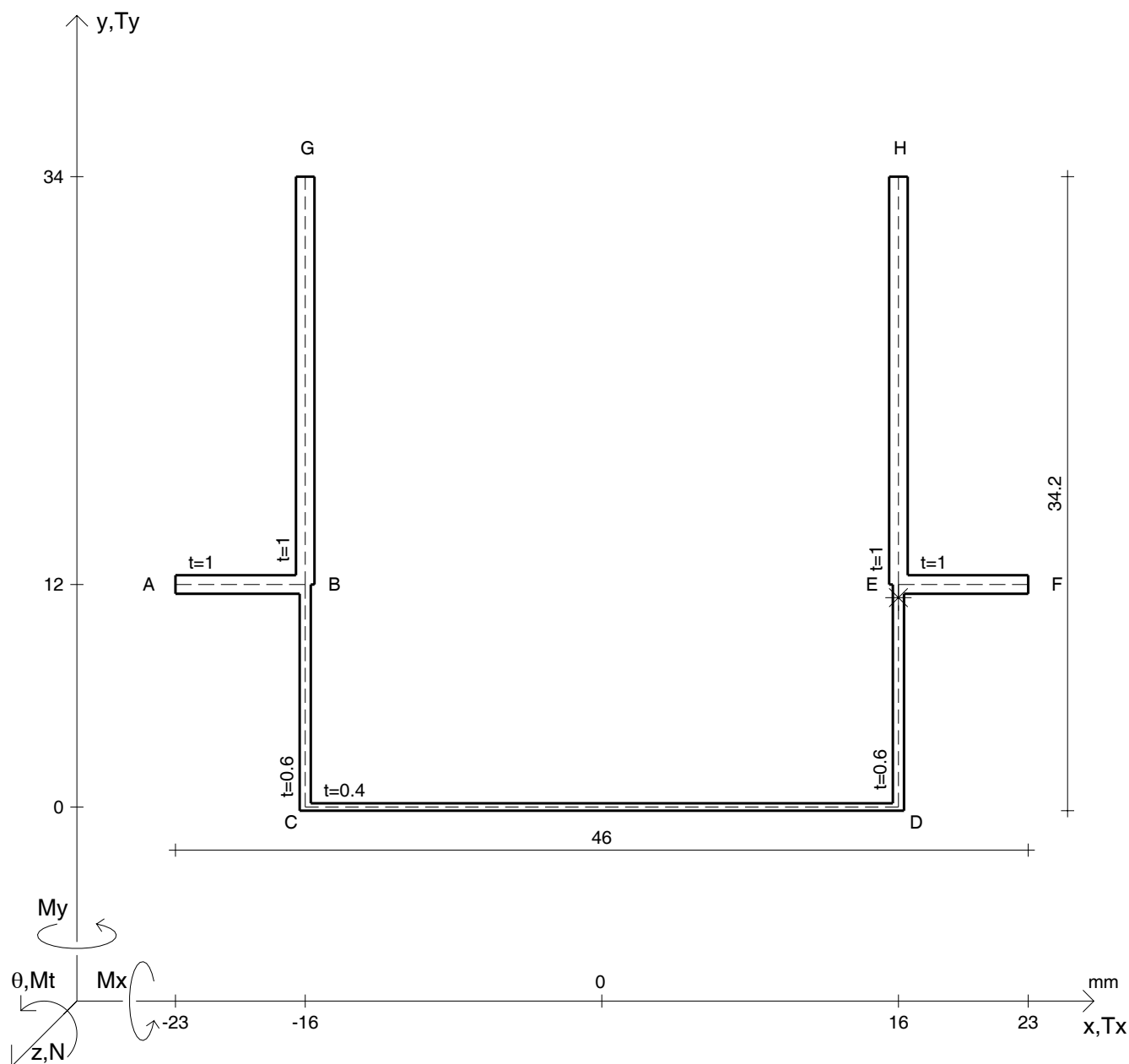
Rappresentare il cerchio di Mohr

Operare le conclusioni sulla verifica di resistenza in *

Facoltativo: rappresentare l'asse neutro e l'andamento delle tens. normali.

Facoltativo: rappresentare l'andamento delle tens. tangenziali.

N	$= 7040 \text{ N}$	M_x	$= 36100 \text{ Nmm}$	G	$= 75000 \text{ N/mm}^2$
T_y	$= 2940 \text{ N}$	σ_a	$= 240 \text{ N/mm}^2$	σ_{ld}	$=$
M_t	$= -2340 \text{ Nmm}$	E	$= 200000 \text{ N/mm}^2$	σ_{lld}	$=$
y_G	$=$	$\tau(M_t)_d$	$=$	σ_{tresca}	$=$
u_o	$=$	$\tau(T_{yc})$	$=$	σ_{mises}	$=$
v_o	$=$	$\tau(T_{yb})_d$	$=$	$\sigma_{st.ven}$	$=$
A	$=$	$\tau(T_y)_s$	$=$	θ_t	$=$
C_w	$=$	$\tau(T_y)_d$	$=$	r_u	$=$
J_u	$=$	σ	$=$	r_v	$=$
J_v	$=$	τ_s	$=$	r_o	$=$
J_t	$=$	τ_d	$=$	J_p	$=$
$\sigma(N)$	$=$	σ_{ls}	$=$		
$\sigma(M_x)$	$=$	σ_{lls}	$=$		



Calcolo degli sforzi in * con forze baricentriche essendo * il punto E di DE

Rappresentare sul foglio, in scala: G, assi u,v, ellisse d'inerzia, C.T.

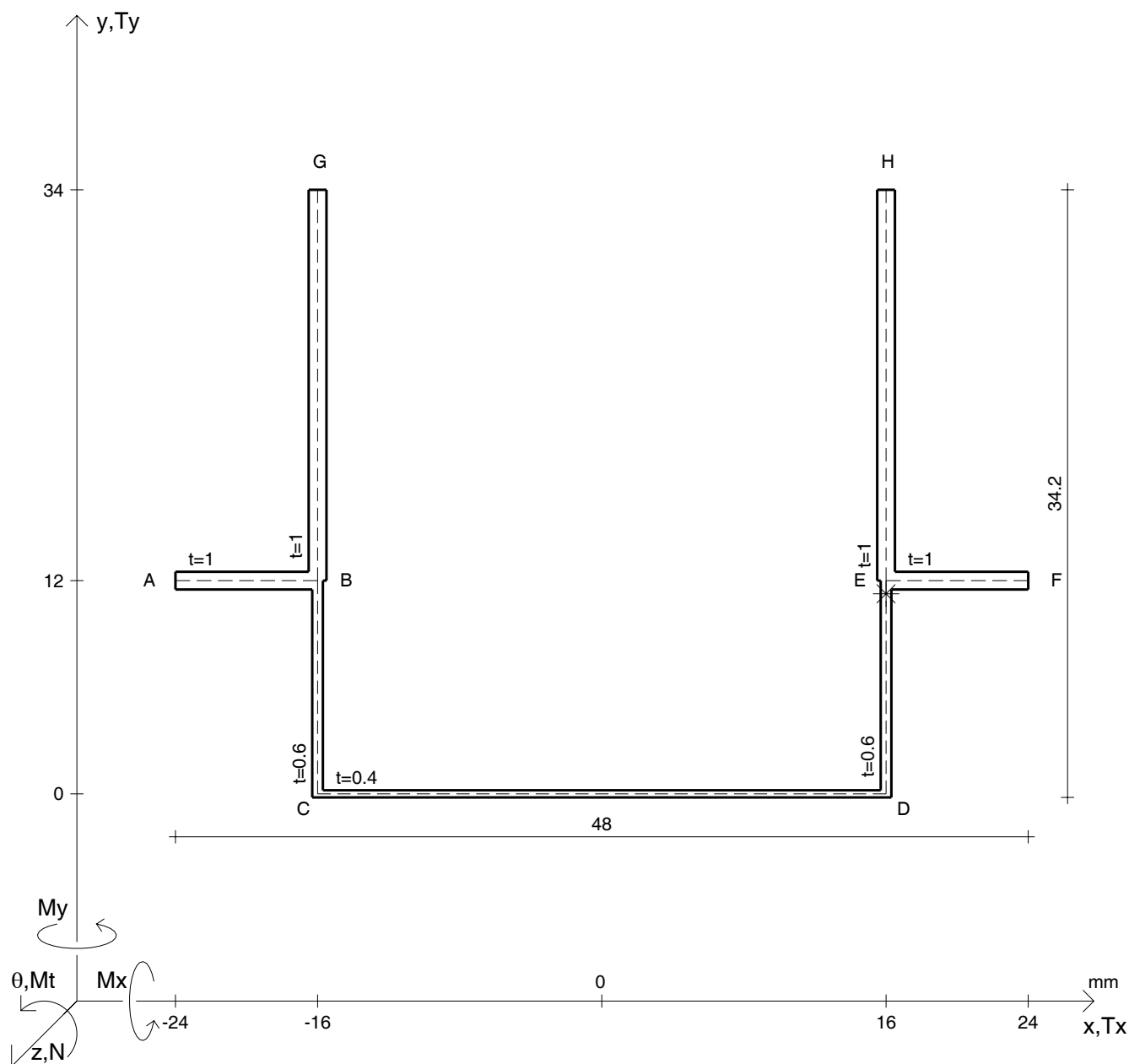
Rappresentare il cerchio di Mohr

Operare le conclusioni sulla verifica di resistenza in *

Facoltativo: rappresentare l'asse neutro e l'andamento delle tens. normali.

Facoltativo: rappresentare l'andamento delle tens. tangenziali.

N	$= 6760 \text{ N}$	M_x	$= 43100 \text{ Nmm}$	G	$= 75000 \text{ N/mm}^2$
T_y	$= 2930 \text{ N}$	σ_a	$= 240 \text{ N/mm}^2$	σ_{ld}	$=$
M_t	$= 1390 \text{ Nmm}$	E	$= 200000 \text{ N/mm}^2$	σ_{lld}	$=$
y_G	$=$	$\tau(M_t)_d$	$=$	σ_{tresca}	$=$
u_o	$=$	$\tau(T_{yc})$	$=$	σ_{mises}	$=$
v_o	$=$	$\tau(T_{yb})_d$	$=$	$\sigma_{st.ven}$	$=$
A	$=$	$\tau(T_y)_s$	$=$	θ_t	$=$
C_w	$=$	$\tau(T_y)_d$	$=$	r_u	$=$
J_u	$=$	σ	$=$	r_v	$=$
J_v	$=$	τ_s	$=$	r_o	$=$
J_t	$=$	τ_d	$=$	J_p	$=$
$\sigma(N)$	$=$	σ_{ls}	$=$		
$\sigma(M_x)$	$=$	σ_{lls}	$=$		



Calcolo degli sforzi in * con forze baricentriche essendo * il punto E di DE

Rappresentare sul foglio, in scala: G, assi u,v, ellisse d'inerzia, C.T.

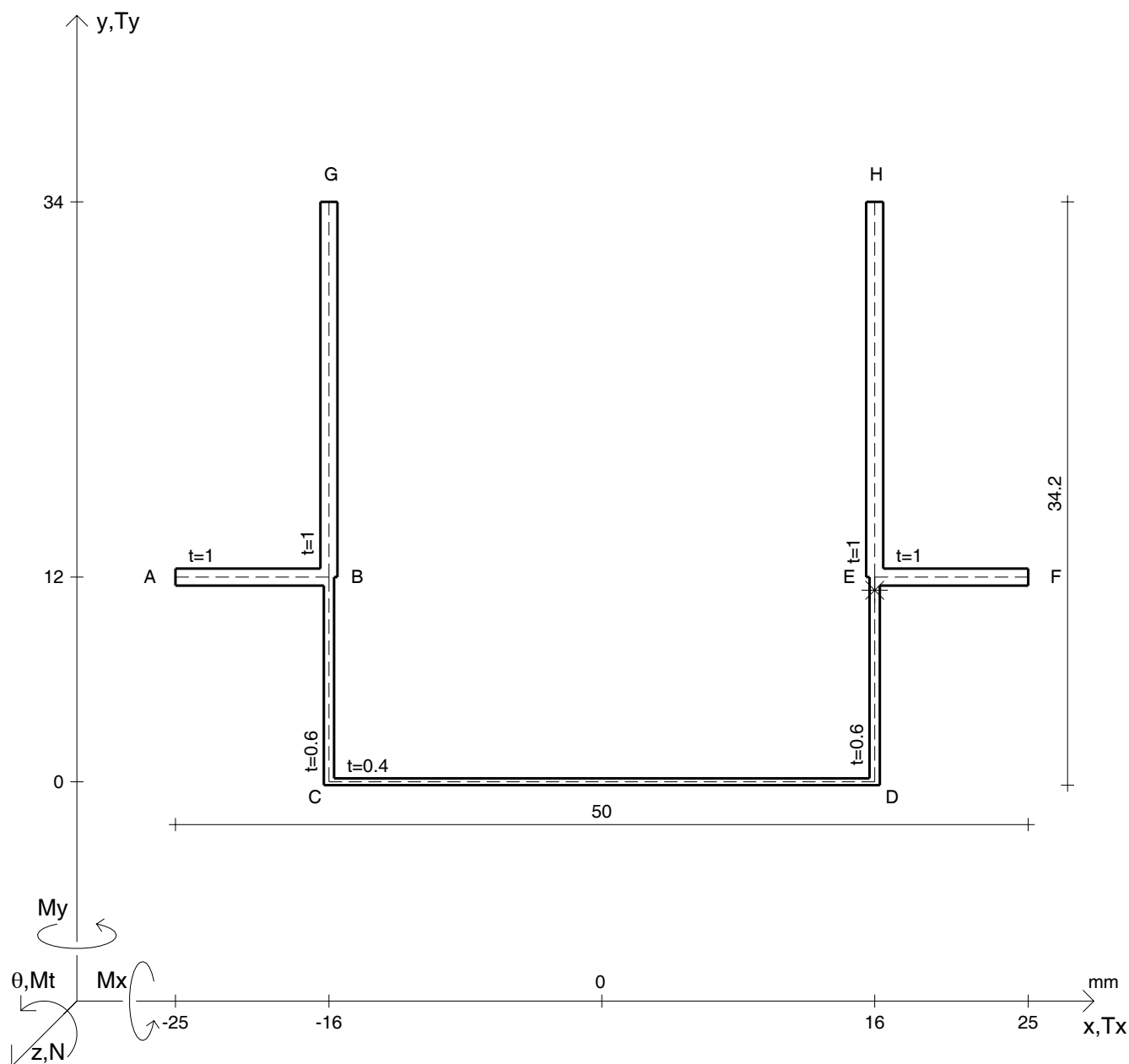
Rappresentare il cerchio di Mohr

Operare le conclusioni sulla verifica di resistenza in *

Facoltativo: rappresentare l'asse neutro e l'andamento delle tens. normali.

Facoltativo: rappresentare l'andamento delle tens. tangenziali.

N	$= 7570 \text{ N}$	M_x	$= 47900 \text{ Nmm}$	G	$= 75000 \text{ N/mm}^2$
T_y	$= 2180 \text{ N}$	σ_a	$= 240 \text{ N/mm}^2$		
M_t	$= 1600 \text{ Nmm}$	E	$= 200000 \text{ N/mm}^2$		
y_G	$=$	$\tau(M_t)_d$	$=$	σ_{ld}	$=$
u_o	$=$	$\tau(T_{yc})$	$=$	σ_{lld}	$=$
v_o	$=$	$\tau(T_{yb})_d$	$=$	σ_{tresca}	$=$
A	$=$	$\tau(T_y)_s$	$=$	σ_{mises}	$=$
C_w	$=$	$\tau(T_y)_d$	$=$	$\sigma_{st.ven}$	$=$
J_u	$=$	σ	$=$	θ_t	$=$
J_v	$=$	τ_s	$=$	r_u	$=$
J_t	$=$	τ_d	$=$	r_v	$=$
$\sigma(N)$	$=$	σ_{ls}	$=$	r_o	$=$
$\sigma(M_x)$	$=$	σ_{lls}	$=$	J_p	$=$



Calcolo degli sforzi in * con forze baricentriche essendo * il punto E di DE

Rappresentare sul foglio, in scala: G, assi u,v, ellisse d'inertia, C.T.

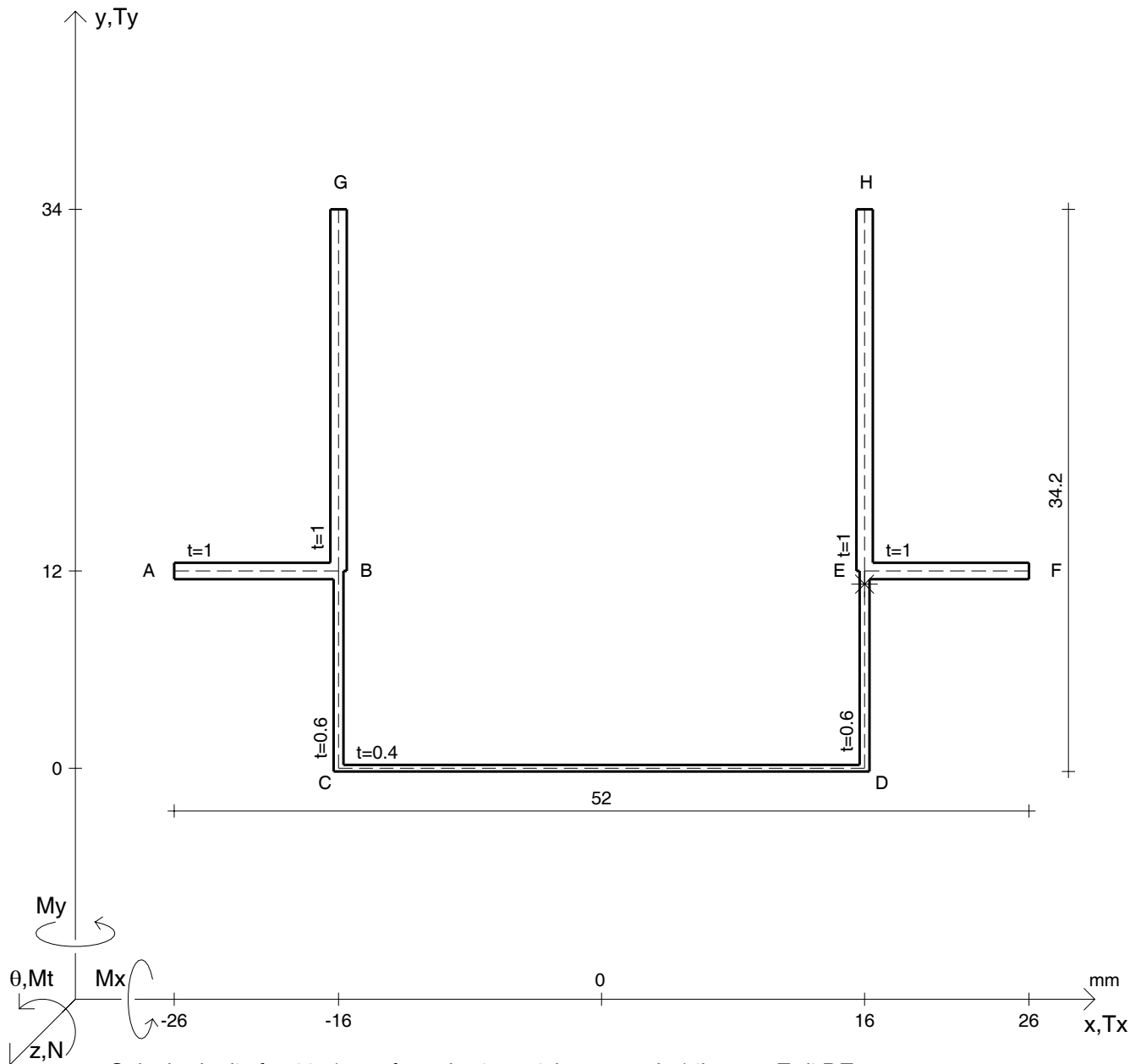
Rappresentare il cerchio di Mohr

Operare le conclusioni sulla verifica di resistenza in *

Facoltativo: rappresentare l'asse neutro e l'andamento delle tens. normali.

Facoltativo: rappresentare l'andamento delle tens. tangenziali.

N	$= 5720 \text{ N}$	M_x	$= 52700 \text{ Nmm}$	G	$= 75000 \text{ N/mm}^2$
T_y	$= 2450 \text{ N}$	σ_a	$= 240 \text{ N/mm}^2$	σ_{ld}	$=$
M_t	$= 1820 \text{ Nmm}$	E	$= 200000 \text{ N/mm}^2$	σ_{lld}	$=$
y_G	$=$	$\tau(M_t)_d$	$=$	σ_{tresca}	$=$
u_o	$=$	$\tau(T_{yc})$	$=$	σ_{mises}	$=$
v_o	$=$	$\tau(T_{yb})_d$	$=$	$\sigma_{st.ven}$	$=$
A	$=$	$\tau(T_y)_s$	$=$	θ_t	$=$
C_w	$=$	$\tau(T_y)_d$	$=$	r_u	$=$
J_u	$=$	σ	$=$	r_v	$=$
J_v	$=$	τ_s	$=$	r_o	$=$
J_t	$=$	τ_d	$=$	J_p	$=$
$\sigma(N)$	$=$	σ_{ls}	$=$		
$\sigma(M_x)$	$=$	σ_{lls}	$=$		



Calcolo degli sforzi in * con forze baricentriche essendo * il punto E di DE

Rappresentare sul foglio, in scala: G, assi u,v, ellisse d'inertia, C.T.

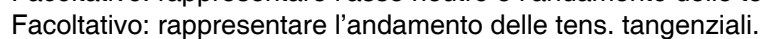
Rappresentare il cerchio di Mohr

Operare le conclusioni sulla verifica di resistenza in *

Facoltativo: rappresentare l'asse neutro e l'andamento delle tens. normali.

Facoltativo: rappresentare l'andamento delle tens. tangenziali.

N	$= 6530 \text{ N}$	M_x	$= 39200 \text{ Nmm}$	G	$= 75000 \text{ N/mm}^2$
T_y	$= 2720 \text{ N}$	σ_a	$= 240 \text{ N/mm}^2$	σ_{ld}	$=$
M_t	$= 2050 \text{ Nmm}$	E	$= 200000 \text{ N/mm}^2$	σ_{lld}	$=$
y_G	$=$	$\tau(M_t)_d$	$=$	σ_{tresca}	$=$
u_o	$=$	$\tau(T_{yc})$	$=$	σ_{mises}	$=$
v_o	$=$	$\tau(T_{yb})_d$	$=$	$\sigma_{st.ven}$	$=$
A	$=$	$\tau(T_y)_s$	$=$	θ_t	$=$
C_w	$=$	$\tau(T_y)_d$	$=$	r_u	$=$
J_u	$=$	σ	$=$	r_v	$=$
J_v	$=$	τ_s	$=$	r_o	$=$
J_t	$=$	τ_d	$=$	J_p	$=$
$\sigma(N)$	$=$	σ_{ls}	$=$		
$\sigma(M_x)$	$=$	σ_{lls}	$=$		



@ Adolfo Zavelani Rossi, Politecnico di Milano, vers.24.05.07